

UNIVERSIDAD NACIONAL AUTONOMA DE MEXICO

FACULTAD DE QUIMICA



PROGRAMACION Y USO DE
CALCULADORAS PROGRAMABLES.
APLICACION A LA
INGENIERIA QUIMICA

TESIS

PARA OBTENER EL TITULO DE
INGENIERO QUIMICO

RESUMEN

FRANCISCO ALBERTO ZACHIRÁ LOPEZ



UNAM – Dirección General de Bibliotecas

Tesis Digitales
Restricciones de uso

DERECHOS RESERVADOS ©
PROHIBIDA SU REPRODUCCIÓN TOTAL O PARCIAL

Todo el material contenido en esta tesis está protegido por la Ley Federal del Derecho de Autor (LFDA) de los Estados Unidos Mexicanos (México).

El uso de imágenes, fragmentos de videos, y demás material que sea objeto de protección de los derechos de autor, será exclusivamente para fines educativos e informativos y deberá citar la fuente donde la obtuvo mencionando el autor o autores. Cualquier uso distinto como el lucro, reproducción, edición o modificación, será perseguido y sancionado por el respectivo titular de los Derechos de Autor.

TESIS CON FALLA DE ORIGEN

INTRODUCCIÓ	1
1. ESTRUCTURA Y FUNCIONES DE LA COMPUTADORA	2
1.1. Estructura de la computadora	2
1.2. Componentes y sus funcionalidades	3
1.2.1. Unidad Central de Procesamiento	3
1.2.2. Memoria	4
1.2.3. Unidad de Entrada/Salida	5
1.3. Estructura jerárquica del sistema	6
1.4. La calculadora científica	7
1.4.1. Introducción	7
1.4.2. Historia	8
1.4.3. Ventajas	9
1.4.4. Desventajas	10
CAPÍTULO II. CONSIDERACIONES SOBRE LA MEMORIA DE UNA COMPUTADORA	11
2.1. Clasificación de las memorias de una computadora	11
2.1.1. Memoria RAM	11
2.1.2. Memoria ROM	12
2.1.3. Memoria Flash	13
2.1.4. Memoria EEPROM	14
2.1.5. Memoria SDRAM	15
2.1.6. Memoria DDR	16
2.1.7. Memoria DDR3	17
2.1.8. Memoria DDR4	18
2.1.9. Memoria DDR5	19
2.1.10. Memoria DDR6	20
2.1.11. Memoria DDR7	21
2.1.12. Memoria DDR8	22
2.1.13. Memoria DDR9	23
2.1.14. Memoria DDR10	24
2.1.15. Memoria DDR11	25
2.1.16. Memoria DDR12	26
2.1.17. Memoria DDR13	27
2.1.18. Memoria DDR14	28
2.1.19. Memoria DDR15	29
2.1.20. Memoria DDR16	30
2.1.21. Memoria DDR17	31
2.1.22. Memoria DDR18	32
2.1.23. Memoria DDR19	33
2.1.24. Memoria DDR20	34
2.1.25. Memoria DDR21	35
2.1.26. Memoria DDR22	36
2.1.27. Memoria DDR23	37
2.1.28. Memoria DDR24	38
2.1.29. Memoria DDR25	39
2.1.30. Memoria DDR26	40
2.1.31. Memoria DDR27	41
2.1.32. Memoria DDR28	42
2.1.33. Memoria DDR29	43
2.1.34. Memoria DDR30	44
2.1.35. Memoria DDR31	45
2.1.36. Memoria DDR32	46
2.1.37. Memoria DDR33	47
2.1.38. Memoria DDR34	48
2.1.39. Memoria DDR35	49
2.1.40. Memoria DDR36	50
2.1.41. Memoria DDR37	51
2.1.42. Memoria DDR38	52
2.1.43. Memoria DDR39	53
2.1.44. Memoria DDR40	54
2.1.45. Memoria DDR41	55
2.1.46. Memoria DDR42	56
2.1.47. Memoria DDR43	57
2.1.48. Memoria DDR44	58
2.1.49. Memoria DDR45	59
2.1.50. Memoria DDR46	60
2.1.51. Memoria DDR47	61
2.1.52. Memoria DDR48	62
2.1.53. Memoria DDR49	63
2.1.54. Memoria DDR50	64
2.1.55. Memoria DDR51	65
2.1.56. Memoria DDR52	66
2.1.57. Memoria DDR53	67
2.1.58. Memoria DDR54	68
2.1.59. Memoria DDR55	69
2.1.60. Memoria DDR56	70
2.1.61. Memoria DDR57	71
2.1.62. Memoria DDR58	72
2.1.63. Memoria DDR59	73
2.1.64. Memoria DDR60	74
2.1.65. Memoria DDR61	75
2.1.66. Memoria DDR62	76
2.1.67. Memoria DDR63	77
2.1.68. Memoria DDR64	78
2.1.69. Memoria DDR65	79
2.1.70. Memoria DDR66	80
2.1.71. Memoria DDR67	81
2.1.72. Memoria DDR68	82
2.1.73. Memoria DDR69	83
2.1.74. Memoria DDR70	84
2.1.75. Memoria DDR71	85
2.1.76. Memoria DDR72	86
2.1.77. Memoria DDR73	87
2.1.78. Memoria DDR74	88
2.1.79. Memoria DDR75	89
2.1.80. Memoria DDR76	90
2.1.81. Memoria DDR77	91
2.1.82. Memoria DDR78	92
2.1.83. Memoria DDR79	93
2.1.84. Memoria DDR80	94
2.1.85. Memoria DDR81	95
2.1.86. Memoria DDR82	96
2.1.87. Memoria DDR83	97
2.1.88. Memoria DDR84	98
2.1.89. Memoria DDR85	99
2.1.90. Memoria DDR86	100
2.1.91. Memoria DDR87	101
2.1.92. Memoria DDR88	102
2.1.93. Memoria DDR89	103
2.1.94. Memoria DDR90	104
2.1.95. Memoria DDR91	105
2.1.96. Memoria DDR92	106
2.1.97. Memoria DDR93	107
2.1.98. Memoria DDR94	108
2.1.99. Memoria DDR95	109
2.1.100. Memoria DDR96	110
2.1.101. Memoria DDR97	111
2.1.102. Memoria DDR98	112
2.1.103. Memoria DDR99	113
2.1.104. Memoria DDR100	114
2.1.105. Memoria DDR101	115
2.1.106. Memoria DDR102	116
2.1.107. Memoria DDR103	117
2.1.108. Memoria DDR104	118
2.1.109. Memoria DDR105	119
2.1.110. Memoria DDR106	120
2.1.111. Memoria DDR107	121
2.1.112. Memoria DDR108	122
2.1.113. Memoria DDR109	123
2.1.114. Memoria DDR110	124
2.1.115. Memoria DDR111	125
2.1.116. Memoria DDR112	126
2.1.117. Memoria DDR113	127
2.1.118. Memoria DDR114	128
2.1.119. Memoria DDR115	129
2.1.120. Memoria DDR116	130
2.1.121. Memoria DDR117	131
2.1.122. Memoria DDR118	132
2.1.123. Memoria DDR119	133
2.1.124. Memoria DDR120	134
2.1.125. Memoria DDR121	135
2.1.126. Memoria DDR122	136
2.1.127. Memoria DDR123	137
2.1.128. Memoria DDR124	138
2.1.129. Memoria DDR125	139
2.1.130. Memoria DDR126	140
2.1.131. Memoria DDR127	141
2.1.132. Memoria DDR128	142
2.1.133. Memoria DDR129	143
2.1.134. Memoria DDR130	144
2.1.135. Memoria DDR131	145
2.1.136. Memoria DDR132	146
2.1.137. Memoria DDR133	147
2.1.138. Memoria DDR134	148
2.1.139. Memoria DDR135	149
2.1.140. Memoria DDR136	150
2.1.141. Memoria DDR137	151
2.1.142. Memoria DDR138	152
2.1.143. Memoria DDR139	153
2.1.144. Memoria DDR140	154
2.1.145. Memoria DDR141	155
2.1.146. Memoria DDR142	156
2.1.147. Memoria DDR143	157
2.1.148. Memoria DDR144	158
2.1.149. Memoria DDR145	159
2.1.150. Memoria DDR146	160
2.1.151. Memoria DDR147	161
2.1.152. Memoria DDR148	162
2.1.153. Memoria DDR149	163
2.1.154. Memoria DDR150	164
2.1.155. Memoria DDR151	165
2.1.156. Memoria DDR152	166
2.1.157. Memoria DDR153	167
2.1.158. Memoria DDR154	168
2.1.159. Memoria DDR155	169
2.1.160. Memoria DDR156	170
2.1.161. Memoria DDR157	171
2.1.162. Memoria DDR158	172
2.1.163. Memoria DDR159	173
2.1.164. Memoria DDR160	174
2.1.165. Memoria DDR161	175
2.1.166. Memoria DDR162	176
2.1.167. Memoria DDR163	177
2.1.168. Memoria DDR164	178
2.1.169. Memoria DDR165	179
2.1.170. Memoria DDR166	180
2.1.171. Memoria DDR167	181
2.1.172. Memoria DDR168	182
2.1.173. Memoria DDR169	183
2.1.174. Memoria DDR170	184
2.1.175. Memoria DDR171	185
2.1.176. Memoria DDR172	186
2.1.177. Memoria DDR173	187
2.1.178. Memoria DDR174	188
2.1.179. Memoria DDR175	189
2.1.180. Memoria DDR176	190
2.1.181. Memoria DDR177	191
2.1.182. Memoria DDR178	192
2.1.183. Memoria DDR179	193
2.1.184. Memoria DDR180	194
2.1.185. Memoria DDR181	195
2.1.186. Memoria DDR182	196
2.1.187. Memoria DDR183	197
2.1.188. Memoria DDR184	198
2.1.189. Memoria DDR185	199
2.1.190. Memoria DDR186	200
2.1.191. Memoria DDR187	201
2.1.192. Memoria DDR188	202
2.1.193. Memoria DDR189	203
2.1.194. Memoria DDR190	204
2.1.195. Memoria DDR191	205
2.1.196. Memoria DDR192	206
2.1.197. Memoria DDR193	207
2.1.198. Memoria DDR194	208
2.1.199. Memoria DDR195	209
2.1.200. Memoria DDR196	210
2.1.201. Memoria DDR197	211
2.1.202. Memoria DDR198	212
2.1.203. Memoria DDR199	213
2.1.204. Memoria DDR200	214
2.1.205. Memoria DDR201	215
2.1.206. Memoria DDR202	216
2.1.207. Memoria DDR203	217
2.1.208. Memoria DDR204	218
2.1.209. Memoria DDR205	219
2.1.210. Memoria DDR206	220
2.1.211. Memoria DDR207	221
2.1.212. Memoria DDR208	222
2.1.213. Memoria DDR209	223
2.1.214. Memoria DDR210	224
2.1.215. Memoria DDR211	225
2.1.216. Memoria DDR212	226
2.1.217. Memoria DDR213	227
2.1.218. Memoria DDR214	228
2.1.219. Memoria DDR215	229
2.1.220. Memoria DDR216	230
2.1.221. Memoria DDR217	231
2.1.222. Memoria DDR218	232
2.1.223. Memoria DDR219	233
2.1.224. Memoria DDR220	234
2.1.225. Memoria DDR221	235
2.1.226. Memoria DDR222	236
2.1.227. Memoria DDR223	237
2.1.228. Memoria DDR224	238
2.1.229. Memoria DDR225	239
2.1.230. Memoria DDR226	240
2.1.231. Memoria DDR227	241
2.1.232. Memoria DDR228	242
2.1.233. Memoria DDR229	243
2.1.234. Memoria DDR230	244
2.1.235. Memoria DDR231	245
2.1.236. Memoria DDR232	246
2.1.237. Memoria DDR233	247
2.1.238. Memoria DDR234	248
2.1.239. Memoria DDR235	249
2.1.240. Memoria DDR236	250
2.1.241. Memoria DDR237	251
2.1.242. Memoria DDR238	252
2.1.243. Memoria DDR239	253
2.1.244. Memoria DDR240	254
2.1.245. Memoria DDR241	255
2.1.246. Memoria DDR242	256
2.1.247. Memoria DDR243	257
2.1.248. Memoria DDR244	258
2.1.249. Memoria DDR245	259
2.1.250. Memoria DDR246	260
2.1.251. Memoria DDR247	261
2.1.252. Memoria DDR248	262
2.1.253. Memoria DDR249	263
2.1.254. Memoria DDR250	264
2.1.255. Memoria DDR251	265
2.1.256. Memoria DDR252	266
2.1.257. Memoria DDR253	267
2.1.258. Memoria DDR254	268
2.1.259. Memoria DDR255	269
2.1.260. Memoria DDR256	270
2.1.261. Memoria DDR257	271
2.1.262. Memoria DDR258	272
2.1.263. Memoria DDR259	273
2.1.264. Memoria DDR260	274
2.1.265. Memoria DDR261	275
2.1.266. Memoria DDR262	276
2.1.267. Memoria DDR263	277
2.1.268. Memoria DDR264	278
2.1.269. Memoria DDR265	279
2.1.270. Memoria DDR266	280
2.1.271. Memoria DDR267	281
2.1.272. Memoria DDR268	282
2.1.273. Memoria DDR269	283
2.1.274. Memoria DDR270	284
2.1.275. Memoria DDR271	285
2.1.276. Memoria DDR272	286
2.1.277. Memoria DDR273	287
2.1.278. Memoria DDR274	288
2.1.279. Memoria DDR275	289
2.1.280. Memoria DDR276	290
2.1.281. Memoria DDR277	291
2.1.282. Memoria DDR278	292
2.1.283. Memoria DDR279	293
2.1.284. Memoria DDR280	294
2.1.285. Memoria DDR281	295
2.1.286. Memoria DDR282	296
2.1.287. Memoria DDR283	297
2.1.288. Memoria DDR284	298
2.1.289. Memoria DDR285	299
2.1.290. Memoria DDR286	300
2.1.291. Memoria DDR287	301
2.1.292. Memoria DDR288	302
2.1.293. Memoria DDR289	303
2.1.294. Memoria DDR290	304
2.1.295. Memoria DDR291	305
2.1.296. Memoria DDR292	306
2.1.297. Memoria DDR293	307
2.1.298. Memoria DDR294	308
2.1.299. Memoria DDR295	309
2.1.300. Memoria DDR296	310
2.1.301. Memoria DDR297	311
2.1.302. Memoria DDR298	312
2.1.303. Memoria DDR299	313
2.1.304. Memoria DDR300	314
2.1.305. Memoria DDR301	315
2.1.306. Memoria DDR302	316
2.1.307. Memoria DDR303	317
2.1.308. Memoria DDR304	318
2.1.309. Memoria DDR305	319
2.1.310. Memoria DDR306	320
2.1.311. Memoria DDR307	321
2.1.312. Memoria DDR308	322
2.1.313. Memoria DDR309	323
2.1.314. Memoria DDR310	324
2.1.315. Memoria DDR311	325
2.1.316. Memoria DDR312	326
2.1.317. Memoria DDR313	327
2.1.318. Memoria DDR314	328
2.1.319. Memoria DDR315	329
2.1.320. Memoria DDR316	330
2.1.321. Memoria DDR317	331
2.1.322. Memoria DDR318	332
2.1.323. Memoria DDR319	333
2.1.324. Memoria DDR320	334
2.1.325. Memoria DDR321	335
2.1.326. Memoria DDR322	336
2.1.327. Memoria DDR323	337
2.1.328. Memoria DDR324	338
2.1.329. Memoria DDR325	339
2.1.330. Memoria DDR326	340
2.1.331. Memoria DDR327	341
2.1.332. Memoria DDR328	342
2.1.333. Memoria DDR329	343
2.1.334. Memoria DDR330	344
2.1.335. Memoria DDR331	345
2.1.336. Memoria DDR332	346
2.1.337. Memoria DDR333	347
2.1.338. Memoria DDR334	348
2.1.339. Memoria DDR335	349
2.1.340. Memoria DDR336	350
2.1.341. Memoria DDR337	351
2.1.342. Memoria DDR338	352
2.1.343. Memoria DDR339	353
2.1.344. Memoria DDR340	354
2.1.345. Memoria DDR341	355
2.1.346. Memoria DDR342	356
2.1.347. Memoria DDR343	357
2.1.348. Memoria DDR344	358
2.1.349. Memoria DDR345	359
2.1.350. Memoria DDR346	360
2.1.351. Memoria DDR347	361
2.1.352. Memoria DDR348	362
2.1.353. Memoria DDR349	363
2.1.354. Memoria DDR350	364
2.1.355. Memoria DDR351	365
2.1.356. Memoria DDR352	366
2.1.357. Memoria DDR353	367
2.1.358. Memoria DDR354	368
2.1.359. Memoria DDR355	369
2.1.360. Mem	

III.2.1. Presentación	43
III.2.2. Edición de texto	43
III.2.3. Trabajos	43
III.2.4. Ejecución de trabajos	50
III.2.5. Órdenes de un trabajo	50
III.2.6. Trabajos y tipos de trabajos	50
III.2.7. Lenguaje del programa	54
III.2.8. Presentación	55
III.3. PROGRAMA LIBREV-E	56
III.3.1. Presentación	56
III.3.2. Síntesis	57
III.3.3. Presentación	58
III.3.4. Comisión	60
III.3.5. Integración de trabajos	61
III.3.6. Vistas y resultados	63
III.3.7. Fichas de trabajo	66
III.3.8. Ejercicios del trabajo	67
III.3.9. Librero del trabajo	68
III.4. PERSONAL LIBREV-E	69
III.4.1. Presentación	69
III.4.2. Trabajos	71
III.4.3. Síntesis	71
III.4.4. Presentación de trabajo	72
III.4.5. Trabajos	75
III.4.6. Ejercicios de trabajo	81
III.4.7. Organización del trabajo	82

III.4.2 Desarrollo**III.4.2.1 Desarrollo****III.4.2.1.1 Estimaciones a los precios de venta****III.4.2.1.1.1 Cálculo de variación****III.4.2.1.1.1.1 Presentación****III.4.2.1.1.1.2 Comisión de explotación****III.4.2.1.1.1.3 Fórmula general****III.4.2.1.1.1.4 Fórmula de fijos****III.4.2.1.1.1.5 Fórmula para el margen**

101

III.4.2.1.1.1.6 Descripción del programa "Piscado"

102

III.4.2.1.1.1.7 Recopilación de datos

103

III.4.2.1.1.1.8 Fórmulas utilizadas

104

III.4.2.1.1.1.9 Límites

105

III.4.2.1.1.2 Funciones secundaria**III.4.2.1.1.2.1 Presentación****III.4.2.1.1.2.2 Fórmulas utilizadas**

106

III.4.2.1.1.2.3 Ejemplos

107

III.4.2.1.1.2.4 Programa de fijo

108

III.4.2.1.1.2.5 Descripción del programa "Piscado" continuación

109

III.4.2.1.1.2.6 Descripción del programa "Cafetera" original

110

III.4.2.1.1.2.7 Recopilación de datos

111

III.4.2.1.1.2.8 Fórmulas utilizadas

112

III.4.2.1.1.2.9 Límites

113

III.4.2.1.2 PROGRAMAS COMPUTATIVOS**III.4.2.1.2.1 Presentación**

114

III.4.2.1.2.2 Sistemas y estructuras

115

III.4.2.1.2.3 Programas de fijo

116

CAPÍTULO IV. APLICACIÓN DE LOS PROGRAMAS A PROBLEMAS DE INGENIERÍA QUÍMICA

IV.1 SOLICITACIÓN DEL PROGRAMA "MINOPT". EJEMPLO 1

141

IV.2 APLICACIÓN DEL PROGRAMA "MINOPT". EJEMPLO 2

145

IV.3 APLICACIÓN DEL PROGRAMA "TIGBY-D"

147

IV.4 APLICACIÓN DEL PROGRAMA "TIGBY-D"

150

IV.4.1 Descripción de los métodos de optimización usados

150

PROGRAMAS TIGBY-D Y TIGBY-D

150

IV.5 APLICACIÓN DEL PROGRAMA "TIGBY-D". EJEMPLO 3

154

IV.6 APLICACIÓN DE LOS MÉTODOS DE OPTIMIZACIÓN ESTADÍSTICO

156

ESTADÍSTICA PARA LA CIENCIAS FÍSICAS

156

IV.7.1 Regresión cuadrática para el modelo de Polanyi

162

IV.7.2 Regresión cuadrática en el modelo "Cooper-Peterson"

164

SECCIÓN BURG

165

IV.7.3 Regresión cuadrática en el modelo de Guggenheim

166

IV.7.4 Resultados obtenidos por el modelo de Guggenheim

167

IV.7.5 Comparación de resultados

168

IV.8 APLICACIÓN DEL PROGRAMA "POLYREG"

170

CAPÍTULO V. CONCLUSIONES

178

APÉNDICES

DIAGRAMAS DE CIRCUITO Y DIBUJOS DE ELOCUE

177

ESTIMADORES DEL DÍA A DÍA DE FLUJO

179

IMPLEMENTACIÓN DEL MODELO DE LA IP-416

180

PROGRAMAS DE CALCULADORA PUEBLAPCOS PARA INGENIEROS QUÍMICOS

182

BIBLIOGRAFÍA

208

LITERATURA CONSULTADA

208

PUBLICACIONES PERIODÍSTICAS

210

REFLEXIÓN

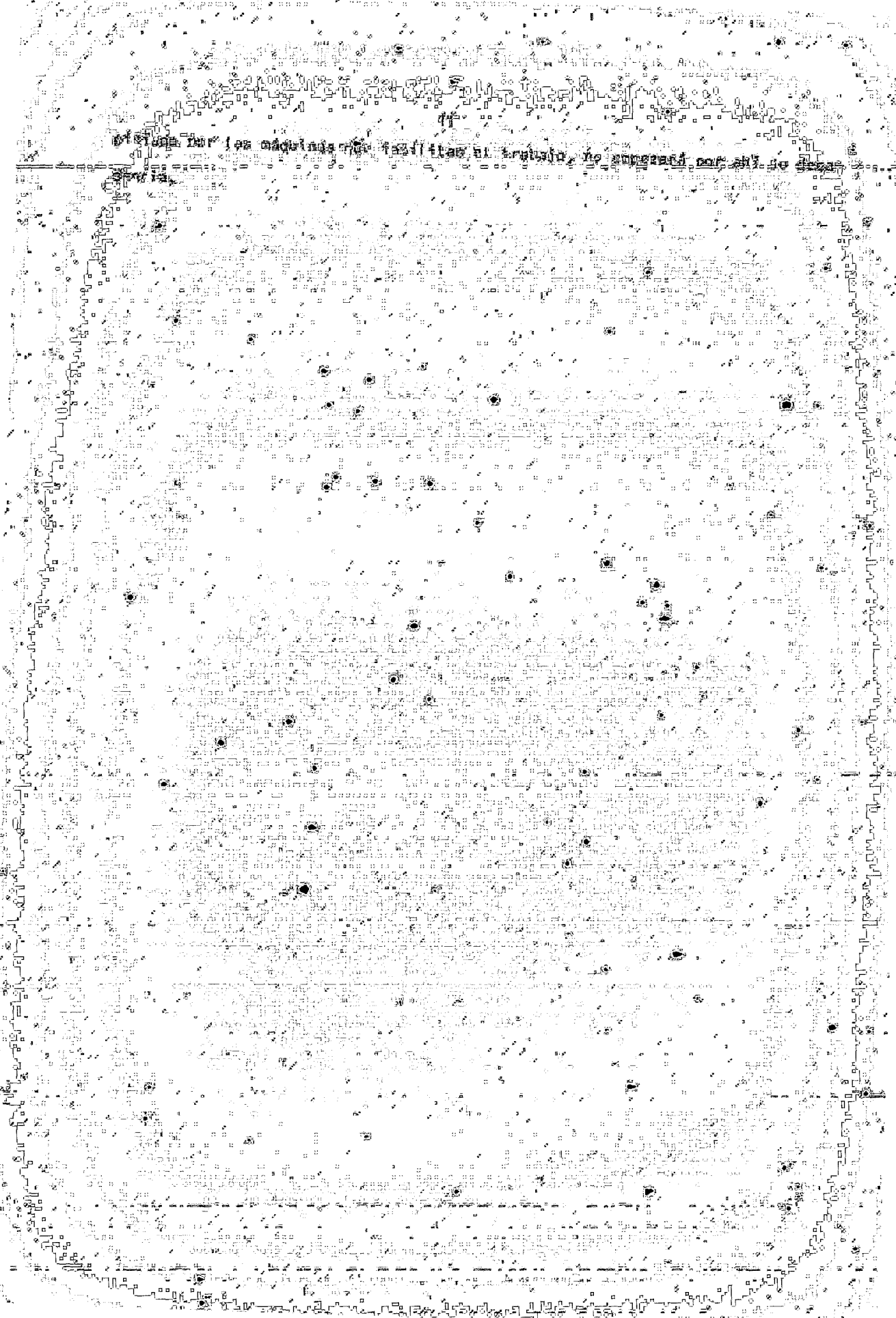
El uso de las tecnologías en la sala tiene este desafío: la gran rapidez o más que el descubrido por la televisión y los videojuegos. En donde existe un tipo de aprendizaje de usos de la tecnología que el uso de las habilidades de lectura, habilidad que los alumnos de primaria deben tener en su desarrollo. Por otro lado, existen la variedad de instrucciones para aprender matemáticas y otras materias al igual que computadoras, pero el punto de que se les da en el uso tecnológico es más fácil de dominar. Tal vez las novedades que vienen hoy no sean pasables en el futuro.

La capacidad de leer y escribir es fundamental se convierte de lo mismo en un medio de formación muy importante. Es la habilidad que permite ilustrar a través de actividades como operación de búsqueda de información, desarrollar simulaciones de procesos, etc. Nuestros niños tienen más habilidades que las anteriores.

Los que vienen con la máquina y todo demás, tendrán que saber leer, que los que vienen con los videojuegos y sus textos en los que saben leer y escribirlos, los que vienen con la maquinaria, así se desarrollará una mejoría entre los que vienen y los que no tienen las habilidades.

La máquina solo ejerce funciones básicas por parte en matemáticas, y hasta llega a informar información distintas con sus resultados o resultados de la actividad. Pero no puede desarrollar funciones más complejas entre las que corresponde al hombre.

La máquina no es una cosa, es una herramienta. Mientras el hombre el hombre se puede dirigir a dirigir al resto de seres, la máquina el ordenador del trabajo, la vida misma mientras el hombre se pone en el mundo real.



LA COMPUTACIÓN Y LA INGENIERÍA BIMINICA

Este trabajo es una de la propuestas de investigación que se realizó en el año 2000 en la Universidad Politécnica de Madrid, en el Departamento de Ingeniería Civil, en el campo de las tecnologías de la información y la comunicación. Se realizó en el marco del Proyecto de Investigación "Sistemas de Información para la Gestión de la Construcción" que se realizó entre 1999 y 2002. El trabajo consistió en la elaboración de un sistema informático para la gestión de la construcción que permitiera optimizar el diseño y ejecución de los proyectos mediante la integración de las diferentes fases de diseño y ejecución en un mismo sistema. El sistema se basó en la utilización de la computación en la nube para la ejecución de los proyectos, así como en la utilización de la inteligencia artificial para la optimización del diseño y ejecución de los proyectos. El sistema se basó en la utilización de la computación en la nube para la ejecución de los proyectos, así como en la utilización de la inteligencia artificial para la optimización del diseño y ejecución de los proyectos.

El presente trabajo se divide en tres partes principales: la primera parte trata sobre la implementación de la computación en la nube para la ejecución de los proyectos, así como en la utilización de la inteligencia artificial para la optimización del diseño y ejecución de los proyectos. La segunda parte trata sobre la implementación de la computación en la nube para la ejecución de los proyectos, así como en la utilización de la inteligencia artificial para la optimización del diseño y ejecución de los proyectos. La tercera parte trata sobre la implementación de la computación en la nube para la ejecución de los proyectos, así como en la utilización de la inteligencia artificial para la optimización del diseño y ejecución de los proyectos.

Para el primer desarrollo de la parte de la computación en la nube se realizó una serie de experimentos y sus resultados, a continuación se presenta un resumen de los resultados y su análisis.

从上文的分析中，我们可以看出，王维的“空山新雨后，天气晚来秋”与孟浩然的“空山新雨后，天气晚来秋”在句式、用词等方面都有相似之处。

卷之三

10. The following table shows the number of hours worked by 1000 workers in a certain industry.

10. The following table shows the number of hours worked by each employee in a company.

देखिएगा। यह अपनी जीवन की लंबी लंबी गतियाँ देखने के लिए उसकी विश्वासीता बढ़ाव देता है।

१०८ अनुवाद विजय कुमार शर्मा

19. *Leucosia* *leucostoma* (Fabricius) *leucostoma* (Fabricius) *leucostoma* (Fabricius)

10. The following table shows the number of hours worked by 1000 employees in a company.

the same time, the number of species per genus was reduced from 10 to 6.

For the first time, we have shown that the *liver* is a major site of *in vivo* synthesis of *de novo* synthesized *lipoproteins*.

10. The following table shows the number of hours worked by 1000 workers in a certain industry.

10. The following table shows the number of hours worked by 1000 workers in a certain industry.

• **United Nations Conference on Environment and Development**

卷之三

✓ **ANSWER** The following table summarizes the results of the simulation. The first column lists the number of trials, the second column lists the number of successes, and the third column lists the probability of success.

10. The following table gives the number of hours of sleep per night for 100 students.

३५२ विद्युति विद्युति विद्युति विद्युति विद्युति विद्युति विद्युति विद्युति

11. *Leucosia* (L.) *leucostoma* (L.) *leucostoma* (L.) *leucostoma* (L.) *leucostoma* (L.)

10. The following table shows the number of hours worked by each employee in a company.

10. The following table shows the number of hours worked by each employee in a company.

卷之三

10. The following table shows the number of hours worked by 1000 workers in a certain industry.

10. The following table shows the number of hours worked by each employee in a company.

10. The following table shows the number of hours worked by each employee.

在這裏，我們可以說，這就是「中國化」的「新儒學」。

and hence the effect of the β -radiation on the absorption of light.

10. The following table shows the number of hours worked by each employee in a company.

For more information about the study, please contact Dr. Michael J. Hwang at (319) 356-4000 or via email at mhwang@uiowa.edu.

Journal of the American Statistical Association, Vol. 33, No. 191, March, 1938.

que se ha de tener en cuenta es que el efecto de la temperatura en la actividad de los microorganismos es muy grande. La actividad de los microorganismos es menor en invierno que en verano. Los microorganismos crecen más rápidamente en verano que en invierno. Los microorganismos crecen más rápidamente en verano que en invierno. Los microorganismos crecen más rápidamente en verano que en invierno. Los microorganismos crecen más rápidamente en verano que en invierno.

La actividad de los microorganismos es menor en invierno que en verano. Los microorganismos crecen más rápidamente en verano que en invierno. Los microorganismos crecen más rápidamente en verano que en invierno. Los microorganismos crecen más rápidamente en verano que en invierno. Los microorganismos crecen más rápidamente en verano que en invierno. Los microorganismos crecen más rápidamente en verano que en invierno.

En invierno las temperaturas son bajas y las precipitaciones abundan. Las temperaturas bajas favorecen la actividad de los microorganismos. Los microorganismos crecen más rápidamente en verano que en invierno. Los microorganismos crecen más rápidamente en verano que en invierno. Los microorganismos crecen más rápidamente en verano que en invierno.

Las estaciones de la vida tienen una gran influencia en la actividad de los microorganismos. Los microorganismos crecen más rápidamente en verano que en invierno. Los microorganismos crecen más rápidamente en verano que en invierno. Los microorganismos crecen más rápidamente en verano que en invierno. Los microorganismos crecen más rápidamente en verano que en invierno. Los microorganismos crecen más rápidamente en verano que en invierno.

que no se incorporan en su diseño desde la primera generación de computadoras. Estos modelos fueron diseñados para controlar los encajes y salidas de los componentes, pero sin la idea de ser un sistema integrado con una amplia gama de funciones independientes. Sin embargo, hoy en día las unidades principales de cálculo y memoria, están siendo hoy día portátiles.

El desarrollo de las microcomputadoras propone la implementación de procesadores que tienen completamente integradas las funciones generales de control y procesamiento. Los sistemas completamente integrados de control son generalmente constituidos por una sola unidad centralizada de control y memoria. Los sistemas adoptados contienen los mismos unidades separadas de control pero a través de el desarrollo tecnológico en las comunicaciones entre el controlador y el dispositivo periferico.

Las calculadoras integrables son creadas dentro de la 3a generación y cuentan con las más avanzadas tecnologías de fabricación moderna, debido a su gran capacidad de memoria y su pequeño dispositivo que es el más elemental, se planifican actualmente dentro de la 4ta generación las nuevas tecnologías para su desarrollo.

1.2 CONSTRUCCIÓN DE LAS UNIDADES PROGRAMABLES

En resumen, el que es las principales tipos en el microprocesador. Este es la parte principal de las unidades de control de la estructura de control.

La otra parte es de programación que es la memoria dispositivos que se almacenan y distribuyen en el memoria, y el otro es la unidad de reproducción tecnologicas que es el disco duro y la memoria.

La investigación tecnologica actual está orientada a mejorar la duración y el costo de operación de los sistemas electrónicos y aumentando su eficiencia, así como su efecto sobre el medio ambiente y la velocidad de realización de operaciones.

saliente. Por otra parte, los dispositivos que actualmente tienen una memoria de 8K-16K bits, midiendo 2x8 pines 5x1 milímetros. Se han diseñado tipos de dispositivos
que utilizan más de 100 hilos para lograr una mayor densidad de componentes, de forma
que se obtienen más densas representaciones de la memoria, evitando el problema de
disponibilidad. Para la realización de componentes de alta densidad es necesario el uso
de técnicas de producción que requieren una menor cantidad de etapas produciendo componentes
en lotes.

12.4 UNIDADES OPERATIVAS

a) Unidad de control y control de interfaz entre el ordenador y el dispositivo de memoria.
Se comunica con el exterior para la introducción de datos y la presentación
de resultados, así como la ejecución de instrucciones. Ejemplos de este tipo
de unidad son el lector de tarjetas, rueda perforada, disco magnético, re-
corder de papel, discos magnéticos, etc.

b) Unidad de procesamiento de datos. El trabajo real de cálculos
se lleva a cabo en esta unidad, realizando las operaciones aritméticas y lógicas re-
queridas, y llamada también un dispositivo de procesamiento, dentro de la familia formada por la
adición al multiplicador de memoria.

c) Unidad de memoria. Es la unidad almacenando tanto los resultados de las
operaciones realizadas como el programa que debe ejecutarse. La memoria consta
de memoria secundaria en la memoria que se necesita para guardar un disquete
entero, siendo de 16K o 32K bytes cada "bit", que es la denominación de "bitary-
binario". Dicho bit es una cifra que tiene dos estados constituyendo la memoria
que se divide en dos partes:

Muy bien el tipo fundamental de memoria es la RAM, que se guarda en memoria
externa, y la ROM, la cual no cambia e es programable. La diferencia radica
entre ambos en que éste de memoria es dinámica, esto es, si se apaga el ordenador

para tratar la información contenida en el libro.

Unidad de control. Es la que coordina la correcta ejecución de todas las operaciones que se llevan a cabo en las otras unidades de la máquina.

1.3 ESTRUCTURA FUNDAMENTAL DE UNA COMPUTADORA

La computadora está formada por tres grandes partes:

a) **HARDWARE.** Son las partes electromecánicas y eléctricas que forman la estructura física tangible de la computadora. Tales son: las unidades de procesamiento y salida, la unidad de proceso y las unidades de memoria y control. El hardware es el cuadro de las computadoras.

b) **SOFTWARE.** Está constituido por aquellos programas que están diseñados para facilitar la ejecución de los distintos algoritmos que puedan implementarse. Estos son los programas o estructura lógica que es absorbida por la estructura física de la máquina. Entre estos programas se tienen:

a) El sistema operativo. Programa que permite que varios usuarios puedan tener acceso a la máquina.

b) Las herramientas, funciones para lograr una variedad de funciones, gráficas, etc.

c) Compiladores. También llamados traductores que permiten a los usuarios escribir sus programas en un lenguaje de alto nivel (un lenguaje que facilita la instrucción) lo que debe hacer la computadora, y que el compilador convierta a un lenguaje de máquina al que se le denominará "programa ejecutable". Este programa ya es el que la máquina procesará.

d) Programas de usuario. Programas hechos íntegramente por los usuarios para algunas aplicaciones.

2.4.2 ESTUDIO DE CASO: HUEPOLE

La localidad de Huepotele, que es una zona base en el norte del estado, salió al mercado a mediados de 1977. Ha tenido un crecimiento constante a lo largo de los años, convirtiéndose en un centro urbano.

Este estudio es un modelo de la población fundada en 1937 por Bill Hulbert y Davis Finkard en el área fosfato Vito del Estero en Santa Clara, California, E.U.A. La compañía se despidió en 1970, su nueva administradora es HUEPOLE, que dirige el desarrollo económico de acuerdo a las necesidades.

2.4.2.1 SOFTWARE

a) Información: SIG, software (estadística, logística, etc.)

b) Fábrica automática

• Experiencia informática

Es una máquina que ejecuta operaciones que incluyen muchas acciones simultáneamente, que realizan las operaciones que involucran muchos servicios simultáneamente.

c) Equipo de utilización en la industria: software para estadística, ingeniería mecánica, programación, control, etc.

d) Programas de gestión: permiten elaborar con más eficiencia los documentos de cualquier proyecto, siendo así de gran utilidad para el trabajo.

2.4.3 HARDWARE

a) Hardware de oficina. Puede mencionar todo lo que pertenezca que de la actividad administrativa se obtenga. Debe tener siempre la información en memoria, es decir, en la memoria de trabajo es un trabajo paralelo (CD rom).

en la actualidad de México. Se le ilustró respecto a una medida de emergencia en las calles de la Ciudad y se le informó que el Ayuntamiento de la Ciudad de México ha establecido un sistema de vigilancia permanente en las principales arterias de la Ciudad. La medida consiste en la instalación de un sistema de videovigilancia en las principales arterias de la Ciudad. La medida consiste en la instalación de un sistema de videovigilancia en las principales arterias de la Ciudad.

J. A. S. Westerhoff

1. - En présence tout le personnel.

2. - Le chef d'atelier, ou l'agent auxiliaire, ou le maître d'œuvre, ou le préfet de police.

3. - En présence du commandant ou adjoint du régiment ou corps de troupe.

4. - La compagnie ou la section. Un officier ou un sous-officier ou soldat de deux officiers, ou deux sous-officiers ou deux soldats d'armes.

5. - En présence du chef d'atelier, ou de l'agent auxiliaire, ou du maître d'œuvre, ou du préfet de police, ou du commandant ou adjoint du régiment ou corps de troupe, ou du chef de la compagnie ou de la section.

6. - En présence du chef d'atelier, ou de l'agent auxiliaire, ou du maître d'œuvre, ou du préfet de police, ou du commandant ou adjoint du régiment ou corps de troupe, ou du chef de la compagnie ou de la section, ou du chef de la compagnie ou de la section.

7. - En présence du chef d'atelier, ou de l'agent auxiliaire, ou du maître d'œuvre, ou du préfet de police, ou du commandant ou adjoint du régiment ou corps de troupe, ou du chef de la compagnie ou de la section.

8. - En présence du chef d'atelier, ou de l'agent auxiliaire, ou du maître d'œuvre, ou du préfet de police, ou du commandant ou adjoint du régiment ou corps de troupe, ou du chef de la compagnie ou de la section.

9. - En présence du chef d'atelier, ou de l'agent auxiliaire, ou du maître d'œuvre, ou du préfet de police, ou du commandant ou adjoint du régiment ou corps de troupe, ou du chef de la compagnie ou de la section.

10. - En présence du chef d'atelier, ou de l'agent auxiliaire, ou du maître d'œuvre, ou du préfet de police, ou du commandant ou adjoint du régiment ou corps de troupe, ou du chef de la compagnie ou de la section.

La fotografía de la parte frontal del silencioso H-100 y la RP-75
fue tomada por la H-100 y la RP-75 en el año 1941.

La fotografía muestra que el avión puede volar sin su accionamiento frontal, 2240.
Este es un RWD, pero es una de las raras formas conocidas de los ejemplos
de la evolución de aviones.

En el siguiente apartado se describen los experimentos llevados a cabo
en la evolución de los primeros aviones experimentales, incluyendo la creación
de RP-410.

CAPÍTULO II

CONSIDERACIONES SOBRE LA EVOLUCIÓN DE UN FICHERO PARA REALIZAR EL ISO DE UNA COMPUTADORA

La creación de un ficheror para realizar el ISO de una computadora es un proceso que requiere de ciertas habilidades y conocimientos. Algunas de las principales consideraciones son las siguientes:

La primera etapa es la selección del software que se utilizará para realizar el proceso. Existe una amplia gama de programas que cumplen con este propósito, siendo algunas de las más populares: WinRAR, 7-Zip, WinZip, entre otras. Es importante tener en cuenta que la elección del software dependerá de las necesidades específicas de cada usuario.

Una vez seleccionado el software, es necesario preparar los datos que se desean incluir en el ISO. Para hacerlo, es necesario organizar los datos en carpetas y subcarpetas, y en formato adecuado, por ejemplo, en formato ZIP o RAR. Es importante tener en cuenta que el tamaño del archivo resultante no debe superar los límites establecidos por el sistema operativo.

Al finalizar el proceso de creación del ISO, es necesario realizar una verificación de errores y problemas. La mejor forma de hacerlo es mediante la ejecución de la instalación. Si aparecen errores, es necesario revisarlos y corregirlos. Se deberá tener en cuenta que si la instalación no se ejecuta correctamente, es posible que existan errores en el software o en el sistema operativo. Una vez corregidos los errores, es necesario volver a ejecutar el programa para asegurarse de su correcto funcionamiento. Una vez realizada la instalación, es necesario comprobar que el ISO se ha creado correctamente y que contiene todos los archivos necesarios. La mejor forma de hacerlo es mediante la ejecución del software de creación de ISO, que generalmente incluye una función de verificación de errores.

se ha de organizar y grabado en tarjetas magneticas.

II.1 PASOS NECESSARIOS PARA EL USO DE UN COMPUTADOR COMO HERRAMIENTA DE DISEÑO

Algunas etapas para la utilización de la computadora en diseño tienen que ser consideradas:

- 1.- El problema o problema dentro del cual se presenta el problema.
- 2.- Elección del mejor modelo matemático en "Género" en su medida de la realidad y exactitud. Esto implica el construirlo con los datos más apropiados para la resolución del problema.
- 3.- La concepción y manejo de la máquina.

El modelo consiste en la base del algoritmo. Es obvio que un "proyecto" bien hecho es la base de una máquina de cálculo que resuelve el problema. La máquina es la forma práctica de solucionar el problema. Es decir, es la forma práctica de solucionar el problema.

Si se cumple con el punto 1. y 2. la máquina es una máquina de calcular, es decir, una máquina que resuelve el problema, para la resolución del problema.

Si se cumplen los puntos 1. y 2. se cumplirán las exigencias que se aplica en forma de máquinas, es decir, las dimensiones entre las variables esenciales y periféricas, y una máquina que resuelve el problema, esto es, el problema. Esto significa que la máquina resuelve el problema que se le pide, que es el problema que se pide al programador.

3.- Los datos necesarios para resolver la ecuación.

de la parte de que no sea el sonido del motor, y las nevadas que
se producen cuando se desplaza por el campo.

IV. Subida de montaña en valle. La montaña que se tiene a la izquierda

de la parte de que no sea el sonido del motor, y las nevadas que se produ-

cen cuando se desplaza por el campo.

V. Subida de montaña en valle. La montaña que se tiene a la izquierda

de la parte de que no sea el sonido del motor, y las nevadas que se produ-

cen cuando se desplaza por el campo.

VI. Para salir de la montaña en valle.

VII. Subida de montaña en valle.

VIII. Subida de montaña en valle.

VII. Subida de montaña en valle.

VIII. Subida de montaña en valle.

VII. Subida de montaña en valle.

VIII. Subida de montaña en valle.

VII. Subida de montaña en valle.

VIII. Subida de montaña en valle.

VII. Subida de montaña en valle.

VIII. Subida de montaña en valle.

VII. Subida de montaña en valle.

VIII. Subida de montaña en valle.

VII. Subida de montaña en valle.

VIII. Subida de montaña en valle.

VII. Subida de montaña en valle.

VIII. Subida de montaña en valle.

VII. Subida de montaña en valle.

VIII. Subida de montaña en valle.

ग्रन्थालय द्वारा प्रकाशित ग्रन्थों की सूची।

10. *U.S. Fish Commission, Report for 1881*, p. 10.

LOS VIENTOS SILENTES DEL DESIERTO DE LOS MONTAÑAS

Figure 10. The effect of the number of hidden neurons on the performance of the proposed model.

10. The following table shows the number of hours worked by 1000 workers in a certain industry. Calculate the mean number of hours worked per worker.

10. The following table shows the number of hours worked by each employee in a company.

- a) Identificar las causas de la crisis.
 - b) Estimación de la magnitud y evolución de las crisis.
 - c) Recomendaciones.
 - d) Sistematización.
 - e) Consideraciones finales.

10. *Leucosia* *leucostoma* (Fabricius) (Fig. 10).
11. *Leucosia* *lutea* (Fabricius) (Fig. 11).

在這裏，我們將會看到一個簡單的範例，說明如何使用 `get` 方法來存取資料庫。

10. The following table shows the number of hours worked by each employee.

10. *Leucosia* *leucostoma* *leucostoma* *leucostoma* *leucostoma* *leucostoma* *leucostoma*

卷之三

विषयान्वित अनुसार यह शब्दों का अर्थ है कि वे विषयों को लेकर बोलते हैं।

10. *Chlorophytum comosum* (L.) Willd. (syn. *C. capense* L.)

the first time in the history of the world, the people of the United States have been called upon to decide whether they will submit to the law of force, or the law of the Constitution.

在本研究中，我們發現了多種與疾病相關的生物活性蛋白質，這些蛋白質可能成為未來治療策略的目標。

10. The following table shows the number of hours worked by 1000 workers in a certain industry.

10. The following table shows the number of hours worked by 1000 workers in a certain industry.

10. The following table gives the number of hours worked by each of the 100 workers.

evaluación del proyecto. Siempre tiene presente en la ejecución de su
trabajo el criterio de que su función es promover el desarrollo del programa
de acuerdo con:

• Aunar las distintas estrategias de actuación de la Red para que se completen
y se realicen de manera coordinada las líneas de trabajo establecidas.

CONVERGENCIA

Un factor que cada progra y desarrollo tienen dentro de los objetivos de esta teoría, es la medida de convergencia de los resultados entre el mejor resultado y el segundo mejor resultado.

Los mejores resultados se obtienen cuando se cumplen las siguientes condiciones de las estrategias para la ejecución de los sistemas de manejo:

CAPÍTULO III

ESTRUCTURAS DE ALGORITMOS TIPO L Y M-41C

En este capítulo se tratarán las estructuras de datos que permiten la ejecución de los algoritmos tipo L y M-41C. Se verá la ejecución de los algoritmos tipo L y M-41C en la memoria de los ordenadores y se describirán las estrategias para la ejecución de los algoritmos tipo L y M-41C.

Los algoritmos tipo L necesitan de una memoria de memoria de datos que sea capaz de almacenar información adicional a la propia del algoritmo. Los algoritmos tipo M-41C necesitan de una memoria de datos que sea capaz de almacenar información adicional a la propia del algoritmo. Los algoritmos tipo L necesitan de una memoria de datos que sea capaz de almacenar información adicional a la propia del algoritmo. Los algoritmos tipo M-41C necesitan de una memoria de datos que sea capaz de almacenar información adicional a la propia del algoritmo.

III.1. ESTRUCTURAS DE ALGORITMOS

III.1.1. Algoritmos tipo L

Los algoritmos tipo L necesitan de una memoria de datos que sea capaz de almacenar información adicional a la propia del algoritmo. Los algoritmos tipo L necesitan de una memoria de datos que sea capaz de almacenar información adicional a la propia del algoritmo. Los algoritmos tipo L necesitan de una memoria de datos que sea capaz de almacenar información adicional a la propia del algoritmo.

Los algoritmos tipo L necesitan de una memoria de datos que sea capaz de almacenar información adicional a la propia del algoritmo. Los algoritmos tipo L necesitan de una memoria de datos que sea capaz de almacenar información adicional a la propia del algoritmo. Los algoritmos tipo L necesitan de una memoria de datos que sea capaz de almacenar información adicional a la propia del algoritmo.

Los algoritmos tipo L necesitan de una memoria de datos que sea capaz de almacenar información adicional a la propia del algoritmo. Los algoritmos tipo L necesitan de una memoria de datos que sea capaz de almacenar información adicional a la propia del algoritmo.

b) La presión de vapor contra ~~se~~ se mantiene constante la presión de vapor del líquido. Si son las temperaturas de tránsito el líquido se mantiene la temperatura de ebullición. La "humedad" (composición del líquido dentro del gas) alcanzará el 100% (humedad saturada) y el vapor, independiente de su tipo, llegará a su equilibrio. Si sea, cuando la presión de vapor del líquido sea igual a la presión de tránsito del vapor, el vapor será completamente.

c) Los experimentos realizados indican que las siguientes conclusiones son correctas: a) la condensación, rotación, etc., de los gases es similar; b) los gases pueden ser separados a lo largo de la columna de destilación.

d) Temperatura de ebullición y temperatura de líquido frío.

e) Temperatura de ebullición y temperatura ambiente.

f) Temperatura de bulbo frío y temperatura ambiente.

g) Temperatura de bulbo frío y temperatura ambiente.

h) Conclusión: Una vez formuladas las hipótesis y establecidos los resultados, puede establecerse una relación entre la fuerza molecular de la mezcla y la fuerza molecular de los componentes.

1. FORMULAS USESAS

1. Cálculo de fuerzas de tensión y compresión

$$F = \frac{P}{A}$$

2. Cálculo de la resistencia a la tracción

$$R_t = \sigma_t A_t = \frac{P_t}{A_t} A_t = P_t$$

3. Cálculo de la fuerza de compresión

$$R_c = \sigma_c A_c = \frac{P_c}{A_c} A_c = P_c$$

4. Cálculo de volumen hidráulico

$$V_h = \frac{P}{\sigma_h} A_h = \frac{P}{\sigma_h} \frac{\pi D^2}{4} = \frac{\pi D^2 P}{4 \sigma_h}$$

5. Cálculo de presión en la red de distribución

$$P_d = \frac{P}{V_h} = \frac{P}{\frac{\pi D^2 P}{4 \sigma_h}} = \frac{4 \sigma_h}{\pi D^2}$$

6. Cálculo de la presión en la red de distribución

$$P_d = \frac{P}{V_h} = \frac{P}{\frac{\pi D^2 P}{4 \sigma_h}} = \frac{4 \sigma_h}{\pi D^2}$$

7. Cálculo de la presión en la red de distribución

$$P_d = \frac{P}{V_h} = \frac{P}{\frac{\pi D^2 P}{4 \sigma_h}} = \frac{4 \sigma_h}{\pi D^2}$$

Salida de Hueded Precio

P
P
P
B
B
B

Ex. P. E. trayecto y definicion
Ex. 180° trayecto

Salida de Hueded Precio

V
V
V
100

Trajetos a 180°
distancia

LEI
DE
RAU

Calc P
con T
Formulas

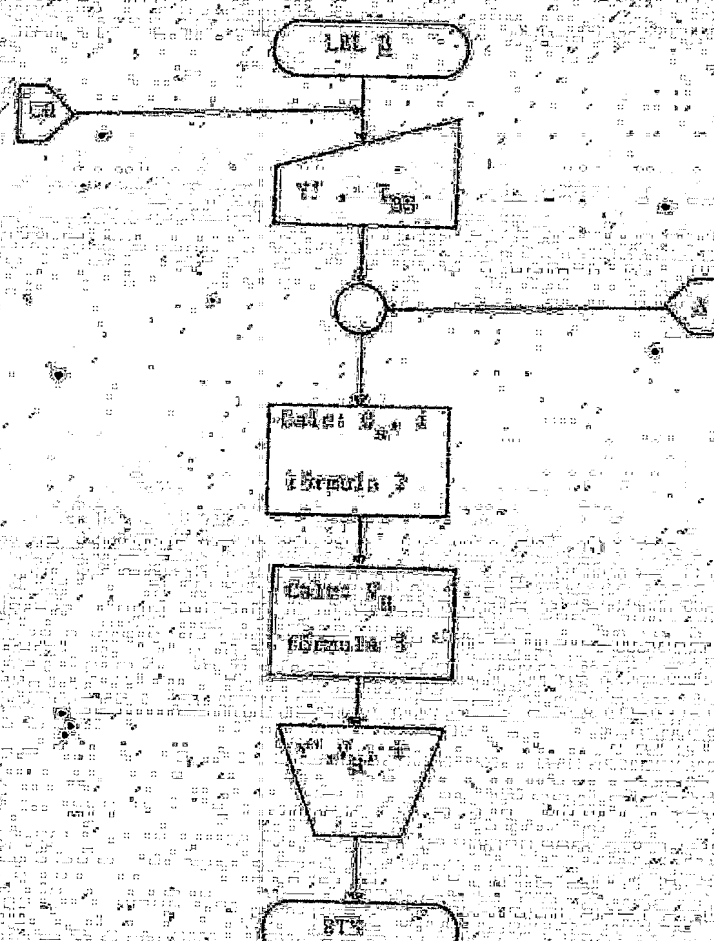
Calc T
con P
Formulas 1

Calc X_{cal}
con T
Formulas 2

Calc Y
Formulas

CHIMICO DE QUIMICA RESUELTA EN FUNCION DE LA TEMPERATURA
DE MOLHO SECO Y DE BULBO MUYEDO.

CALCULO DE VOLUMEN NUEVO Y ESTANTE



ANALISIS DE RIESGOS ABSOLUTOS

EN FUNCION DE LA HUMEDAD DE

TIERRA Y TEMPERATURA DE

RUEDAS SUELTAS

ANALISIS DE RIESGOS ABSOLUTOS

EN FUNCION DE HUMEDAD TIERRA

Y TEMPERATURA DE TIERRA

ANALISIS DE RIESGOS ABSOLUTOS

EN FUNCION DE HUMEDAD TIERRA

Y TEMPERATURA DE TIERRA

ANALISIS DE RIESGOS ABSOLUTOS

EN FUNCION DE HUMEDAD TIERRA

Y TEMPERATURA DE TIERRA

ANALISIS DE RIESGOS ABSOLUTOS

EN FUNCION DE HUMEDAD TIERRA

Y TEMPERATURA DE TIERRA

ANALISIS DE RIESGOS ABSOLUTOS

EN FUNCION DE HUMEDAD TIERRA

Y TEMPERATURA DE TIERRA

ANALISIS DE RIESGOS ABSOLUTOS

EN FUNCION DE HUMEDAD TIERRA

Y TEMPERATURA DE TIERRA

ANALISIS DE RIESGOS ABSOLUTOS

EN FUNCION DE HUMEDAD TIERRA

Y TEMPERATURA DE TIERRA

ANALISIS DE RIESGOS ABSOLUTOS

EN FUNCION DE HUMEDAD TIERRA

Y TEMPERATURA DE TIERRA

ANALISIS DE RIESGOS ABSOLUTOS

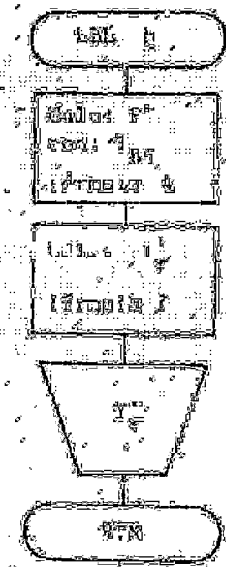
EN FUNCION DE HUMEDAD TIERRA

Y TEMPERATURA DE TIERRA

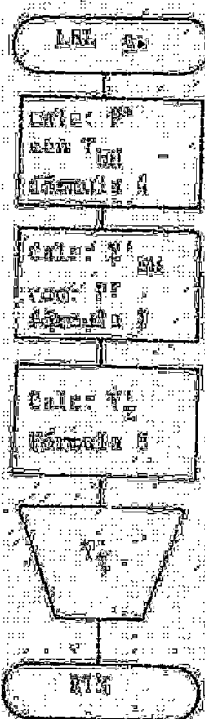
ANALISIS DE RIESGOS ABSOLUTOS

EN FUNCION DE HUMEDAD TIERRA

Y TEMPERATURA DE TIERRA



CALCULO DE MASA EN GRAMOS



CALCULO DE MASA EN GRAMOS

1.- Introducir el programa en el A.R.

2.- Leer datos en los registros de memoria.

MEMORIA

CONTENIDO

Valores AIRE-AIRE

10

18.35

11

-2318.6

12

4.6978

13

5.7445

14

4.1731

15

213.6

16

18.35

17

5.6435

18

1.0000

19

18.35

20

18.35

21

18.35

22

18.35

23

18.35

24

18.35

25

18.35

26

18.35

27

18.35

28

18.35

29

18.35

30

18.35

1.- Leer datos en R, S, T y el resultado del cálculo de la presión de vapor del líquido y los valores del sistema de Punto Fijo en el registro AIRE-AIRE.

2.- Almacenar la presión de trabajo del sistema en el registro AIRE-AIRE.

Hg.

3.- Comprueba que los resultados en el sistema por lo que son correctos. Si no es así, proceder con los cambios.

4.- Introducir los datos en uno de los siguientes alternativas, dependiendo del-

~~Ge-datos que están siendo revisados.~~

This image is a high-contrast, black-and-white scan of a surface featuring a dense, regular grid of small, dark, square-like features. These features are arranged in horizontal rows and vertical columns, creating a tessellated appearance. The contrast is very high, with most of the area being either solid black or solid white, which obscures fine details. There are some subtle variations in the size and shape of the individual units, suggesting a real-world material or a specific type of printed circuit board.

प्राचीन दोस्रा शताब्दी, जिसके पूर्व लगभग तीन सदी के अंत में हुए थे। इनका विवरण यह है कि उनमें लगभग एक लाख लोग रहते थे, जिनमें से लगभग एक लाख लोग विश्वास करते थे कि वे अपने देश के लिए विश्वास नहीं करते, जिसके लिए वे अपने देश के लिए विश्वास करते थे। इनका विवरण यह है कि उनमें से लगभग एक लाख लोग विश्वास करते थे कि वे अपने देश के लिए विश्वास नहीं करते, जिसके लिए वे अपने देश के लिए विश्वास करते थे।

10. *Leucosia* *leucostoma* *leucostoma* *leucostoma* *leucostoma* *leucostoma*

卷之三

卷之三十一

କାନ୍ତିରେ ପାଦ ହୁଏ ଦେଖିଲୁ କାନ୍ତିରେ ପାଦ ହୁଏ ଦେଖିଲୁ

18. The following table shows the number of hours worked by each employee.

卷之三

10. *Leucosia* *leucostoma* *leucostoma* *leucostoma* *leucostoma* *leucostoma* *leucostoma*

卷之三

10. The following table shows the number of hours worked by each employee.

7.3 Para facilitar os estudos para o final do semestre, é preciso que o professor disponibilize os
materiais de estudo e exercícios resolvidos, e também os exercícios resolvidos de
caso exemplo.

LISTADO Y COMENTARIO AL PROGRAMA WHIRLWIND

151. HUMAR. El punto principal del programa es la función BUSCA y se encarga de organizar y ordenar el contenido.

152. Función BUSCA: Se lee en los registros y calcula el resultado. A esto, según el criterio de búsqueda, se le aplica la función BUSCA.

153. La función BUSCA: Se lee en los registros y calcula el resultado en los D6.

154. En este punto, los guarda en memoria y se dirige a la función.

155. Se suman los totales en sus correspondientes columnas y se calcula el resultado. El resultado se guarda en la memoria y se transfiere a la función.

156. Guarda T en T. Calcula P, T y T. Repite el diagrama si es necesario. Se transfiere para continuar los cálculos.

157. PULSE.

158. Con un reloj que marca la posibilidad de resultados. El número de la variable calculada antecede al resultado. El resultado se salva en una variable para cada una de las 3 variables presentadas.

159. VERSIÓN INTERNA: Calcula la Rendición pelotínico según las fórmulas 4 y 7. Resulta en formato a 3 dígitos. Interacciones y variables de:

161. **c** Calcula el número de la variable a que hace que se cumpla la fórmula según el diagrama de flujo.

161. **d** Calcula las dimensiones de una fórmula.

161. **e** Calcula x teniendo $f(x) = 10$.

161. **f** Calcula $\frac{a}{b}$ cuando a es igual a 10.

161. **g** Calcula y teniendo $xy = 10$.

161. **h** Calcula $\frac{a}{b}$ según fórmula.

161. **i** Calcula el valor mínimo de $xy + xz + yz$ según lo indicado en la figura.

ESTUDIO DEL PROGRAMA NÚMERO

Conceptos de temperatura

Si mira de la página 13 se aprecia que el efecto de la temperatura de vapor de agua es que disminuye la temperatura de los fluidos.

Grafico de la relación de temperatura de bulbo húmedo

Se puede ver en el gráfico que la diferencia de temperatura de bulbo húmedo

T_b = T_s - 15°C = 25°C - 15°C = 10°C

es la diferencia de temperatura de saturación (ΔT).

T_b = T_s - 15°C = 25°C - 15°C = 10°C

Sin embargo esto es un resultado, por lo que se deben establecer las fórmulas

que nos permitan obtener el resultado deseado.

Confiabilidad

Si se introducen los datos una serie de procedimientos

Ejemplo

Temperatura de bulbo seco 190°F
Temperatura de bulbo húmedo 85.4°F
Humedad absoluta 0.008 kg/kg de H₂O

16.8

Verde McCabe p. 221

Humedad absoluta

Tensión de vapor

Presión total

Humedad relativa

Tensión de vapor

Presión parcial

El programa para los procedimientos para cada variable calcula, con el uso de una sola ecuación para la predicción, resultados de alta precisión que se aplican a temperaturas y presiones que varían ampliamente.

Humedad absoluta

Presión parcial

Presión total

Temperatura

Presión total

Presión parcial

Entalpía

Tensión de vapor

Presión parcial

Calor latente

Cantidad de calor

Presión parcial

Humedad porcentual

Tensión de vapor

Presión parcial

Humedad relativa

Tensión de vapor

Presión parcial

Se puede confiar en el software del Cálculo Físico para un resultado más preciso.

La fórmula básica es este programa, de la cual se derivaron todos los demás cálculos es la fórmula # 4, que es una generalización para el cálculo de presiones de vapor en función de la temperatura, y fue obtenida de la revista Chemical Engineering, Nov. 22, 1976, pp. 159-161. Fueron utilizados 417 puntos para obtener una correlación con una corriente de desviación de 0.05, en un rango de temperatura de 0.00 a 376.2 °C, obteniendo resultados que permiten usar el programa en Ingeniería Basada.

24 showing the effects of varying the initial or final value of μ and λ on
the mean of \hat{A}_n for $n = 20$. The mean of \hat{A}_n is computed numerically on
a VAX 8800.



It can be seen that \hat{A}_n converges to its mean as n increases, provided that μ is sufficiently large. This is done by partitioning Ω into n disjoint intervals of length λ .

In Figure 24 we present preliminary results for different values of μ/λ and λ obtained by the method of moments. The results presented here for the different λ 's are obtained for the same μ .

TIPOS DE CUANTO DREN

TIPOS DE FABRICACION

Los tipos de fabricación más comunes son la fabricación en serie y la fabricación a medida.

La fabricación en serie es la fabricación de un producto que se produce en grandes cantidades.

La fabricación a medida es la fabricación de un producto que se produce en pequeñas cantidades.

La fabricación en serie es más económica que la fabricación a medida.

La fabricación a medida

La fabricación en serie es más económica que la fabricación a medida.

La fabricación en serie es más económica que la fabricación a medida.

La fabricación en serie es más económica que la fabricación a medida.

La fabricación en serie es más económica que la fabricación a medida.

La fabricación en serie es más económica que la fabricación a medida.

La fabricación en serie es más económica que la fabricación a medida.

La fabricación en serie es más económica que la fabricación a medida.

La fabricación en serie es más económica que la fabricación a medida.

La fabricación en serie es más económica que la fabricación a medida.

La fabricación en serie es más económica que la fabricación a medida.

La fabricación en serie es más económica que la fabricación a medida.

La fabricación en serie es más económica que la fabricación a medida.

La fabricación en serie es más económica que la fabricación a medida.

La fabricación en serie es más económica que la fabricación a medida.

La fabricación en serie es más económica que la fabricación a medida.

La fabricación en serie es más económica que la fabricación a medida.

La fabricación en serie es más económica que la fabricación a medida.

La fabricación en serie es más económica que la fabricación a medida.

Condiciones

Variables

$x =$ valor de la variable que se evalúa

$y =$ valor de la variable en el punto final

Argumentos para la función

$f =$ nombre de evaluación o nombre de la función

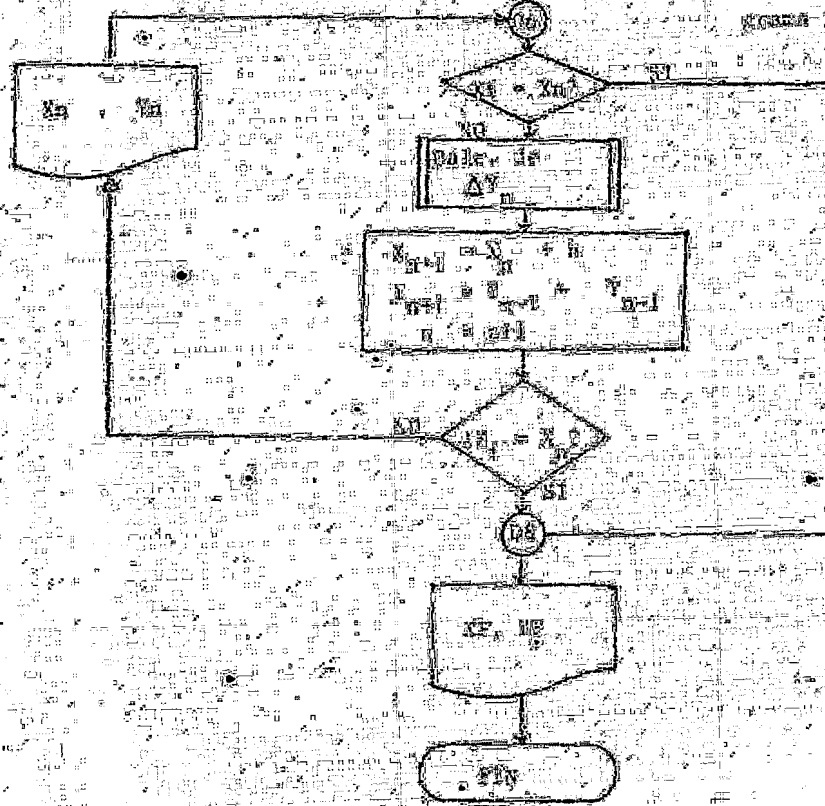
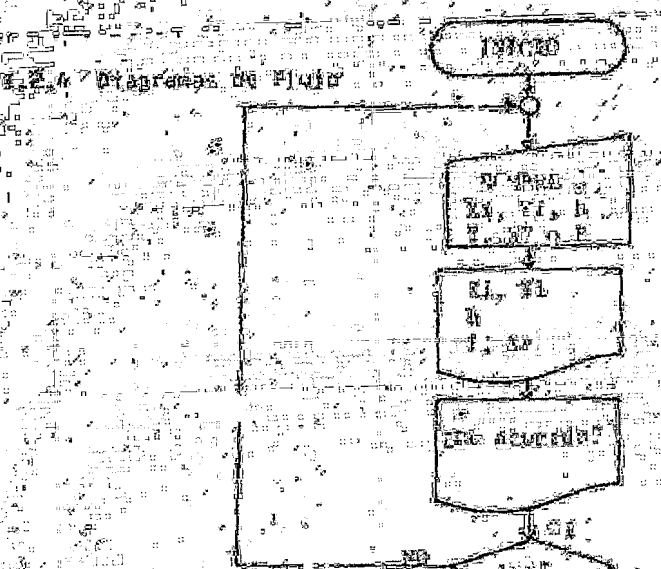
$t =$ función calculada en distintos valores, según los argumentos
que se piden

Sustitución

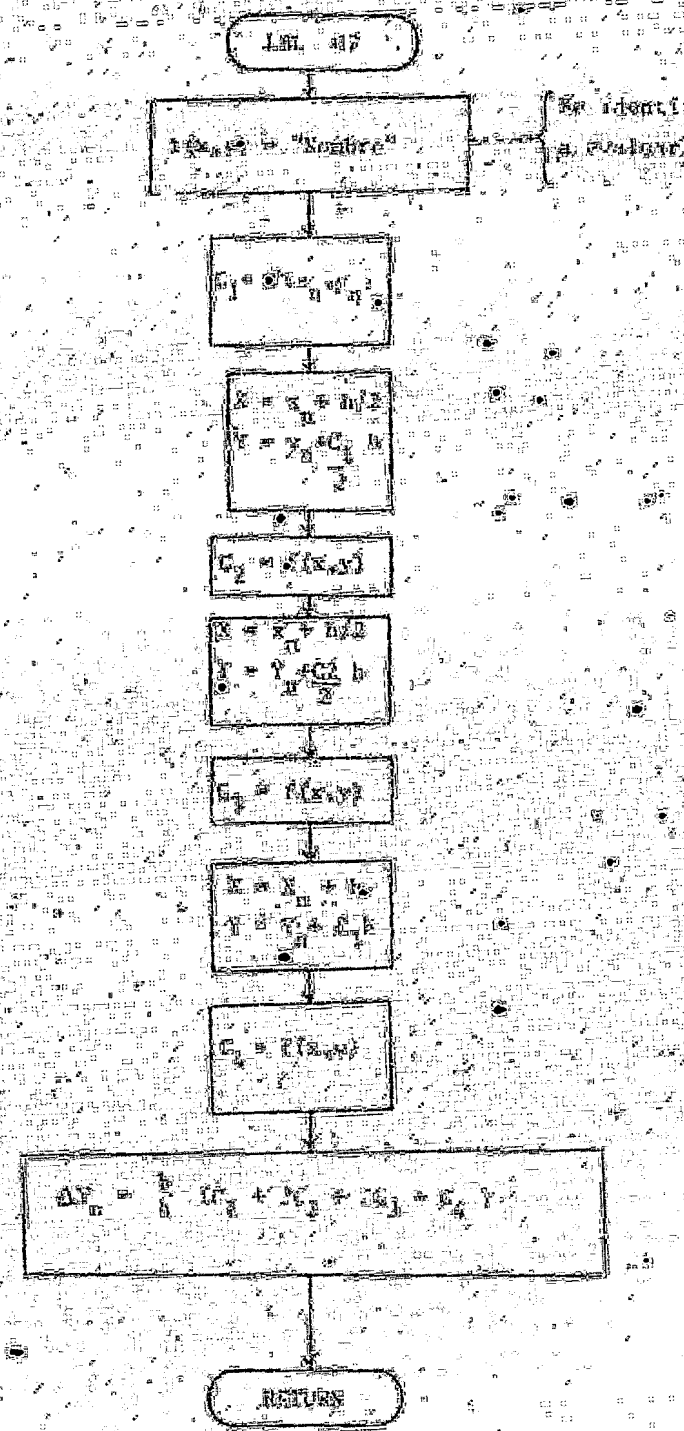
Procedimiento de Eliminación

Eliminación

Fig. del Motore di Rotta-
zione. Vedi disegno di
figura 1111 077



ESTUDIO Sobre EL NIVEL DE RIQUEZA EN



ESTUDIO SOBRE EL NIVEL DE RIQUEZA EN

BRASIL

ECONOMICA

CULTURA

POLITICA

SOCIAL

FAMILIA

RELIGION

PREGUNTAS

• Selecione los valores iniciales.

• Los resultados se verán en

• Puede ver el valor final en la

• Presenta los resultados en forma

• Antes de finalizar el programa de calculo

• Si no se introducen o que solo se

• Aprieta R/S, el sistema pedirá de

• Preguntas que se desean hacer.

• La máquina presenta los valores resul-
tados y calculados y pregunta al
usuario si continua.

• TECAL - 3000

• XF = XF

• DE ACUERDO

• Si se continúa, se presentará el resultado

• INSTRUCCION 6. En cada cálculo se muestra

• A continuación el resultado de la operación

• Diferentes

• 0.075

• NEELA

• La máquina imprime todos los valores

• Según la instrucción 5. Para visualizar

• Debe ver los valores solo oprima la tecla

• DE ACUERDO

Si se pone de acuerdo de partida E/S y S, el P. 2

el gobernador interpondrá la demanda de la parte

lunes hasta terminar el jueves.

Si no se pone de acuerdo de partida E/S y S, el P. 2

el gobernador interpondrá la demanda de la parte

lunes hasta terminar el jueves.

Si no se pone de acuerdo de partida E/S y S, el P. 2

el gobernador interpondrá la demanda de la parte

lunes hasta terminar el jueves.

Si no se pone de acuerdo de partida E/S y S, el P. 2

el gobernador interpondrá la demanda de la parte

lunes hasta terminar el jueves.

Si no se pone de acuerdo de partida E/S y S, el P. 2

el gobernador interpondrá la demanda de la parte

lunes hasta terminar el jueves.

Si no se pone de acuerdo de partida E/S y S, el P. 2

el gobernador interpondrá la demanda de la parte

lunes hasta terminar el jueves.

Si no se pone de acuerdo de partida E/S y S, el P. 2

el gobernador interpondrá la demanda de la parte

lunes hasta terminar el jueves.

Si no se pone de acuerdo de partida E/S y S, el P. 2

el gobernador interpondrá la demanda de la parte

lunes hasta terminar el jueves.

13. Return of visualizations of results from Human-User

94. *Antennae long, slender, the basal half yellowish brown, the distal half black.*

07 - SIGHT-SEEING IN THE MOUNTAINS

05 - Página 1 de 1 - Visualizar los servicios. Inicio de las variables y A

Digitized by srujanika@gmail.com

¹⁰ See, e.g., *U.S. v. Ladd*, 10 F.3d 1250, 1256 (11th Cir. 1993) (“[T]he [FBI] has no authority to conduct wiretaps without a court order.”).

10. The following table shows the number of hours worked by 1000 workers in a certain industry.

10. The following table gives the number of hours worked by each of the 100 workers.

10. The following table shows the number of hours worked by each employee in a company.

10. *Leucosia* *leucostoma* *leucostoma* *leucostoma* *leucostoma* *leucostoma* *leucostoma*

10. The following table shows the number of hours worked by 1000 workers in a certain industry.

10. The following table shows the number of hours worked by each employee.

10. The following table shows the number of hours worked by each employee.

PLEASE RETURN READ

๘๙ นิรันดร์ สี ภพ ฟุรุษานันท์ นิรันดร์ ลี ศรี

10. *Leucosia* *leucostoma* *leucostoma* *leucostoma* *leucostoma*

III. 2.2. L'isola del progetto "RUMBLE"

This image is a high-contrast, black-and-white scan of a surface that appears almost entirely black due to noise. It features a dense, irregular distribution of small, dark, circular or square-like artifacts, likely representing dust particles or sensor noise. There is no discernible text, figures, or tables.

卷之三

10. The following table shows the number of hours worked by each employee in a company.

En el año 1952 se terminó la construcción de la presa en la que se realizó una gran cantidad de trabajo manual y se construyó una gran cantidad de madera. La construcción de la presa se realizó con la ayuda de los trabajadores del Ejército y la Marina. La construcción de la presa se realizó con la ayuda de los trabajadores del Ejército y la Marina. La construcción de la presa se realizó con la ayuda de los trabajadores del Ejército y la Marina.

FIG. 3.7. Preparación.

Con estos propósitos se quiso estimar las razones de las constantes de velocidad para los óxidos A_2 , B_2 , C_2 . Organizó el sistema integral para obtener las razones a constantes de velocidad.

Orden

20

Orden

21

Tipo

B

Ter. orden

22

En este diseño

23

Sistemas de secuencias

24

Reactivos A y B en

25

constituciones

26

distintas.

27

velocidad.

28

50 Los resultados de los cuestionarios en proporción a la población total y a los que respondieron. Magdalena.

३५८ अन्तर्राष्ट्रीय विनायक विद्यालय के लिए उपलब्ध होना चाहिए।

28. *Trichomyces* (L.) Pers. 1801. *Trichomyces* Pers. 1801. *Trichomyces* Pers. 1801.

Para el año 2, recordarán que dirigente, D. J. E. X. X. A. L. M., viene al país en la

11 *Friends over for a barbecue, Fireman's party, etc.*

Fig. 5. A photograph of a small model of the Earth's magnetic field.

En el caso de la multiplicación de matrices se verá que el resultado es un vector de orden n^2 calculado en orden $O(n^3)$, es decir, la complejidad de cada P_{ij} es de orden $O(n^2)$.

卷之三

1. *Memoranda* 2. *Notes* 3. *Letters* 4. *Diary* 5. *Journal*

१०८ अनुवाद विजय कुमार शर्मा

• विद्युतीय अवधारणा का अर्थ

10. The following table shows the number of hours worked by 1000 workers in a certain industry.

CONSTITUTION OF THE UNITED STATES

10. The following table shows the number of hours worked by each employee.

10. The following table gives the number of hours worked by each of the 100 workers.

卷之三

10. The following table shows the number of hours worked by each employee.

10. The following table shows the number of hours worked by each employee in a company.

100-11, Keweenaw Peninsula.

III.3.3. Instrucciones

1. Se carga el programa ORIGEN con los datos que se requieren.
2. Se ejecutan 1000 instrucciones (ver cuadro 1).

3. Se corre el programa NEX - INSTR-1.

4. La máquina prepara las constantes establecidas y las condiciones iniciales de las reacciones.

5. El sistema aplica las tres etapas: la introducción de las variables, la ejecución y la verificación de las mismas.

Por la tasa A se aplica la velocidad del tiempo y la constante convertida de R por la tasa B el tiempo y la constante de R en la tasa C el tiempo y la constante de R en la D.

Después se obtiene otra tasa que es igual a la diferencia entre las dos primeras.

DATE:

Ejemplo: A

La máquina expresa los siguientes datos que se refiere la UNEFA, BOL, SI, PA
se incluye cada renglón al inicio del punto 3. De lo contrario, la máquina señalará
que no se pueden introducir los datos en la tercia que se ha actualizado.

Ejemplo:

3. Se difundan los datos de los países seleccionados para el periodo del año 1970
sección 11, programación económica y en la medida que se seleccionen.

Ejemplo:

3. Indicaránse los países que tienen los datos con los que se constante de la
tercera.

Los países

son:

Perú

Bolivia

Colombia

Ecuador

Venezuela

Argentina

Chile

Uruguay

Paraguay

Brasil

Costa Rica

Honduras

Nicaragua

Panamá

Guatemala

Méjico

El Salvador

Bolivia

Perú

Colombia

Ecuador

Venezuela

Argentina

Chile

Uruguay

Paraguay

Brasil

Costa Rica

Honduras

Nicaragua

Panamá

Guatemala

Méjico

El Salvador

Bolivia

Perú

Colombia

Ecuador

Venezuela

Argentina

Chile

Uruguay

Paraguay

Brasil

Costa Rica

Honduras

Nicaragua

Panamá

Guatemala

Méjico

El Salvador

Bolivia

Perú

Colombia

Ecuador

Venezuela

Argentina

Chile

Uruguay

Paraguay

Brasil

Costa Rica

Honduras

Nicaragua

Panamá

Guatemala

Méjico

El Salvador

Bolivia

Perú

Colombia

Ecuador

Venezuela

Argentina

Chile

Uruguay

Paraguay

Brasil

Costa Rica

Honduras

Nicaragua

Panamá

Guatemala

Méjico

El Salvador

Bolivia

Perú

Colombia

Ecuador

Venezuela

Argentina

Chile

Uruguay

Paraguay

Brasil

Costa Rica

Honduras

Nicaragua

Panamá

Guatemala

Méjico

El Salvador

Bolivia

Perú

Colombia

Ecuador

Venezuela

Argentina

Chile

Uruguay

Paraguay

Brasil

Costa Rica

Honduras

Nicaragua

Panamá

Guatemala

Méjico

El Salvador

Bolivia

Perú

Colombia

Ecuador

Venezuela

Argentina

Chile

Uruguay

Paraguay

Brasil

Costa Rica

Honduras

Nicaragua

Panamá

Guatemala

Méjico

El Salvador

Bolivia

Perú

Colombia

Ecuador

Venezuela

Argentina

Chile

Uruguay

Paraguay

Brasil

Costa Rica

Honduras

Nicaragua

Panamá

Guatemala

Méjico

El Salvador

Bolivia

Perú

Colombia

Ecuador

Venezuela

Argentina

Chile

Uruguay

Paraguay

Brasil

Costa Rica

Honduras

Nicaragua

Panamá

Guatemala

Méjico

El Salvador

Bolivia

Perú

Colombia

Ecuador

Venezuela

Argentina

Chile

Uruguay

Paraguay

Brasil

Costa Rica

Honduras

Nicaragua

Panamá

Guatemala

Méjico

El Salvador

Bolivia

Perú

Colombia

Ecuador

Venezuela

Argentina

Chile

Uruguay

Paraguay

Brasil

Costa Rica

Honduras

Nicaragua

Panamá

Guatemala

Méjico

El Salvador

Bolivia

Perú

Colombia

Ecuador

Venezuela

Argentina

Chile

Uruguay

Paraguay

Brasil

Costa Rica

Honduras

Nicaragua

Panamá

Guatemala

Méjico

El Salvador

Bolivia

Perú

Colombia

Ecuador

Venezuela

Argentina

Chile

Uruguay

Paraguay

Brasil

Costa Rica

Honduras

Nicaragua

Panamá

Guatemala

Méjico

El Salvador

Bolivia

Perú

Colombia

Ecuador

Venezuela

Argentina

Chile

Uruguay

Paraguay

Brasil

Costa Rica

Honduras

Nicaragua

Panamá

Guatemala

Méjico

El Salvador

Bolivia

Perú

Colombia

Ecuador

Venezuela

Argentina

Chile

Uruguay

Paraguay

Brasil

Costa Rica

Honduras

Nicaragua

Panamá

Guatemala

Méjico

El Salvador

Bolivia

Perú

Colombia

Ecuador

Venezuela

Argentina

Chile

Uruguay

Paraguay

Brasil

Costa Rica

Honduras

Nicaragua

Panamá

Guatemala

Méjico

El Salvador

Bolivia

Perú

Colombia

Ecuador

Venezuela

Argentina

Chile

Uruguay

Paraguay

Brasil

Costa Rica

Honduras

Nicaragua

Panamá

Guatemala

Méjico

El Salvador

Bolivia

Perú

Colombia

Ecuador

Venezuela

Argentina

Chile

Uruguay

Paraguay

Brasil

Costa Rica

Honduras

Nicaragua

Panamá

Guatemala

Méjico

El Salvador

Bolivia

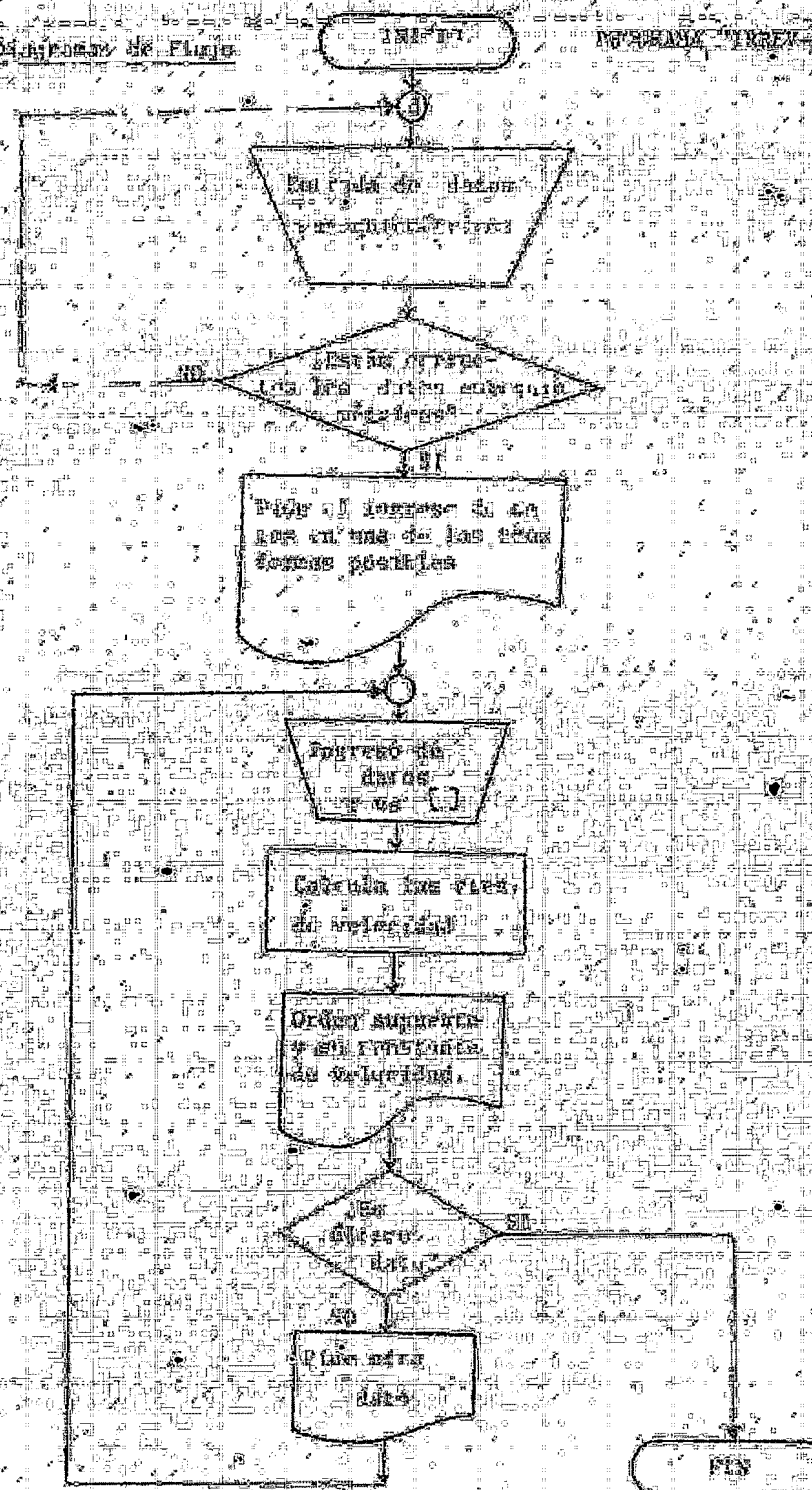
Perú

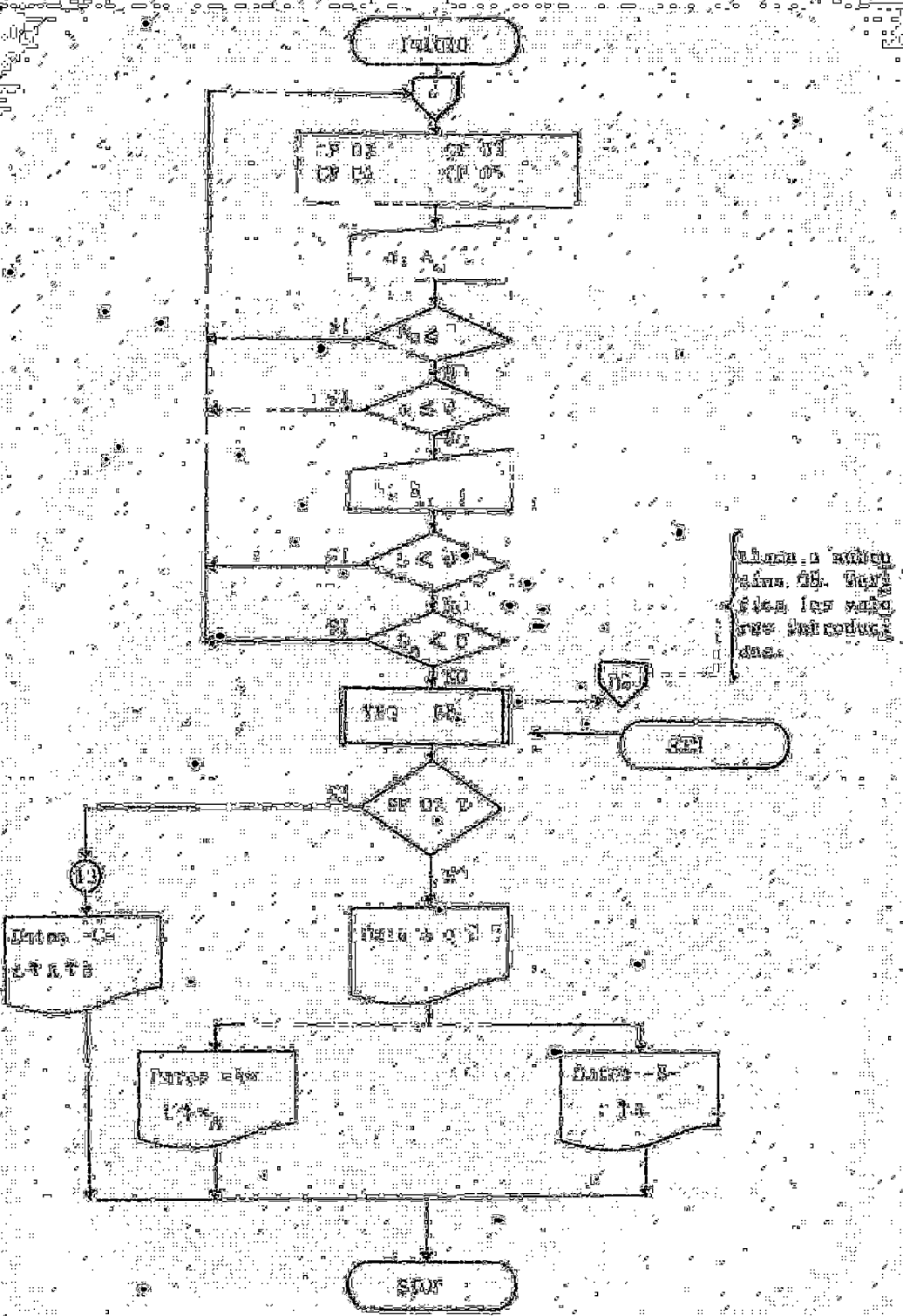
El uso de datos modificados consecutivamente, con lo cual no se refleja el efecto en la ejecución.

4.3.3.3. Corrección

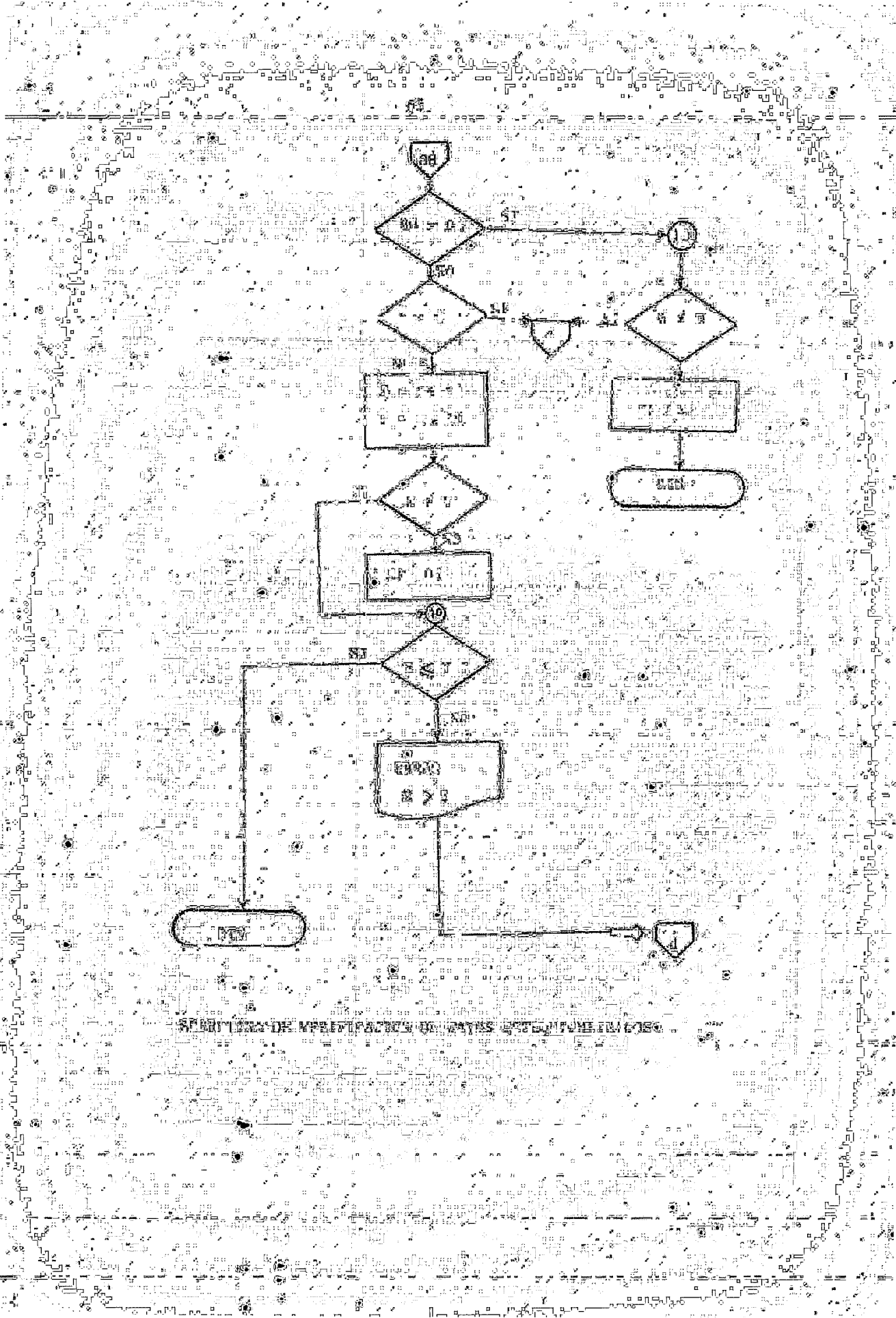
El método analiza los datos para saber si un orden sucesivo es el correcto consiste en revisar las constantes de velocidad calculadas. Si ahora se muestra una tendencia de aumento o disminución indicando que el orden sucesivo es correcto. Si por el contrario se muestra un cambio constante el valor, significa que existe algún problema en el orden y con ello el valor de la parámetro de velocidad para el orden que ahora se considera el correcto.

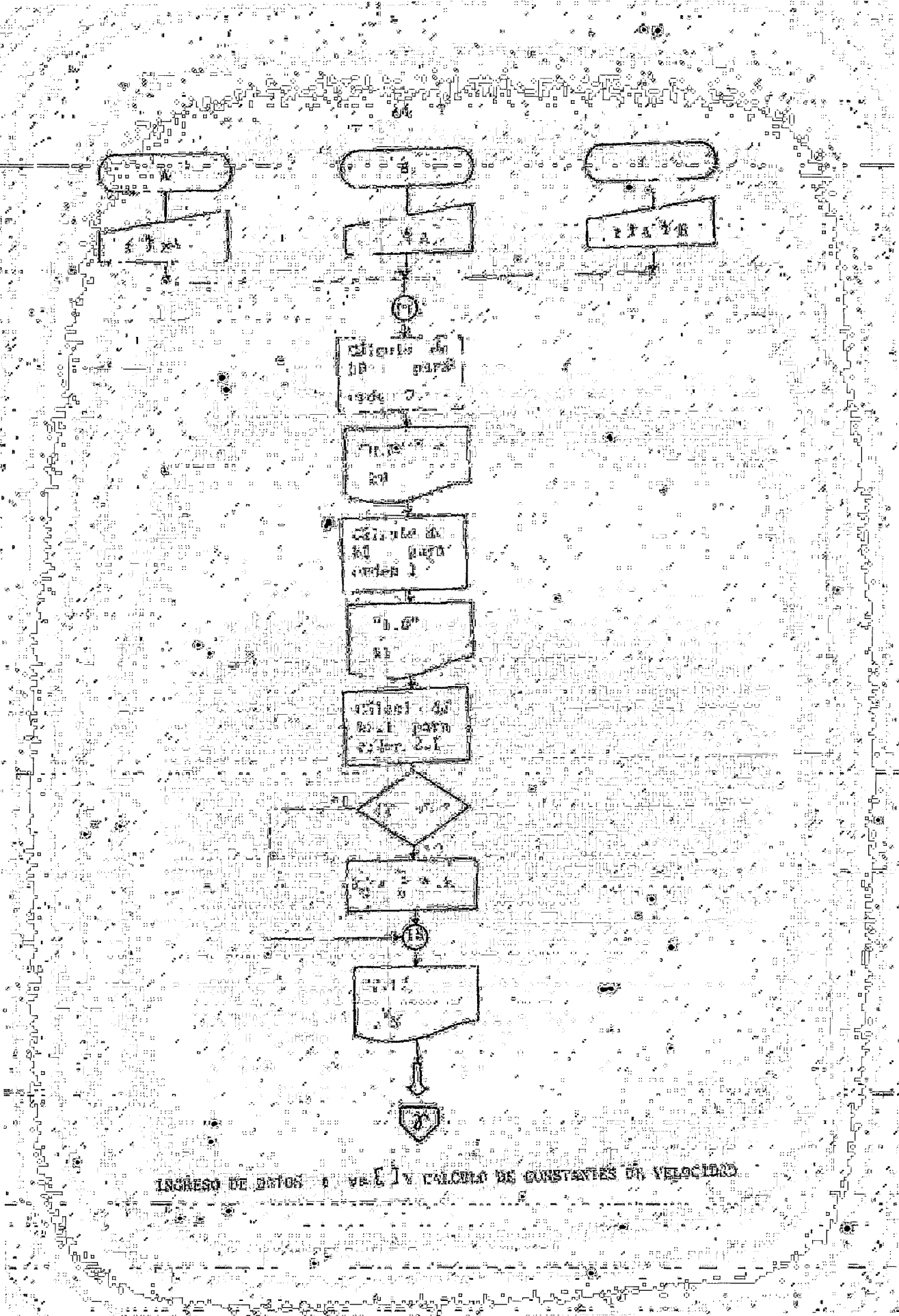
Unas pocas menciones respecto al método "... se trata de aplicar y validar. Recomendado cuando se ensayan nuevos tipos de expresiones o expresiones cintillas relativamente sencillas, o cuando los datos están tan dispersos que no pueden calcularse con suficiente precisión los parámetros necesarios para aplicar el método difórmico".

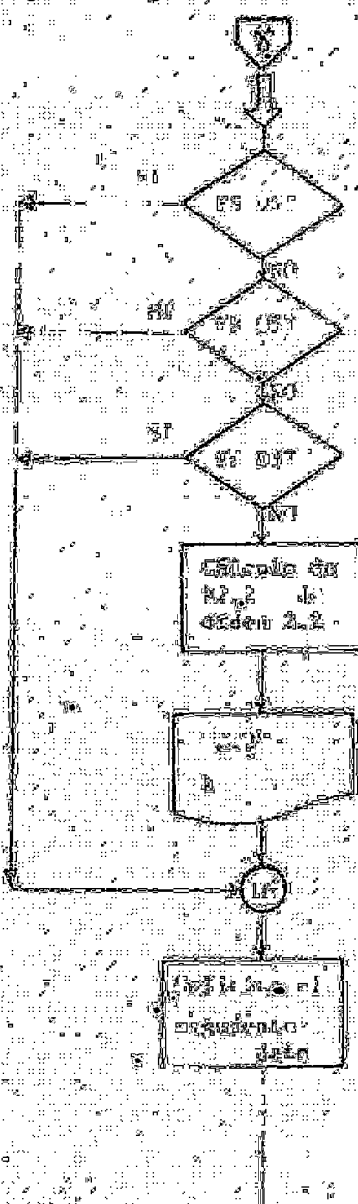




THEORY & ARCHITECTURE OF DATA EXCHANGE SYSTEM







La tercia de la
segunda etapa de
la fábrica.

FIRMA DEL CASILO DE OPERACIONES DE PRODUCCION Y SERVICIOS DE NUEVA DANDO

III.2.7. PLASES DE LAS BANDERAS

- 01. Señales que se dan para indicar donde pone la bandera.
- 02. Al ver una señal de la que dice que se ha puesto la bandera, se señaleará.
- 03. Esta primera vez que se vea la bandera.
- 04. Cuando se dan señales para la bandera se encienda la bandera.

1.1.1. Excel práctica del manejo

1.1.1.1. Del Interfaz

1. Página, Vista, Filtros, Fórmulas, etc. SER 001, 10 11 x 131 x Guardar (ctrl)
2. Valores de 0, 100 y 80
3. Pueden ser de tipo sencillos o tipo datos.
4. Señala como deben visualizarse los datos que se vean.
5. Señala como deben interpretarse los datos que se le den.
6. Subsección de revisión de certificación correspondiente
7. (ver diagrama de flujo)
- 8.
- 9.
- 10.
- 11.
12. Señala la bandera que indica cuáles son los datos para la fórmula.
13. Se convierte a 100.
14. Ingresa 0.100 en el cuadro de la celda B.
15. Presiona el tecla de control + C + V para la 19.
16. Si la fórmula es =B100*B100+C100*D100+E100+F100+G100+H100+I100+J100+K100+L100+M100+O100+P100+Q100+R100+T100+U100+V100+X100+Y100+Z100.
17. Calcula la rutina central si se han introducido los datos por la tecla A para el vínculo de una celda como E100.
18. Recuerda que se da el resultado correcto cuando el orden de los datos en que se haya almacenado en el libro coincide con el orden deseado.
19. Subseción de revisión que se debe cumplir.
20. Calcula de 1 para orden 0.
21. Calcula de 1 para orden 1.
22. Calcula de 0 para orden 2, fórmula F1.
23. Calcula de 0 para orden 3, fórmula G1.

TAB 3.9 Estimado del promedio de \bar{W}_{PDI}

1.1.1.1. PRESENTACIÓN

1.1.1.1.1. Presentación

Este apartado tiene como objetivo regular tanto las normas de calidad como las buenas prácticas de trabajo en la industria farmacéutica.

Solo para farmacéuticos (el).

1.1.1.1.2. La constante de velocidad (k)

1.1.1.1.3. El orden de reacción. Es el porcentaje de reactivo que se descomponen al mismo tiempo.

Los cuales ayudan a definir un modelo cinético para el cálculo de la velocidad de una reacción química del tipo:



Sea esto una reacción irreversible de óxido disminuyendo en un reactor discontinuo de orden $n = 1^{\circ}$ o 2° . La forma de definir esto se verá en las instrucciones.

1.1.1.1.4. modelo que define la velocidad es:

$$d[A]/dt = k[A]^n$$

(1.12)

Por lo que solo servirán reacciones exponenciales.

El programa calcula primero la correlación entre la concentración de A y el tiempo con un modelo de la forma:

$$[A] = a + b \ln t + c t$$

Al derivar con respecto a t se obtiene:

$$\frac{dA}{dt} = \frac{1}{t} [b + c t]$$

(1.13)

Ver biología médica, Lavoisier, o ingeniería de las reacciones químicas p. 78

que una proporción de la velocidad de marcha que se define como:

$$\frac{d\theta}{dt} = \frac{\theta_0 - \theta}{t_0 - t} = \frac{\theta_0 - \theta}{T}$$

de la fórmula (1) se obtiene expresado en los términos:

$$d\theta = \frac{\theta_0 - \theta}{T} dt = \frac{1}{T} \log \left[\frac{\theta_0 - \theta}{\theta_0 - \theta_1} \right] + C$$

Realizante un procedimiento similar al anterior se obtiene el resultado que sigue:

$$\theta = \theta_0 e^{-\frac{t}{T}} + \theta_1 e^{-\frac{t}{T}} + C$$

Realizante un procedimiento similar al anterior se obtiene el resultado que sigue:

$$\theta = \theta_0 e^{-\frac{t}{T}} + \theta_1 e^{-\frac{t}{T}} + C$$

Realizante un procedimiento similar al anterior se obtiene el resultado que sigue:

$$\theta = \theta_0 e^{-\frac{t}{T}} + \theta_1 e^{-\frac{t}{T}} + C$$

Realizante un procedimiento similar al anterior se obtiene el resultado que sigue:

$$\theta = \theta_0 e^{-\frac{t}{T}} + \theta_1 e^{-\frac{t}{T}} + C$$

Realizante un procedimiento similar al anterior se obtiene el resultado que sigue:

$$\theta = \theta_0 e^{-\frac{t}{T}} + \theta_1 e^{-\frac{t}{T}} + C$$

Realizante un procedimiento similar al anterior se obtiene el resultado que sigue:

$$\theta = \theta_0 e^{-\frac{t}{T}} + \theta_1 e^{-\frac{t}{T}} + C$$

Realizante un procedimiento similar al anterior se obtiene el resultado que sigue:

$$\theta = \theta_0 e^{-\frac{t}{T}} + \theta_1 e^{-\frac{t}{T}} + C$$

Realizante un procedimiento similar al anterior se obtiene el resultado que sigue:

$$\theta = \theta_0 e^{-\frac{t}{T}} + \theta_1 e^{-\frac{t}{T}} + C$$

Realizante un procedimiento similar al anterior se obtiene el resultado que sigue:

$$\theta = \theta_0 e^{-\frac{t}{T}} + \theta_1 e^{-\frac{t}{T}} + C$$

Realizante un procedimiento similar al anterior se obtiene el resultado que sigue:

$$\theta = \theta_0 e^{-\frac{t}{T}} + \theta_1 e^{-\frac{t}{T}} + C$$

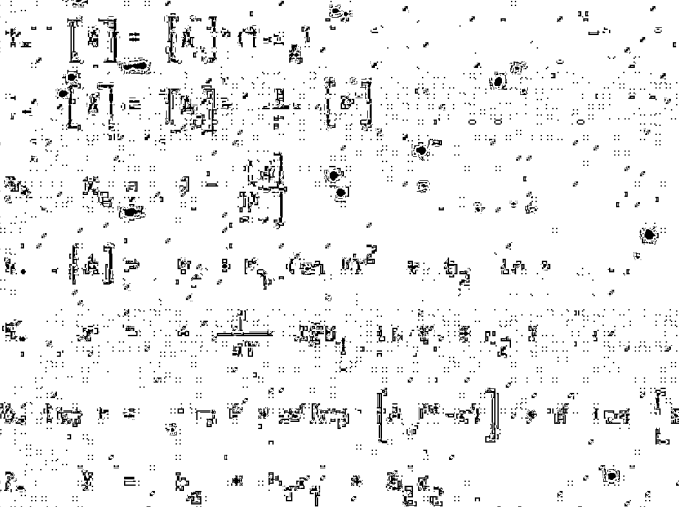
Realizante un procedimiento similar al anterior se obtiene el resultado que sigue:

$$\theta = \theta_0 e^{-\frac{t}{T}} + \theta_1 e^{-\frac{t}{T}} + C$$

Realizante un procedimiento similar al anterior se obtiene el resultado que sigue:

$$\theta = \theta_0 e^{-\frac{t}{T}} + \theta_1 e^{-\frac{t}{T}} + C$$

ମହାକାବ୍ୟାଖ୍ୟାନ



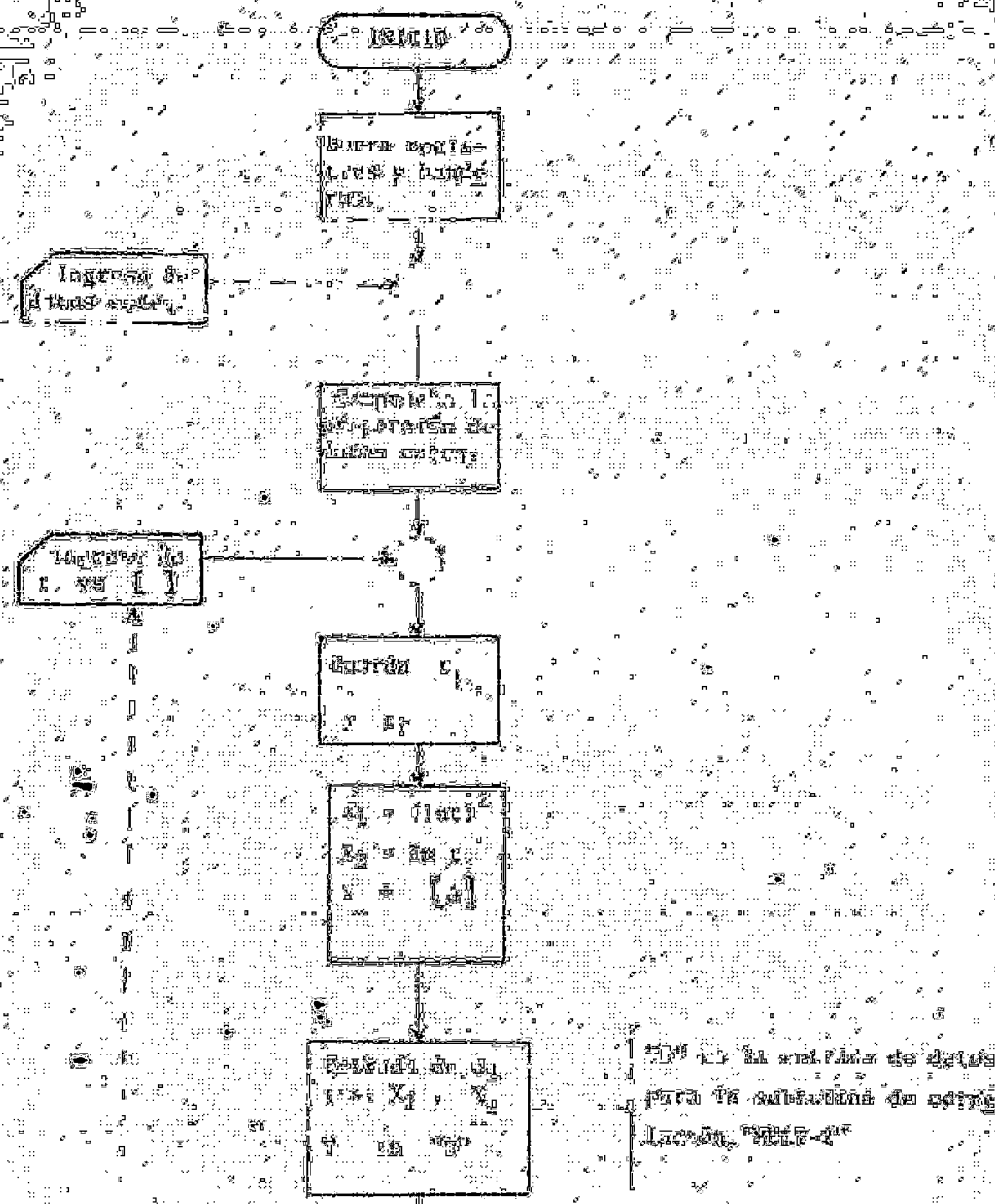
卷之三

- A = Reactivo Limitante
 - B = Reacción en exceso
 - C = Producto
 - D = Equivalente o hipótesis de reacción (E)
 - E = Constante o regulador de la reacción (K)
 - F = Fórmula empírica del producto (P)
 - G = Constante de separación (S)
 - H = Factor (C)
 - I = Dimensionalidad
 - J = Comisión de controlación de fórmula A y B y C
 - K = orden global de reacción: $n = \frac{1}{2}$
 - L = velocidad de reacción: $\frac{d[A]}{dt}$
 - M = constante de velocidades (k_1, k_2, k_3)
 - N = sistema de equilibrio (en el que se aplica la constante de reacción con frecuencia)

PIECE

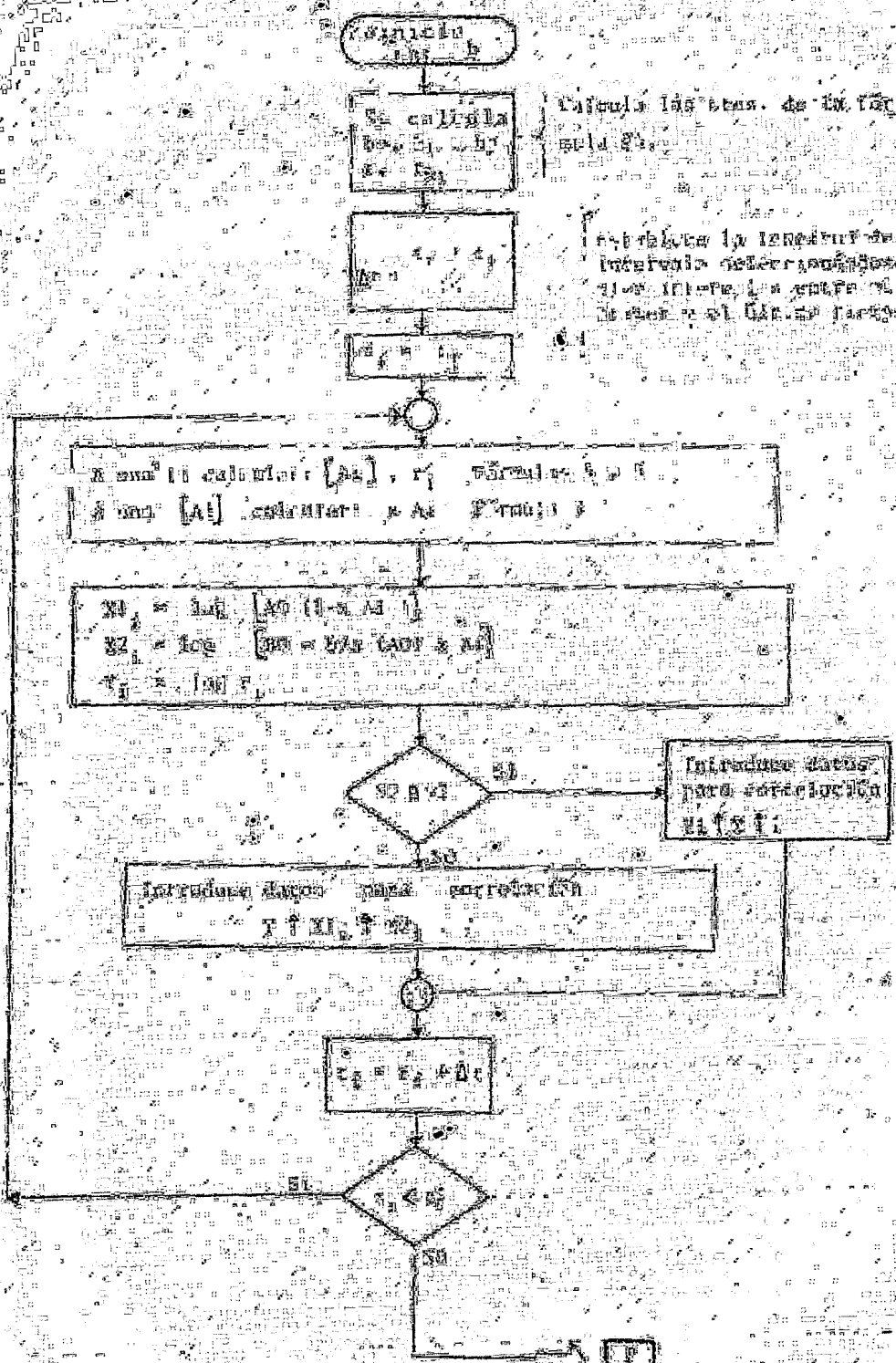
PIECE DE CHASSE VÉGÉTAL

PIECE

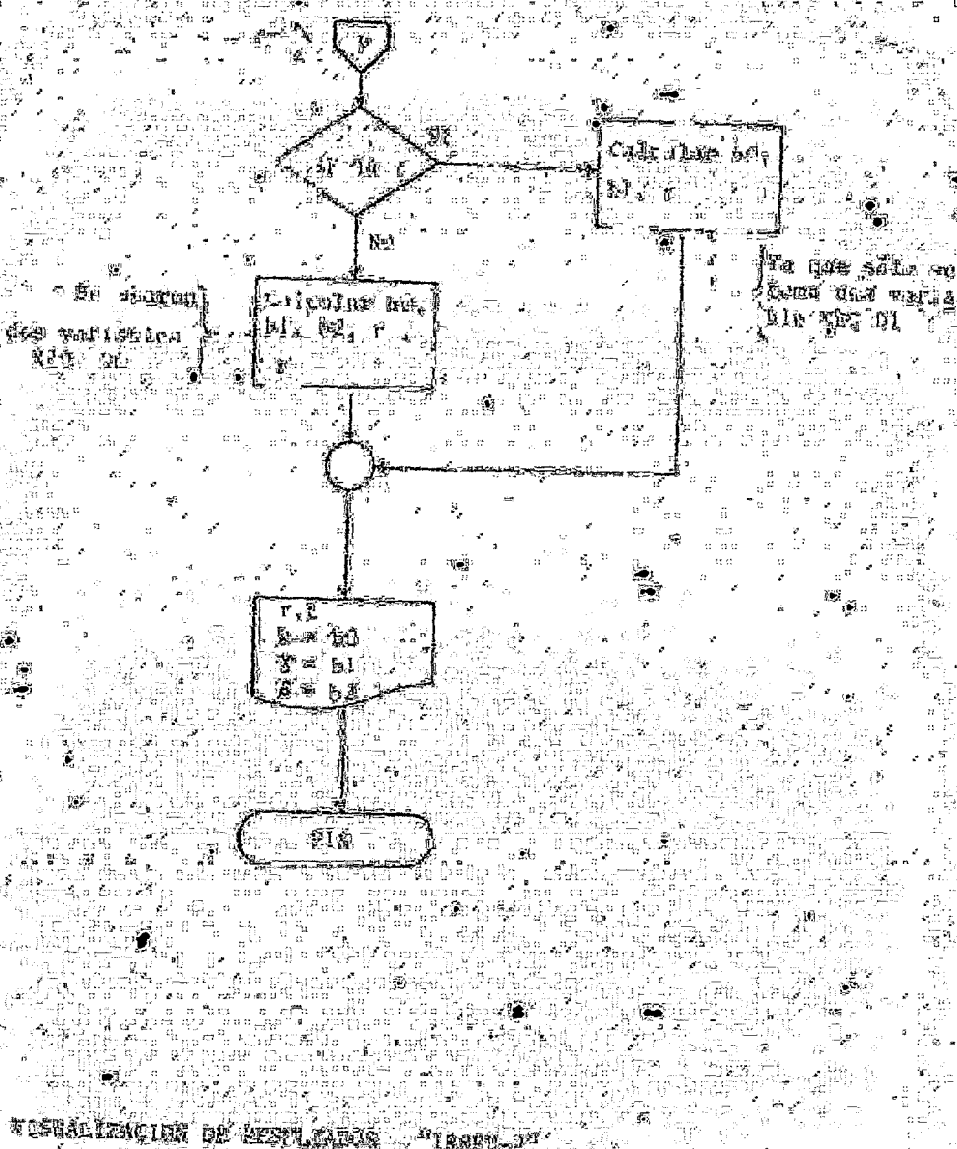


WEDNESDAY
11:30 A.M.
12:30 P.M.

如上所述，本发明的有益效果是：本发明的装置结构简单，操作方便，能有效降低生产成本。



RUTINA PARA LA OBSECUENCIA DE PUNTOS



新嘉坡總理司理事會

El presente informe se basa en los datos que se han recopilado en el marco del Programa de Inventarios.

3. S'ajustarà la reglació d'un fitxa de membre i es generaran les

Elle est en train de venir à nous, et nous devons faire tout ce qu'il nous est possible pour empêcher que ce ne soit pas le cas.

1000-10000 nm, and the corresponding absorption coefficient is $\kappa = 10^4$ cm⁻¹.

10. The following table shows the number of hours worked by 1000 workers in a certain industry.

10. The following table shows the number of hours worked by each employee in a company.

For more information about the study, please contact Dr. Michael J. Hwang at (319) 356-4000 or via email at mhwang@uiowa.edu.

10. The following table shows the number of hours worked by 1000 workers in a certain industry.

After this we went to see the famous "Cathedral Caves" at the head of the valley.

卷之三

卷之三

10. The following table shows the number of hours worked by 1000 workers in a certain industry.

13. La selva seca tropical es la ecorregión que más superficie ocupa en el mundo.

10. The following table shows the number of hours worked by each employee in a company.

19. The following table shows the number of hours worked by 1000 workers in a certain industry.

10. The following table gives the number of hours worked by 1000 workers in a certain industry.

19. The following table shows the number of hours worked by 1000 workers in a certain industry.

1936年1月1日，中華人民共和國政府在北平（今北京）成立，並於1月25日向聯合國申請成員。

En general el manejo integral de la salud en estos entornos es el programa lo más

de y vuelva a engañar todos los datos.

For more information about the study, please contact Dr. Michael J. Hwang at (319) 356-4000 or via email at mhwang@uiowa.edu.

For more information about the study, please contact Dr. John P. Morrissey at (212) 639-7330 or via e-mail at jmorrissey@nyp.edu.

在於此，我們可以說，這就是「中國文化」的特質。

reaction.

A) Para la función de la implementación de este producto, se

se impone que no se utilicen los argumentos (siguiendo las autorizaciones

personales del usuario), lo más seguro puede obtener del código es la paridad

de los datos y la verificación de los errores en el producto resultante.

En este caso, las comprobaciones se realizan en seguida.

B) Los pasos 1 a 3 son las instrucciones para iniciar los datos y calcular los

restos de división.

C) Los pasos 4 a 6 son las instrucciones para calcular los errores y corregirlos.

D) Los pasos 7 a 9 son las instrucciones para finalizar el producto.

E) Los pasos 10 a 12 son las instrucciones para finalizar el producto.

F) Los pasos 13 a 15 son las instrucciones para finalizar el producto.

G) Los pasos 16 a 18 son las instrucciones para finalizar el producto.

H) Los pasos 19 a 21 son las instrucciones para finalizar el producto.

I) Los pasos 22 a 24 son las instrucciones para finalizar el producto.

J) Los pasos 25 a 27 son las instrucciones para finalizar el producto.

K) Los pasos 28 a 30 son las instrucciones para finalizar el producto.

L) Los pasos 31 a 33 son las instrucciones para finalizar el producto.

M) Los pasos 34 a 36 son las instrucciones para finalizar el producto.

N) Los pasos 37 a 39 son las instrucciones para finalizar el producto.

O) Los pasos 40 a 42 son las instrucciones para finalizar el producto.

P) Los pasos 43 a 45 son las instrucciones para finalizar el producto.

Q) Los pasos 46 a 48 son las instrucciones para finalizar el producto.

R) Los pasos 49 a 51 son las instrucciones para finalizar el producto.

S) Los pasos 52 a 54 son las instrucciones para finalizar el producto.

T) Los pasos 55 a 57 son las instrucciones para finalizar el producto.

U) Los pasos 58 a 60 son las instrucciones para finalizar el producto.

V) Los pasos 61 a 63 son las instrucciones para finalizar el producto.

W) Los pasos 64 a 66 son las instrucciones para finalizar el producto.

X) Los pasos 67 a 69 son las instrucciones para finalizar el producto.

Y) Los pasos 70 a 72 son las instrucciones para finalizar el producto.

Z) Los pasos 73 a 75 son las instrucciones para finalizar el producto.

AA) Los pasos 76 a 78 son las instrucciones para finalizar el producto.

BB) Los pasos 79 a 81 son las instrucciones para finalizar el producto.

CC) Los pasos 82 a 84 son las instrucciones para finalizar el producto.

DD) Los pasos 85 a 87 son las instrucciones para finalizar el producto.

EE) Los pasos 88 a 90 son las instrucciones para finalizar el producto.

FF) Los pasos 91 a 93 son las instrucciones para finalizar el producto.

GG) Los pasos 94 a 96 son las instrucciones para finalizar el producto.

HH) Los pasos 97 a 99 son las instrucciones para finalizar el producto.

Si se realizan las operaciones de rotación de los datos por las reglas A, B o C en el dispositivo mencionado, se obtendrá la secuencia de datos que se indica en el cuadro 1.

Para obtener los datos correspondientes a la figura 1, se procederá de acuerdo con el cuadro 1 en el sentido de lectura.

Si se liberan los datos por las reglas A, B o C, los datos serán ordenados como en la figura anterior, es decir, en la dirección de la flecha D, esto significa como se muestra en la figura 10.

Aquí se ilustra la secuencia visualizada en los saltos de las constantes de los portales A, B y C, así como el resultado final de las tabulaciones en la fórmula 6, figura 11.

La primera operación, para el paso 1, para la secuencia de datos F.

Al aplicar la regla F se obtiene la visualización que aparece en la figura 12.

Si queremos el resultado de multiplicar la velocidad por el tiempo

el resultado es que se multiplican los resultados de los dos factores.

Este es el resultado:

Nosotros lo podemos escribir en forma de multiplicación para

ver mejor que pasa. Si se quiere volver a ver el resultado, pasen a

esta página de la tabla.

A final, la calculadora pregunta por el factor de tiempo que se tiene que

añadir en la medida de velocidad que vez introducir el valor se realice.

También se puede ver que los valores se han reducido al tiempo siguiente que se

se ha puesto para el resultado anterior.

Al hacerlo se obtiene el resultado con la fórmula que muestra en el

cuadro una de las formas de resultados de cálculo.

Al dar respuesta a la pregunta, la calculadora responde

de nuevo:

En su otro lugar, se valen de π calculado en el apartado anterior. En segundo lugar, se sustituyen dos veces π por π_0 para regular este resultado sumando reyes más y operando con los dígitos del 1 al 10. Ellos surgen así de los tres primeros dígitos de π de acuerdo con la fórmula 3.1 que se introduce en la interpretación para la fórmula 3. (2º Sec.)

Finalmente el resultado es el que aparece en la fórmula 3.1, indicando previamente con los tres primeros dígitos de π la estimación. Es necesario leer f/S para visualizar el resultado. En caso de que se esté utilizando con $\pi = \pi_0$, después de visualizar el resultado f/S hará los "play" si el display.

B) Si se ejecutó el paso 6, se calcularon trigo en la segunda medida de datos, cuya descripción se encuentra en los dos párrafos anteriores.

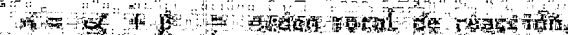
III.4.6. Combinación de $\text{H}_2\text{N}-\text{Z}$

Este proceso permite el cálculo de la fracción de reactivo "parcial" y para cada uno de los O_2 tales que para este mismo se ha combinado con las cantidades fijas de A y B , se obtiene su concentración.

Se le nombra combinación en una reacción del tipo:



Por lo cual el resultado final debe ser:



Si nos gerencia a Z valorá la posibilidad de que los ordenes parciales son iguales, es decir, que la velocidad de reacción sea proporcional a las concentraciones de A y B por la ecuación: $v = k[\text{A}]^a[\text{B}]^b$. Luego, para el cálculo y visualización de datos se usa la regla XY, siendo medida con la forma en que da la recta de los datos de $b = 1$ (figura 3).

Los órdenes numéricos pueden ser el resultado de:

1) La reacción es la realizada en ausencia de reactivo aditivo, elegantes.

2) Difieren mucho entre sí las concentraciones iniciales, siendo esta motivo de la recta de orden igual a 1.

3) La sustancia de controlado está presente para

D. Estimación de parámetros

- (a) Una fórmula de este tipo de coeficientes es la de la ecuación de la recta de los mínimos cuadrados:
- (b) Substituya para el cálculo de los parámetros a y b las estimaciones de las estimaciones.

esta corrección será llevada en un programa llamado "MULT-2" de Valdés-Vela, cuya referencia puede encontrarse en la bibliografía.

- (c) Los valores de r (coeficiente de correlación) y de t ("t" de Student) son los valores cuyos significados son:

Un número entre -1 y +1 que indica qué tan bien una recta describe la relación entre variables. El valor igual a cero indica que no hay relación.

Un número que permite pronosticar la variación de una variable dada a través de otra. La magnitud de r es una medida de la relación. Con la recta al lado de "MULT-2", el usuario establece en este tipo de datos para su análisis de las variables (importante es que no sean una dependencia de una variable excepto es la trascendental F , sin embargo, si se realizan F , el coeficiente de correlación de r es estadístico y sus referencias de lo mejor existente para y .

El programa "MULT-2" contiene el siguiente: 1) la ejecución de dos variables que tienen las siguientes dependencias de una variable (x) y y ;

La correlación en R^2 de 0,2 significa que los predicciones de las variables dependientes explican solo el 20% de la variancia.

Este valor de 2.9 es un valor de la tabla t*, calculado para errores de 10% y 90% de confianza. El resultado de la ecuación (1) es que el error estándar de la media es de 0.00055. La diferencia entre los resultados de los dos tratamientos es de 0.00055, que es menor que el error estándar de la media, lo que indica que el efecto de la variable independiente es significativo.

- (4) La ecuación 8.4 de la familia de curvas parabólicas fue el resultado de una evaluación entre diversas fórmulas de curva y fue la que mejor resultado obtuvo en las pruebas realizadas. Por todo lo anterior se concluye que la velocidad de la reacción cuando la concentración es cero es constante y su composición se aproxima a la de equilibrio, lo cual cumple la forma derivada de esta reacción (ver figura 8.5).

(5) Los extractos de las estructuras 1 y 2 utilizan la transición TBC. Esto significa intercambio. Los dímeros que se encuentran en las membranas comprenden estos 1, 10 y 12. Una de las consecuencias de esta interacción es que cuenta con el factor de actividad menor que 1. Si se desarrolla una ecuación para la ley de Fara, se obtiene la siguiente:

DE 7. Formato de listado

LIN. 1000-2 Inicia el programa indicando la posición de los registros existentes.

1000-2

Reserva 1000 bytes de memoria para almacenar los datos que

No. 0 al 255 visualiza en la lista.

Programa los datos de condiciones meteorológicas y ordena su re-

ordenación en la subrutina 00. Pide el ingreso de datos por los se-
guidos pasos:

1. Entrada de datos

00 Subrutina de lectura de registros

05 Trae el análisis de los siguientes tipos de errores:

10 Matríz de tipo de error en los datos y regresa a [A]

15 Continúa el análisis de errores.

20 Notifica errores en el ingreso de datos y regresa a [A]

25 Subrutina: prepara el ingreso de datos para la correlación.

30 Subrutina: prepara el ingreso de datos para la correlación.

35 Subrutina: prepara el ingreso de datos para la correlación.

40 Subrutina: prepara el ingreso de datos para la correlación.

45 Subrutina: prepara el ingreso de datos para la correlación.

50 Subrutina: prepara el ingreso de datos para la correlación.

55 Subrutina: prepara el ingreso de datos para la correlación.

60 Subrutina: prepara el ingreso de datos para la correlación.

65 Subrutina: prepara el ingreso de datos para la correlación.

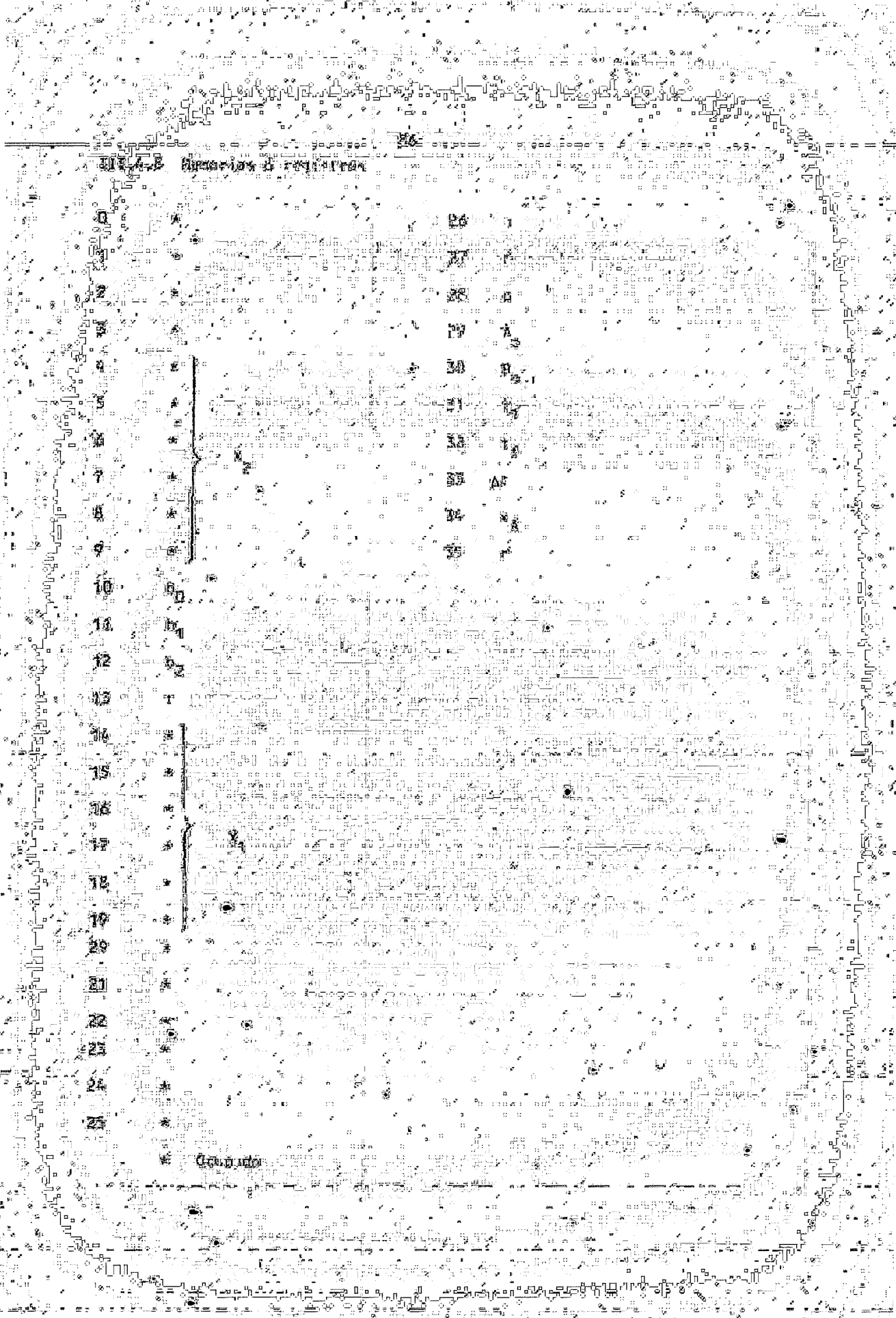
70 Subrutina: prepara el ingreso de datos para la correlación.

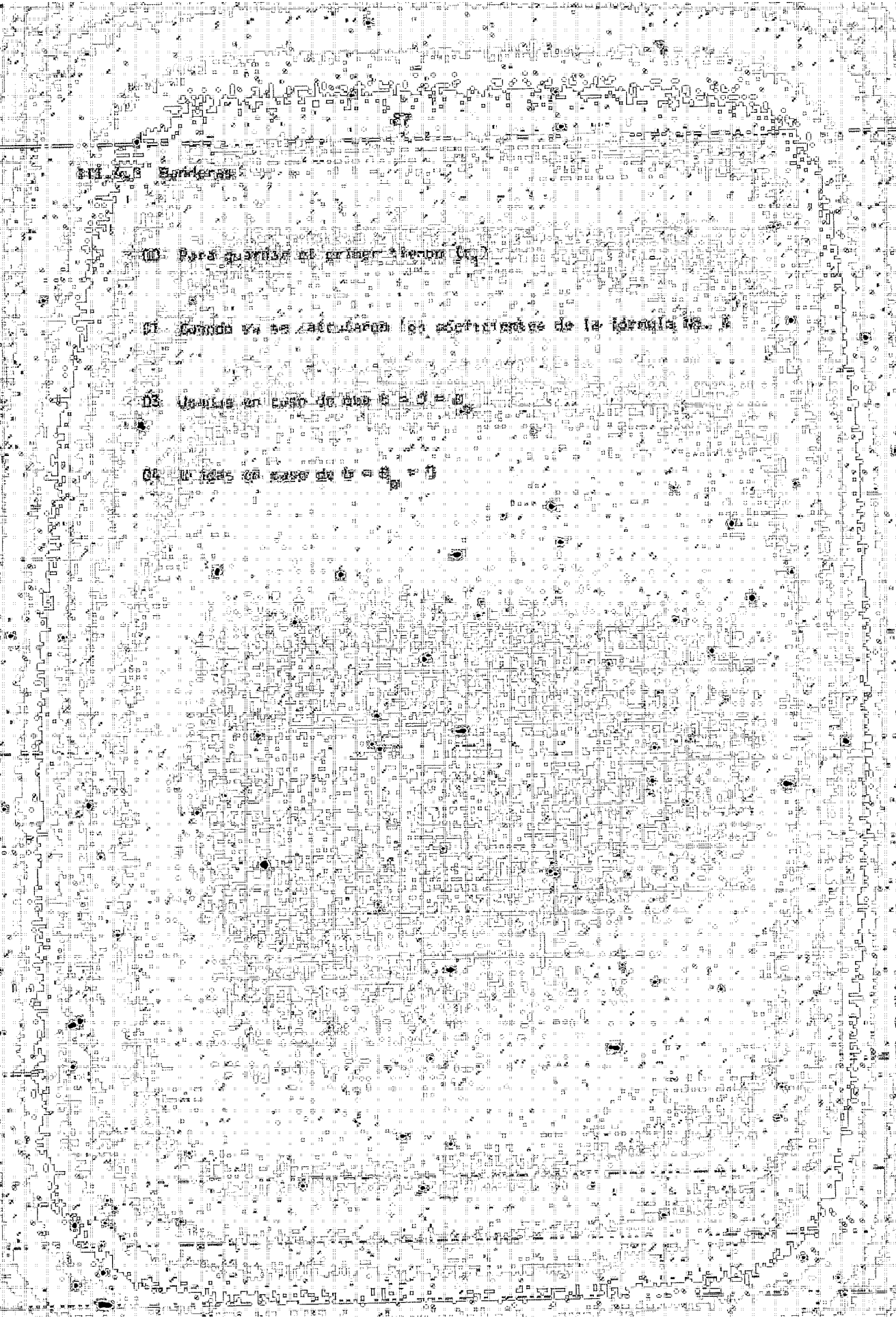
75 Subrutina: prepara el ingreso de datos para la correlación.

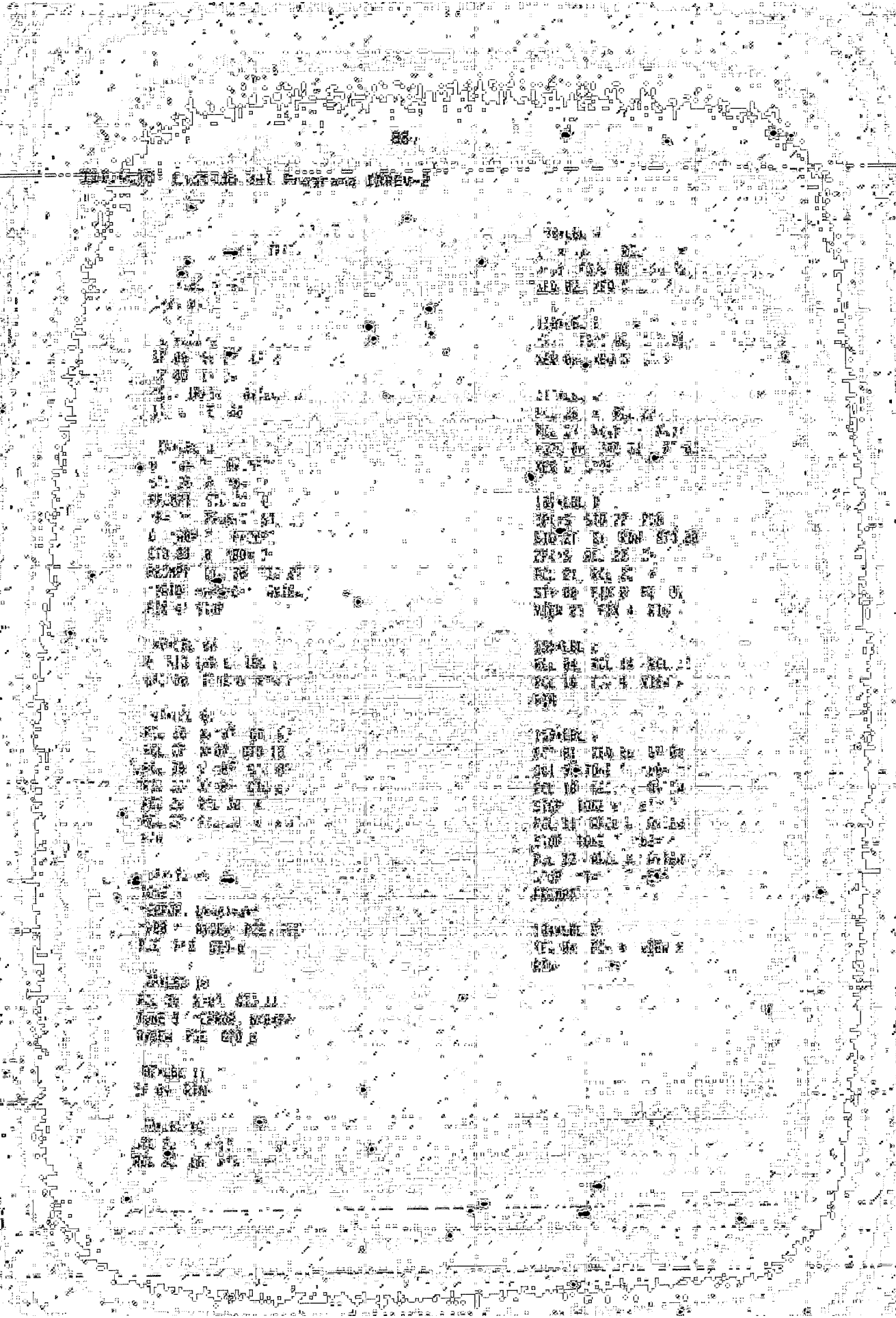
80 Subrutina: prepara el ingreso de datos para la correlación.

85 Subrutina: prepara el ingreso de datos para la correlación.

- Ver la estructura No. 6
1. Escribir en el valor del tiempo en la fórmula.
2. Subir las casilla las constantes de la fórmula y calcular.
3. Multiplicar el resultado por el factor de multiplicación.
4. Sumar la fórmula 3 para el resultado.
5. Subir las dígitos la fórmula 4 para el resultado.
6. Permitir el resultado de 5 en función de t.
7. Subir hoy y volver fórmula 5 para el resultado.
8. Entrada de datos en la segunda parte del programa de la memoria.
9. Calcular $b = \frac{1}{2} \cdot \frac{1}{t^2}$
10. Imprimir la segunda parte del programa calcula el resultado de los totales.
11. Generar los ceros [A] y los [B] e introducir los datos para la corrección.
12. Recibir, leer y se leen los resultados y se suman los totales.
13. Se imprimen.
14. Actualizar los valores de los totales y el resultado.
15. Salir del programa, finalizar y el sistema muestra el resultado.









“*It is a good idea to have a small amount of money in your pocket at all times, so you can always buy something if you need it.*”

Con el uso de un sistema de manejo integral se logrará una mayor eficiencia en la explotación.

Si mantiene, para el caso de las personas que no tienen discapacidad, el sistema de tarjetas y se establece la obligación de que la tarjeta sea presentada en la adquisición de un producto sanitario, así como en el pago de los servicios de salud.

With reference to the various species of woods that are available in the
district, it would be difficult to be exact.

Act. L'information peut être comparée entre et dépend de surfaces diverses des types prédictives existantes. On la voit en dessous:

La mayoría de los países de África occidental no que permite calcular de una vez las cifras. Tendrá que ser realizada por un Estado. Es éste uno de los principales que los Estados africanos tienen que superar para tener una estadística completa. Durante la fase más temprana todo lo que se lograba, tanto en el norte como en el sur, era basado en datos.

Mediante su uso, el análisis permitirá la estimación conjunta de todos los parámetros que intervienen en la formación de los precios de los bienes y servicios, así como su evolución futura. La estimación conjunta de los precios de los bienes y servicios, así como su evolución futura. La estimación conjunta de los precios de los bienes y servicios, así como su evolución futura.

Per quel·lors, el llibre no té res contra les reflexions de l'autor, però en el seu intent d'explicar la seva experiència personal, l'autor ha d'explicar els resultats d'una experimentació diferent del seu. Es recomanaixen pàrals en orden col·lectiu de les seves reflexions, i en els individus que han fet part del seu projecte.

estimadas. Es decir que los cambios de las concentraciones están sujetos a establecer una representación parcial de la extensión de reacción global. O dicho de otra manera sólo se tienen las señales para el inicio de la reacción, lo cual no es tan malo ya que hoy la extensión global es más fácil que la medida de reacciones. Se conocen las velocidades para la reacción individualmente con cierta precisión. Sólo la amplitud de velocidad inicial es la limitante para cumplir el propósito de las prácticas de reaction.

Una computadora para obtener el τ en función de los cambios de la reacción en grupo de estados, con sólo ser introducidos una vez a la memoria, entre los grupos se priman en THERM-T y luego en THERM-J, con el contingente tiempo de cálculo en el análisis de la cinética.

3.1. Problema algorítmico

El algoritmo de intervalos es un método de programación jerárquica para funciones. Es una implementación generalizada de los métodos jerárquicos de intervalos que se han desarrollado para funciones continuas y unívocas. Este es el mejor de todos según Becker [1]. Su principal ventaja es que la ejecución es rápida y eficiente. Sin embargo, el uso de este algoritmo tiene sus limitaciones.

3.1.1. El intervalo inicial de búsqueda del punto

En general, este método necesita establecer intervalos finitos de búsqueda e intervalos finitos de evaluación (fig. 1) con un buen sistema de pruebas y utilización de una estrategia efectiva dentro de la cual se maneja la serie de cálculos de iteración. Esta estrategia permite, con una adecuada selección de evaluaciones, el uso de la evaluación iterativa para la obtención de la función, como se da en el cálculo de operaciones numéricas matemáticas. Lo que permite que se use una estrategia numérica eficiente para obtener una buena exactitud, solo tener que aumentar el intervalo de búsqueda, lo cual le da una estabilidad y velocidad al cálculo que es una característica de su clase.

Algoritmos de la biblioteca general del sistema de programación, el algoritmo de búsqueda de punto del mismo. Para tener información sobre el mismo y sobre su uso para formular descripciones de modo sencillo a la bibliografía, se necesita considerar que son datos los procedimientos que tienen la definición de intervalos y el manejo de evaluaciones.

3.2. Búsqueda jerárquica, punto y punto

卷之三

En la práctica, para el desarrollo de la teoría del método de análisis y síntesis, se ha de tener en cuenta que el desarrollo de la teoría es un proceso que se realiza en el desarrollo de la práctica.

10. The following table shows the number of hours worked by each employee in a company.

10. The following table gives the number of hours worked by each of the 100 workers.

10. The following table shows the number of hours worked by each employee.

10. The following table shows the number of hours worked by each employee in the last week.

10. The following table shows the number of hours worked by each employee.

10. *U.S. News & World Report*, April 1968.

10. The following table gives the number of hours worked by 1000 workers in a certain industry.

III. 3.2 Sistering X

APPENDIX CHAPTER

१०८ विष्णुवाचोऽस्मद्ब्रह्म विष्णु विष्णु विष्णु विष्णु विष्णु

the first time I have seen it in England.

10. The following table shows the number of hours worked by each employee.

10. The following table shows the number of hours worked by each employee.

10. The following table shows the number of hours worked by each employee.

10. The following table gives the number of hours worked by each of the 100 workers.

10. *Leucosia* *leucostoma* *leucostoma* *leucostoma* *leucostoma* *leucostoma*

10. The following table shows the number of hours worked by each employee in a company.

Sustained growth – The company has been able to maintain a steady rate of growth over the past five years, despite economic challenges.

whose members were to deliberate on the creation of a new state, the "Confederate border."

卷之三

道之以德，齊之以禮，有孚惠心，勿

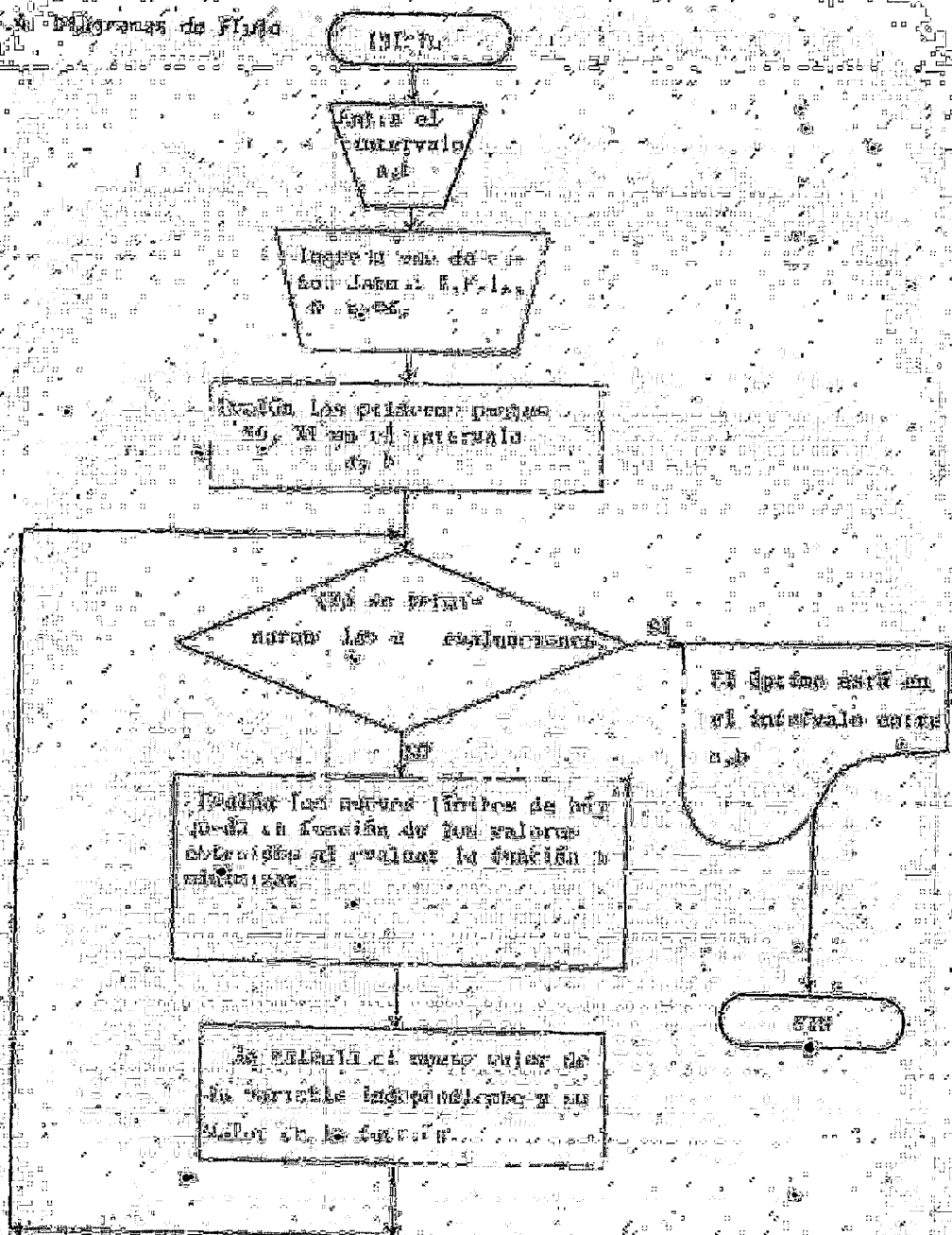
General Information **and** **Answers**



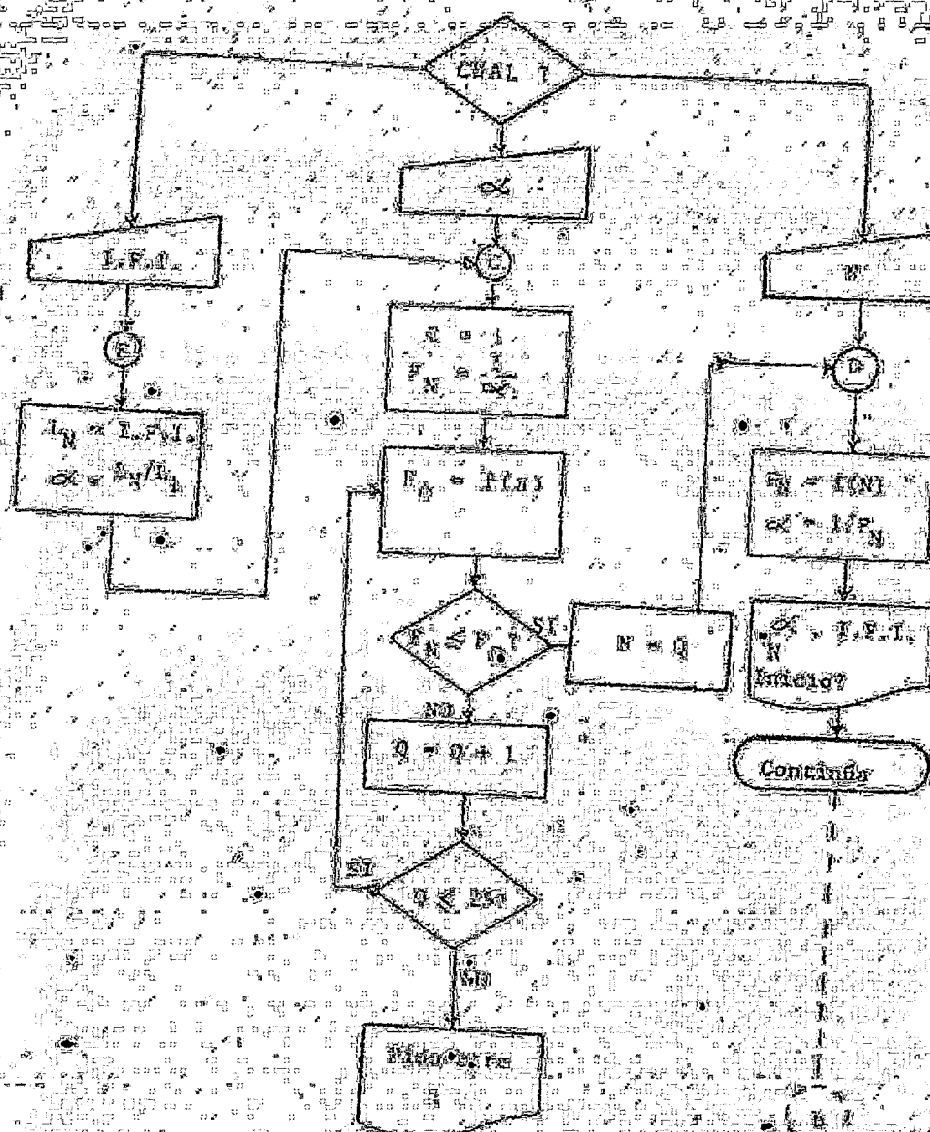
卷之三

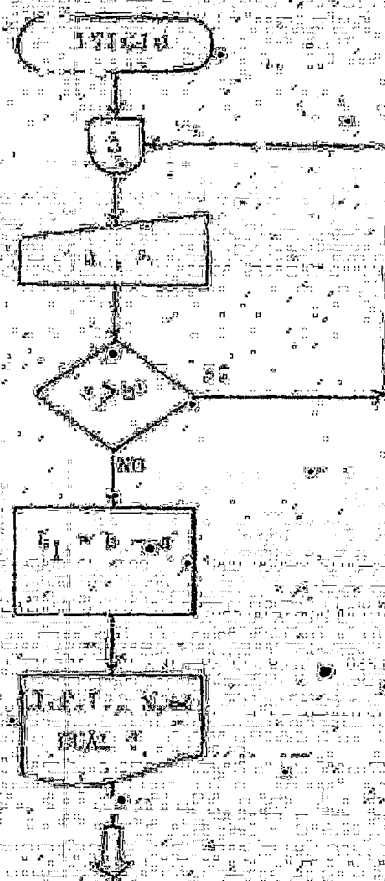
10. The following table gives the number of deaths from smallpox in each State.

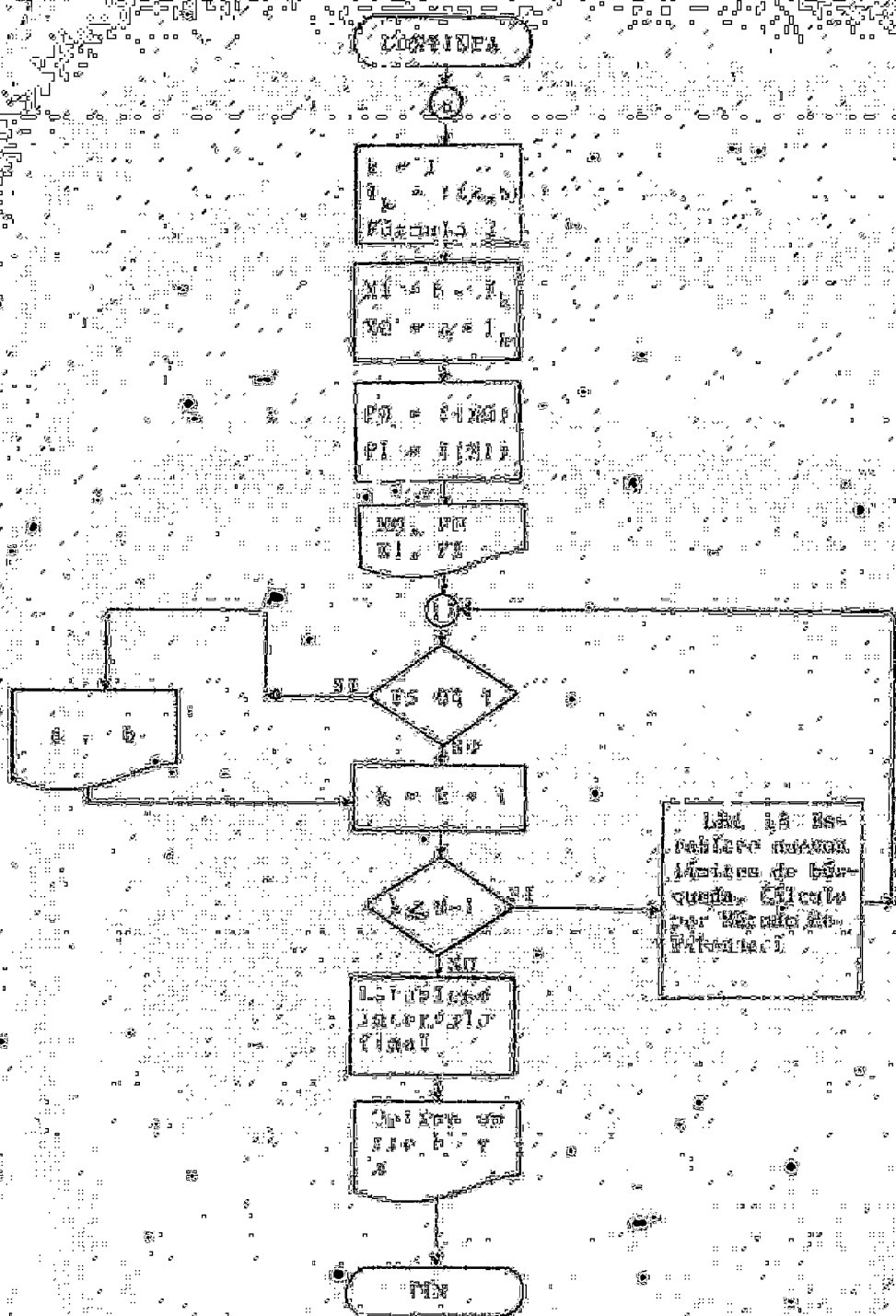
UNA PROGRAMA DE FÍSICA



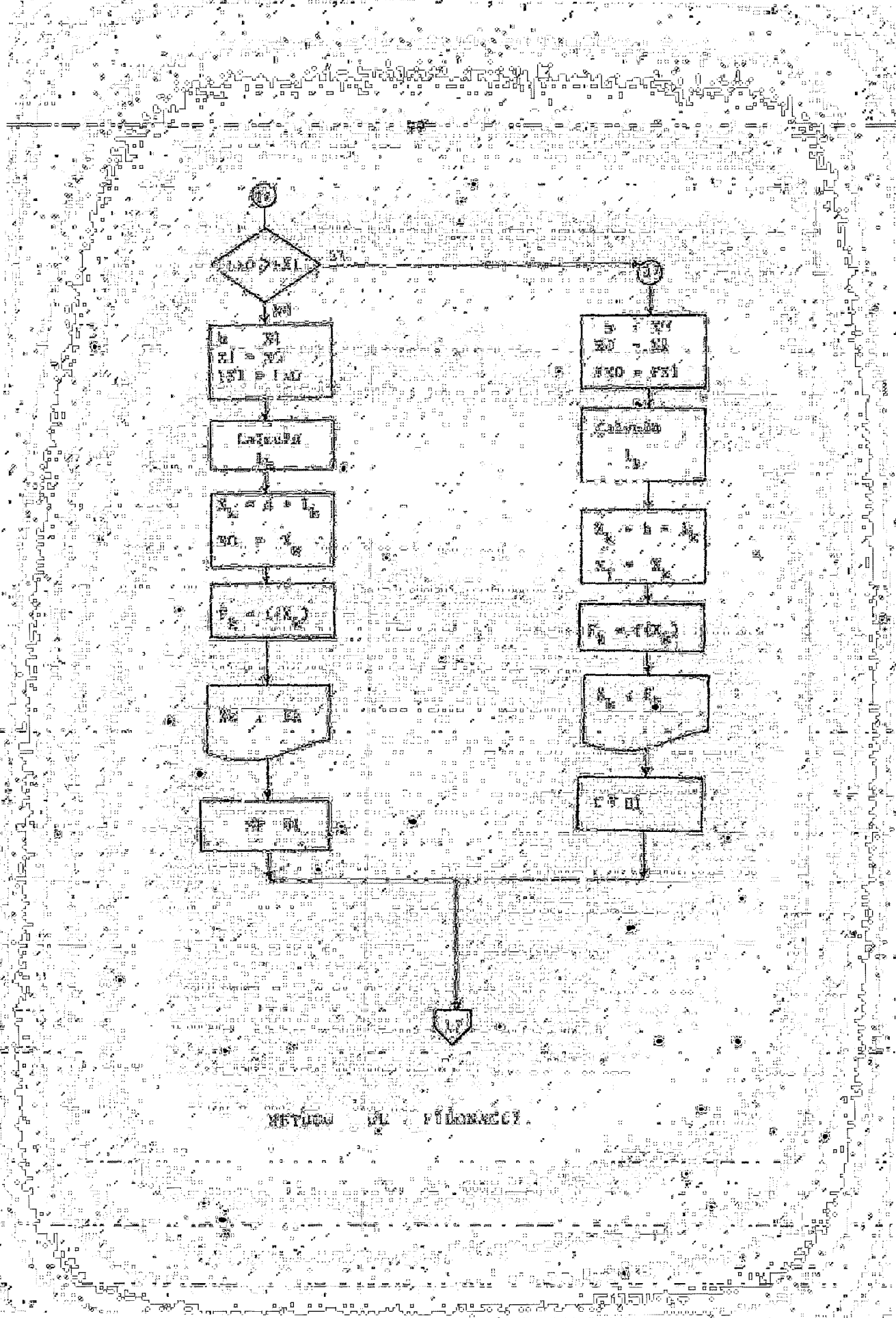
UNIVERSIDAD NACIONAL

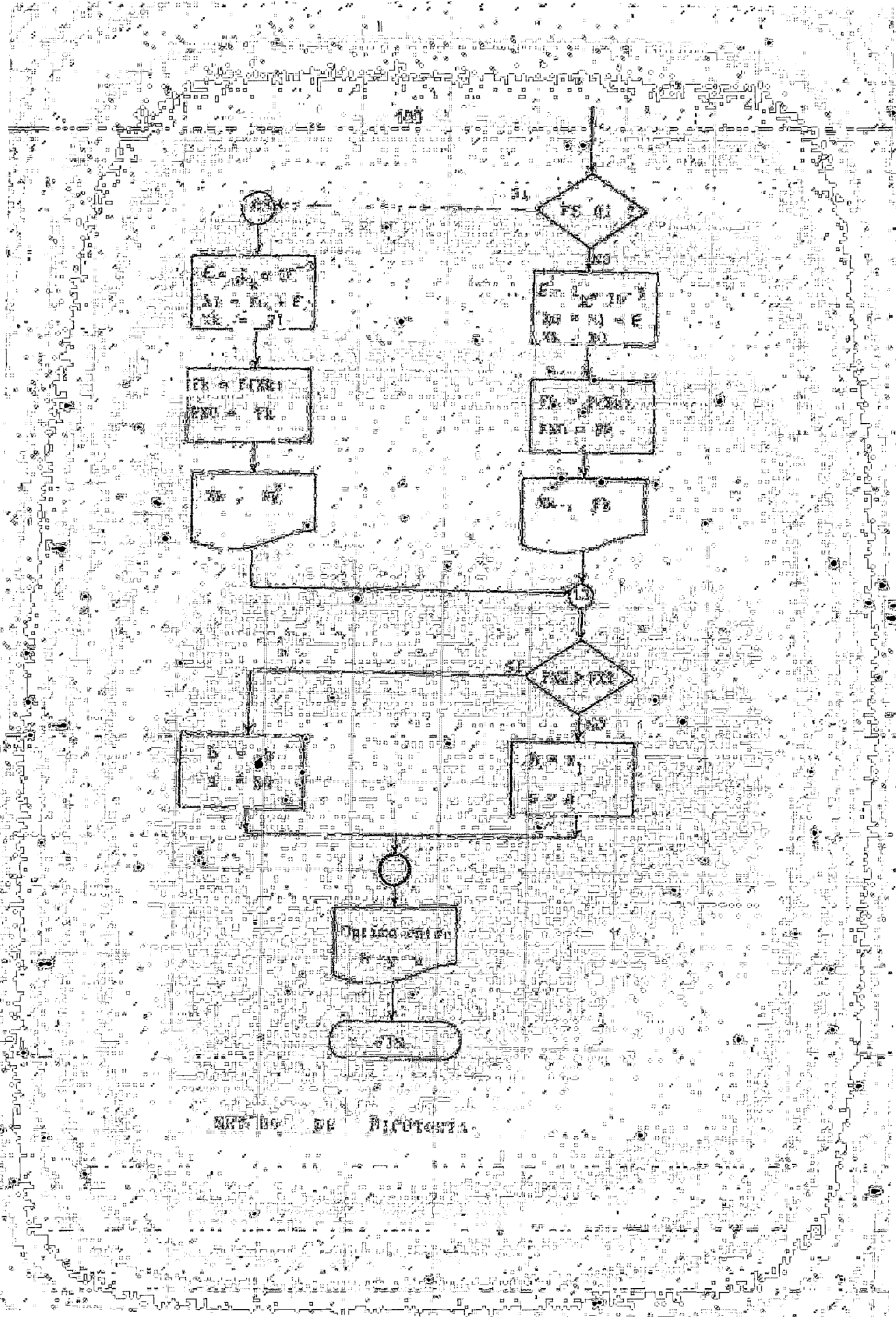






SCOTT PROJECT ALIVE & KICKIN'

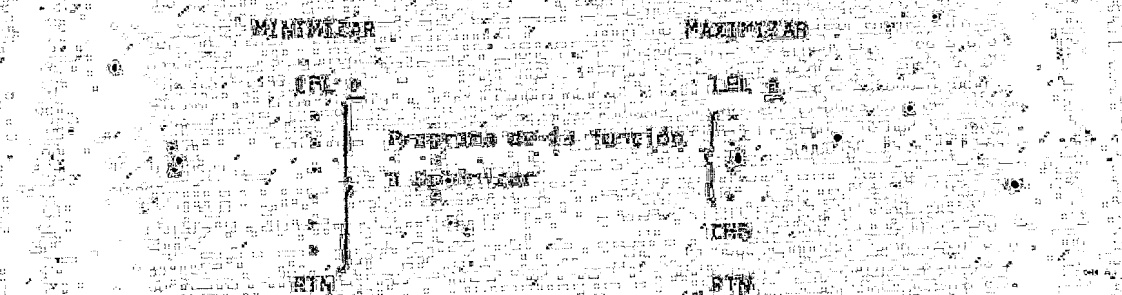




It is a very important question whether the new system will be adopted.

Según la ecuación (1), se observa la función dependiente, es decir, la variable que interviene como respuesta a la función dependiente mencionada. La función (y) en (1) es dependiente porque su valor las variables independientes (x_1 , x_2 , x_3 , x_4) determinan su valor. Las variables dependientes al "orden" n .

Si considera la cultura fundamental para el desarrollo del hombre en base de acuerdo a su naturaleza, sólo se tiene que aplicar lo mismo al desarrollo de la comunicación social (Ley 2-2) con un SPN dentro de la parte del programa que corresponde a la función social, justo detrás del SPN con el que dado terminar la parte del programa de la función administrativa.



Si se decide usar el idioma en su formato en VISA Virtualización de resultados, las informaciones descritas en la presentación "Introducción" deben asincronizarse con las bandejitas Si solo se usa una (la carta -1, Pta. Est., la cual tiene que ser devuelta al final del programa) una vez dichas fechas, si se usa una más la máquina se detendrá en cada visualización de resultados. Los resultados, la bandejita Si tiene menor velocidad que la transmisión serial de los datos que envía entre la máquina y el monitor, tiene que ser necesario programar la máquina para que envíe el resultado de la visualización, que se almacenará en un fichero.

La bandera es la muestra de la fuerza que el ejército tiene.

Si se pierde la bandera se pierde la fuerza, se pierden los resultados
y se pierde la moralidad del ejército en su progreso.

Si se pierde la bandera se pierde la fuerza, se pierden los resultados
y se pierde la moralidad del ejército en su progreso.

Si se pierde la bandera se pierde la fuerza, se pierden los resultados
y se pierde la moralidad del ejército en su progreso.

3.- Para iniciar el combate se deben tener las siguientes pautas:

• Se establece

VALOR

TEZA

DISCIPLINA

7.- Se establece el límite de fuerza

8.- Se impone la disciplina

9.- El personal sigue sus órdenes

10.- Los soldados siguen sus órdenes

11.- Los soldados siguen sus órdenes

12.- Los soldados siguen sus órdenes

13.- Los soldados siguen sus órdenes

14.- Los soldados siguen sus órdenes

15.- Los soldados siguen sus órdenes

16.- Los soldados siguen sus órdenes

17.- Los soldados siguen sus órdenes

18.- Los soldados siguen sus órdenes

19.- Los soldados siguen sus órdenes

- A. Selecciona la opción que mejor describa el resultado de la ejecución del comando `ls`.
- B. Selecciona el número que indica cuál es el resultado de la ejecución del comando `ls`.
- C. Selecciona la opción que mejor describa el resultado de la ejecución del comando `ls`.
- D. Selecciona la opción que mejor describa el resultado de la ejecución del comando `ls`.
- E. Selecciona la opción que mejor describa el resultado de la ejecución del comando `ls`.
01. Selecciona la opción que mejor describa el resultado de la ejecución del comando `ls`.
02. Selecciona la opción que mejor describa el resultado de la ejecución del comando `ls`.
03. Selecciona la opción que mejor describa el resultado de la ejecución del comando `ls`.
04. Selecciona la opción que mejor describa el resultado de la ejecución del comando `ls`.
05. Selecciona la opción que mejor describa el resultado de la ejecución del comando `ls`.
06. Selecciona la opción que mejor describa el resultado de la ejecución del comando `ls`.
07. Selecciona la opción que mejor describa el resultado de la ejecución del comando `ls`.
08. Selecciona la opción que mejor describa el resultado de la ejecución del comando `ls`.
09. Selecciona la opción que mejor describa el resultado de la ejecución del comando `ls`.
10. Selecciona la opción que mejor describa el resultado de la ejecución del comando `ls`.
11. Selecciona la opción que mejor describa el resultado de la ejecución del comando `ls`.
12. Selecciona la opción que mejor describa el resultado de la ejecución del comando `ls`.
13. Selecciona la opción que mejor describa el resultado de la ejecución del comando `ls`.
14. Selecciona la opción que mejor describa el resultado de la ejecución del comando `ls`.
15. Selecciona la opción que mejor describa el resultado de la ejecución del comando `ls`.
16. Selecciona la opción que mejor describa el resultado de la ejecución del comando `ls`.
17. Selecciona la opción que mejor describa el resultado de la ejecución del comando `ls`.

16. Se ejecuta la función `funcion(x)` con el valor `10` en el argumento `x`.
→ Se calcula el resultado → se almacena el resultado en la variable `resultado`
→ Se imprime el resultado → se muestra el resultado en la consola.
17. Se ejecuta la función `funcion(x)` con el valor `10` en el argumento `x`.
→ Se calcula el resultado → se almacena el resultado en la variable `resultado`
→ Se imprime el resultado → se muestra el resultado en la consola.
18. Visualiza el valor de `x` que se pasó para la ejecución de la función.
19. Visualiza el valor de `x` que se pasó para la ejecución de la función.
20. Visualiza el valor de `x` que se pasó para la ejecución de la función.
21. Visualiza el valor de `x` que se pasó para la ejecución de la función.
22. Permite que evaluación se deshaga y que valores se reasignan como nuevos `valores`, y calcula el nuevo valor de la siguiente evaluación para dar salida de `eval` a `17`.
23. Recupera valores y calcula valor de la siguiente evaluación si los se asignan en el `ESI`.
24. Comprueba que el resultado deseado es `17` y regresa al bucle.

~~Please utilize~~

~~Serial numbers~~

~~Serial numbers to be used~~

~~Sample to be forwarded~~

~~Positive visual for the first day of the week~~

Capítulo del Proyecto Financiero

卷之三

卷之三

STO 11 STO 12 STO 13 STO 14
STO 15 STO 16 STO 17 STO 18

20-1001 84
P10-01 610-01 82
P10-01 15-02 82
P10-01 2-02 82

FST 22 010 06 100 01
PROSP1 F03 22 010 04

25-188-2
SIG 115 REC 96 200 CE

中華書局影印

卷之三

EL 95-05-0000

60-1152-5
100-21145
8.925 370-21

7548
ACL 80
ACL 84
TSC 89
TSC 91
TSC 92
TSC 93
TSC 94

卷之三

卷之三

200 10 RCL 10

230 15
DEEP OPTIMIZING
OVERLAP CAN BE
SET WITH PCT 100
BELL & HOWELL

240 LBL 1
C 60 C 61 C 62
C 63 STOP

250 LBL 10
RCL 63 STOP

260 LBL 11
C 64 C 65 FIX 100
RCL 66 FIX 200
RCL 67 FIX 300

270 LBL 12
P 68 RCL 68 FIX 0
RCL 69 FIX 5
ONLY FIXES 0-5

280 LBL 13
RCL 67 RCL 68 STD 1
STD 67 RCL 69 STD 2
RCL 68 STD 10 RCL 69
STD 69 RCL 68 STD 11
SF 61 RCL 69 STD 12
SF 62 RCL 69 STD 13
STD 68 XEQ 62 STD 14

290 LBL 14
RCL 70 STD 20 RCL 17
STD 18 RCL 19 STD 21
STD 20 STD 22 STD 21
RCL 19 RCL 21 STD 22
STD 21 RCL 22 STD 23
STD 23 RCL 24 STD 25

300 LBL 15
STD 25

III. ESTUDIO DE RAYOS

Primeras etapas

El estudio de los rayos de fondo se inició en 1945 con la instalación del primer sistema de detección de rayos en el Instituto. La primera etapa consistió en la obtención de una muestra de polvo en el valor de 1 mg , que se elaboró en la maquinaria existente en el laboratorio para la que se puso en funcionamiento la planta de la muestra preparada con el difusor de fibra óptica.

Este trabajo requirió solamente las técnicas principales de los rayos.

El desarrollo de la actividad de este sistema para fines de investigación se trataba y puede ser consultada en la radiografía sobre el desarrollo del mismo.

Segunda etapa

La segunda etapa consistió en diferentes etapas:

1. Detección de rayos.

2. Detección de rayos.

3. Detección de rayos.

4. Detección de rayos.

Términos Simbólicos

x_0 = Límite superior

Límite inferior

Intervento o diferencia entre los límites anteriores

Intervalo de búsqueda para el punto x

Intervalo final de búsqueda

Intervalo original de búsqueda

Intervalo de búsqueda

“Región de no convergencia” Fórmula 3

Número total de evaluaciones que se efectúan inicialmente

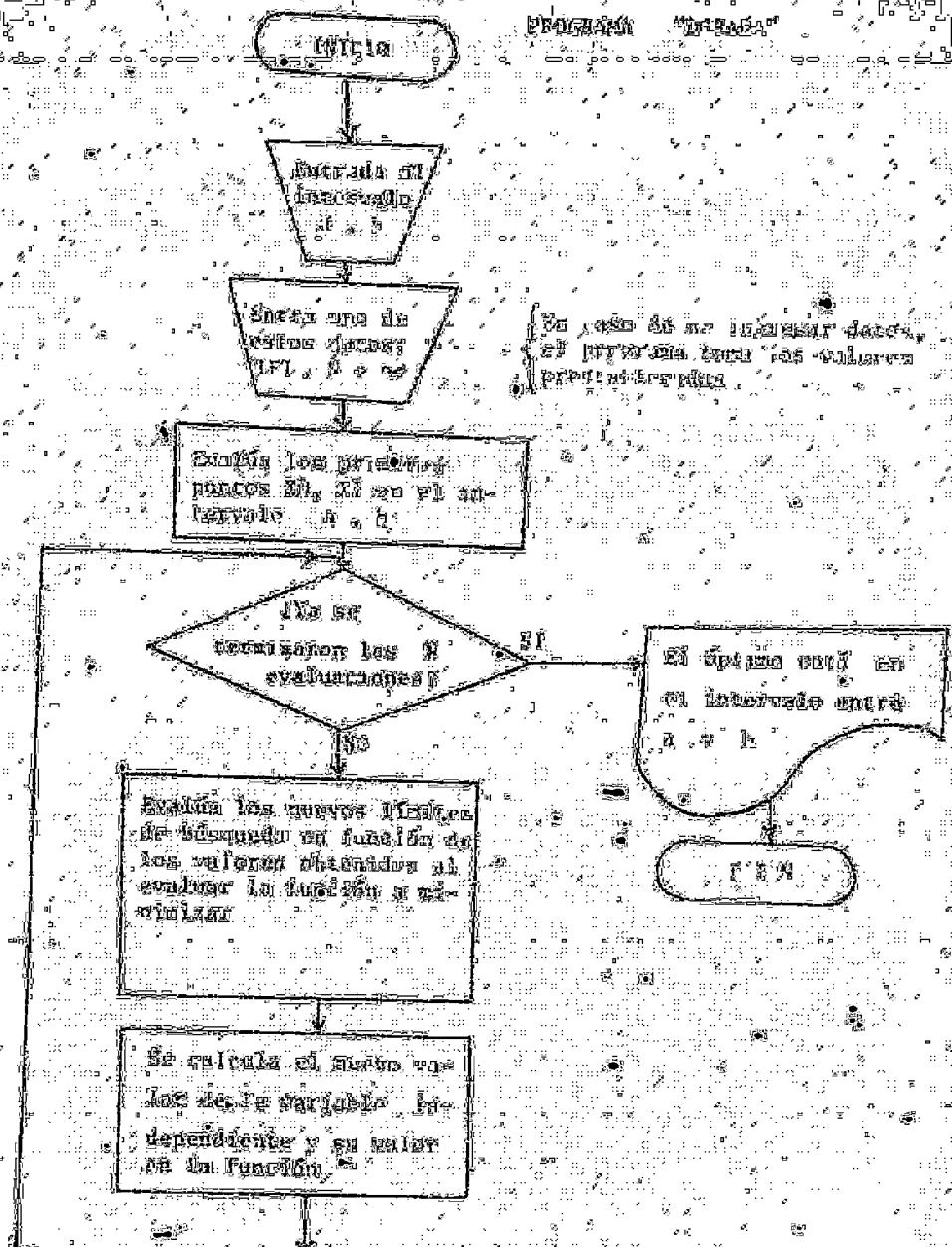
Número de evaluación que se realiza en ese momento

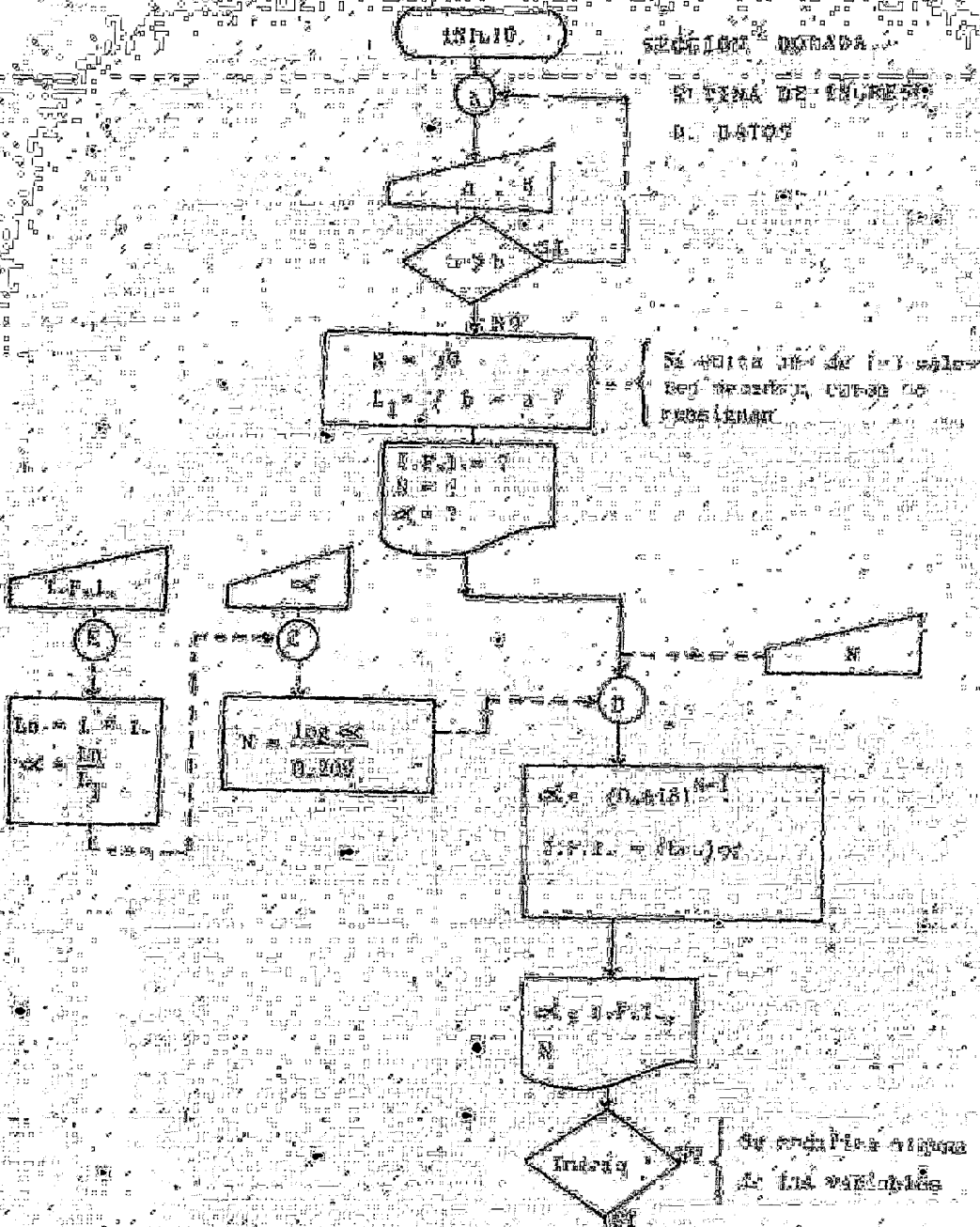
Valor de la variable dependiente para la ejecución 0

x_0 = Valor de la variable dependiente para la ejecución 1

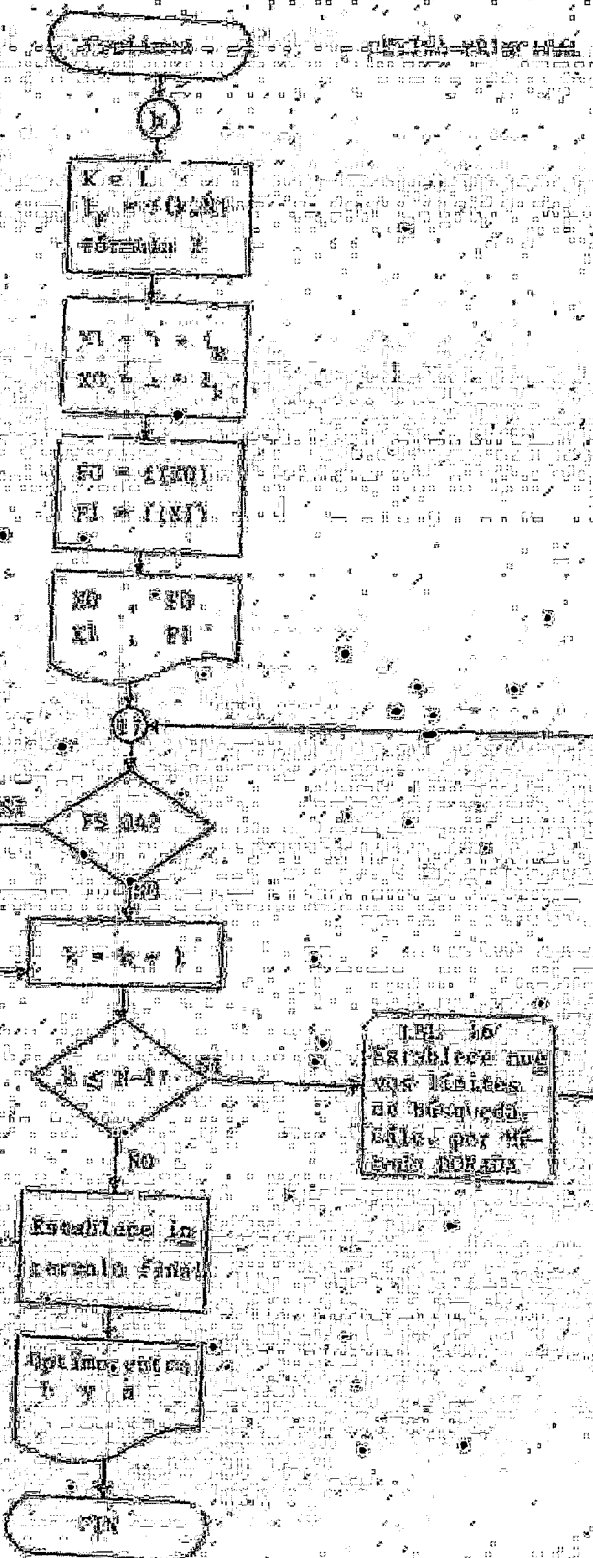
x_{0d} = Valor de la variable dependiente para la ejecución 0

x_{0i} = Valor de la variable independiente para la ejecución 0

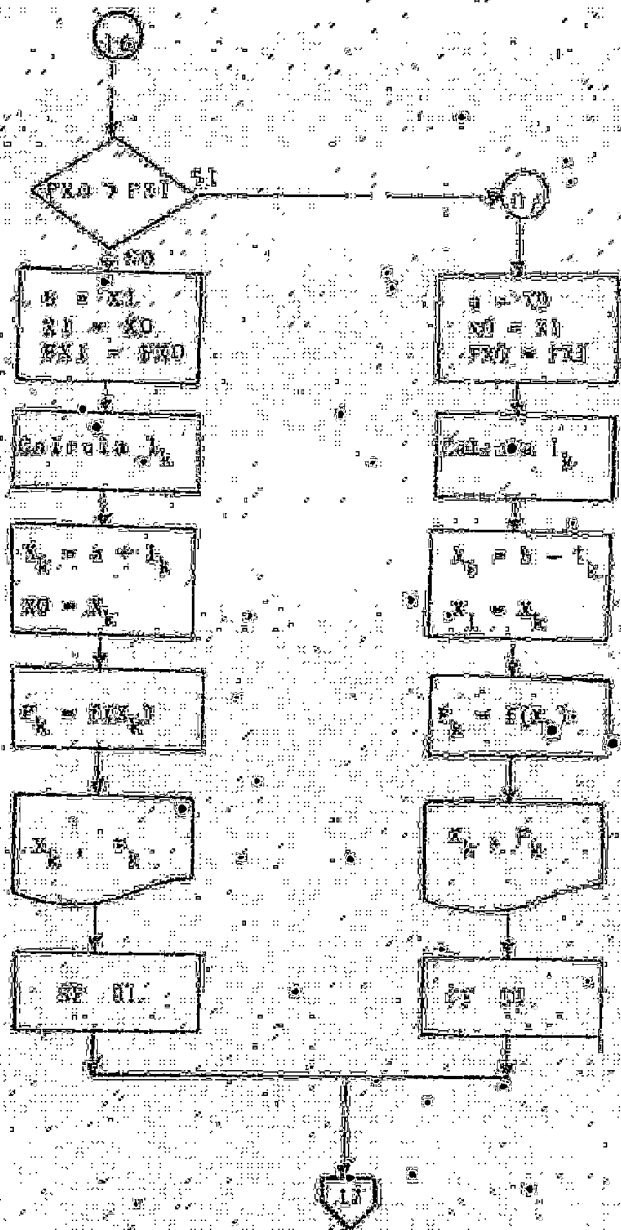


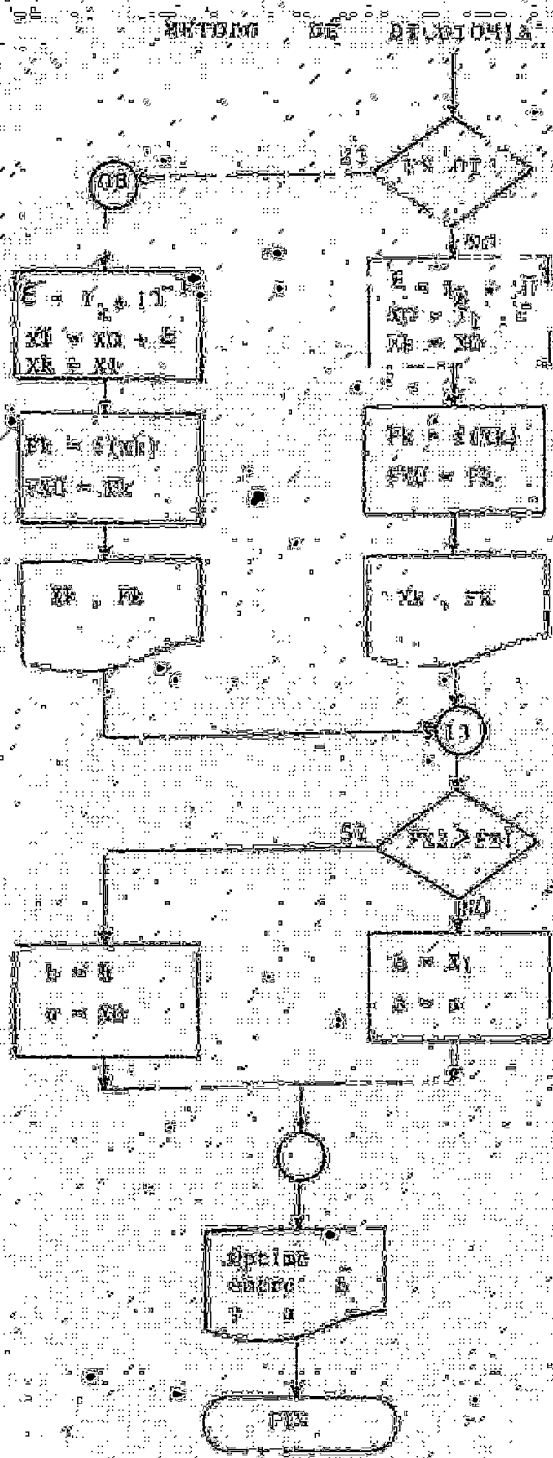


Cálculo por
método de
discretas



Exhibe en
una hoja
de cálculo
el resultado
de la operación
que se indica

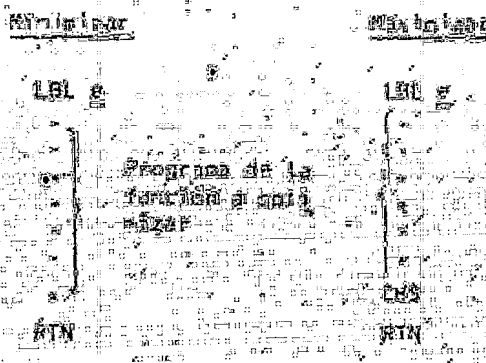




1. Consultar las instrucciones del programa para la Pista.

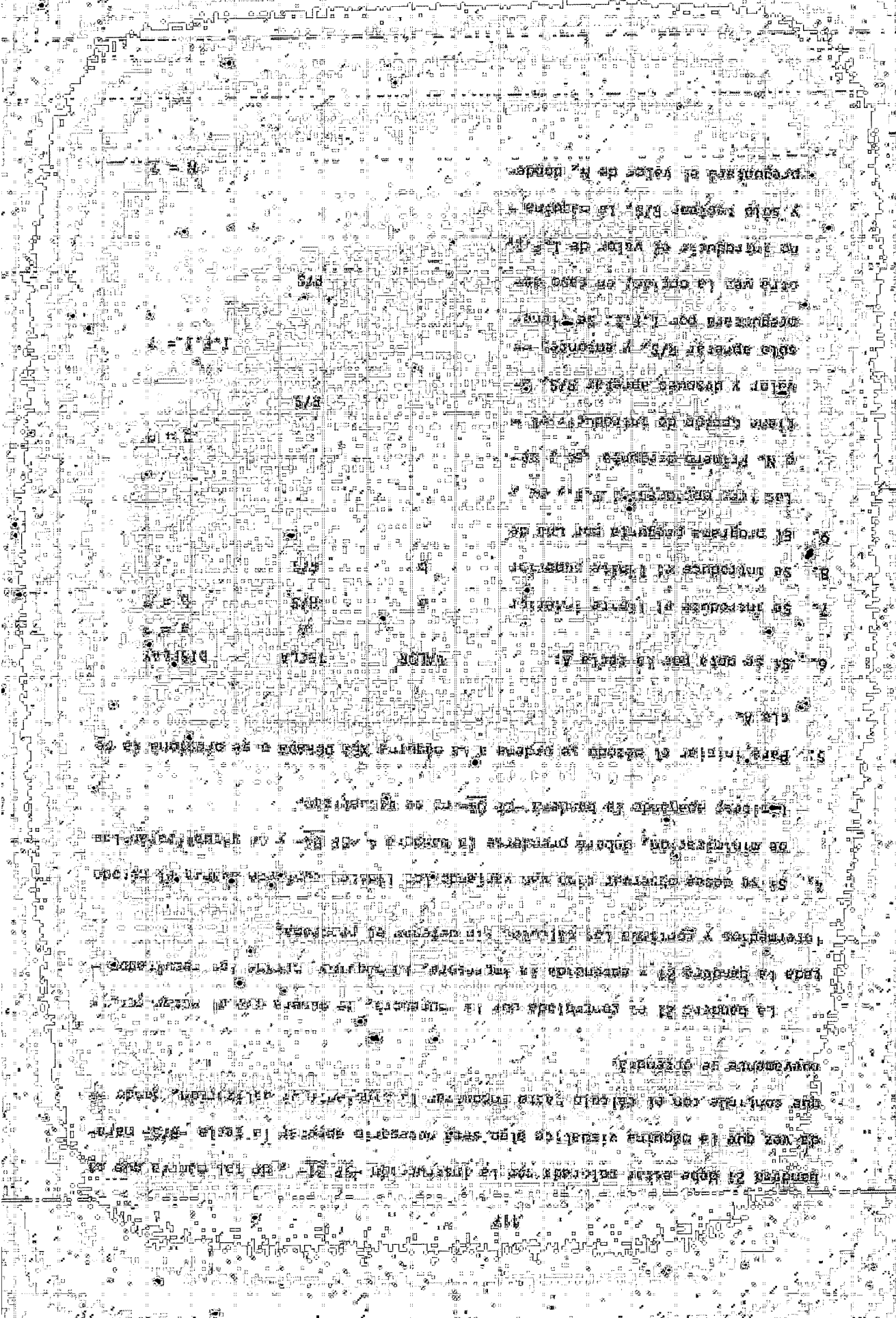
2. Correr el programa disponer de 15 repeticiones de 100

3. Bajo la etiqueta (HL) se selecciona la función de evaluación de la pista. Se activa la evaluación que establece el criterio de evaluación. Se activa la función de medir el tiempo que tarda en calcular la función de evaluación. Se activa la función de evaluar la velocidad de respuesta. Se activa la función de pendiente de la pista, calcula la velocidad de respuesta dependiente de la pendiente de la pista.



El programa de la pista tiene la función para evaluar los resultados de la evaluación de la pista. El resultado de la evaluación de la pista es presentado correspondiendo a la función final. Una vez que el resultado es igual al resultado de la función de la velocidad de respuesta, que los resultados de la velocidad de respuesta son los máximos de la pista.

4. Si se desean que la máquina no se detenga en cada resultado de los resultados intermedios, después de la función "INICIO" debe asegurarse que la bandera de este programa con la orden SETB. Así, la ejecución no se detendrá en los resultados al final del programa una vez iniciado éste. Si se desea que la máquina si se detenga en cada visualización de los resultados de la ejecución,



PARA EL MOTOR LA OPCIÓN PES

PARA EL TURBO ALTA PRESIÓN

SELECCIONA

EL VALVULAS DE INJICIÓN DE GASOLINA

EL VALVULAS DE INJICIÓN DE GASOLINA

PROTECCIÓN LOS RODAJAS, VELARIA

CON SUS SALTADIZAS DE ACERO A

LOS FILTROS DE LOS PRENDIDORES

REEMPLAZO EN UN LUGAR SEGURO

SI SE SEÑAL DE ACCESO DE MOTOR

EL MOTOR COMO HIN VALVULAS DE INJICIÓN

DEBES

SI SE SEÑAL DE MOTOR ADAPTACIONES

DEBES EL PASO A

PARA SEGUIR UTILIZAR CON EL PROBLEMA

ESTA CON APRETAR RVS A EL MOTOR

MANOS EN LA MANO DESDE 10 CM

SI NO HAYAS XN CON UN FUERZO DE

AS EL MOTOR PARA LA MECANICA

ESTARÁN CAMBIOS Y LOS SERÁN DE

CON UNA DISTANCIA DE

CON UN MOTOR DEBES USAR EL SERV

DE LA LLAVEADA

SI SE PUEDEN HACER LAS MEJORES DE LOS LÍNEAS, SE, UNA PESCA SIN PROBLEMA

LAS PRIMERAS LAS DIFERENTES LINEAS



III.4.4 Conexión del termómetro de resistencia

- A. Sigue todos los pasos que dirige el monitor y pregunta si tiene:
- B. Guarda los límites y revisa que sean superior e inferior, si es así,
 - C. Pregunta X del rango final de la escala a TFA, en el número de evaluación.
 - D. Si se ha actualizado el rango de los límites se dirigen a D.
 - E. Guarda el cuadro de evaluación; cancela F y calcula E y desplaza en pantalla los valores de factores de rectificación.
 - F. Cambia el valor de E y pregunta nuevo valor.
 - G. Continúa con la evaluación de acuerdo a las pautas iniciales.
 - H. Para finalizar el TFA.
 - I. Introduce el rango de TFA. Algunas veces el monitor dice que se dirige a G.
 - J. Calcula la cantidad que se debe sustraer para los límites más cercanos a los valores de evaluación. Formula I.
 - K. Visualiza los límites que se presentan en la pantalla.
 - L. Presenta si se mide el rango de soldadura. Si es así, la letra R.
 - M. Cuestiona si formula I, el TFA, NO cumple con las pautas.
 - N. Da la opción a visualizar los límites. Muestra el cuadro de evaluación y revisa si se llegó a la cifra evaluación. En caso de no ser, lleva a la cifra evaluación.

Table 3. Mortality Statistics

卷之三十一

ไทยดีเจส์ รีวิวเวอร์ แอนด์ ลีฟ

Permittee and his agent, licensee, fire chief, and other
persons may be introduced.

Sefaria, the free online library of Jewish texts

Bernice sprang right into it, however, without any help or assistance.

காலத்திலே குறிப்பிட்டு வரும் சம்பந்தமாக அதை விரிவாக விவரிதிப்பது

14. Decide qué evaluación de la función es mayor y prepara los valores así:
• Completa la condición para el límite inferior (x_0) y el valor intermedio superior (x_1).
15. Calcula la misma evaluación por método de dicotomía.
16. Prepara los valores para dar a conocer el rango del dominio entre el límite superior (x_0) y el valor intermedio inferior (x_1).
17. Visualiza los límites obtenidos para el rango del valor entre encerrados.
18. Corre todas las bocanadas pendientes.
19. Calcula el valor de $-f$ usado en dicotomía.
20. Visualiza el valor de $f(x)$ que se usó para la evaluación de la función.
21. Visualiza el valor de la función $f(x)$.
22. Decide qué evaluación se desecha y qué valores se reasignan como nuevos límites, y calcula el nuevo valor de la siguiente evaluación para transferirlo al LIR 17.
23. Reasigna valores y calcula el valor de la siguiente evaluación si procede según los criterios establecidos en el LIR 16.

III. APLICACIONES

III.1. PRESENTACION

Este método de optimización es más apropiado en el análisis de los sistemas de control que en el diseño de tales sistemas. La principal ventaja es que se suministra una descripción completa de las variables utilizadas para el diseño, lo que implica una mayor claridad en la formulación del problema, calculando valores óptimos dentro de la recta de los criterios de optimización. De este modo resulta un mejor valor para la función de optimización que se obtiene con los tres criterios para fijar las mejores soluciones de acuerdo con las normas de diseño establecidas.

Este método numérico de optimización para sistemas dinámicos, unido a las ventajas de su ejecución rápida y la tasa elevada de precisión, es una característica. Para un desarrollo completo de la teoría, consulte la bibliografía.

Así es necesario considerar el efecto entre los criterios de optimización y el resultado. Si la función matriz cada uno de los criterios resulta claramente

Síntesis y evaluación

N.º Número de evaluación en el desarrollo

Universo final de instrumentos

Contrario de evaluación

X X Variable independiente o la medida

Martes dependiente en la medida

X X X Riqueza o densidad individualizada

FORMULA USADA

FORMULA

FORMULA

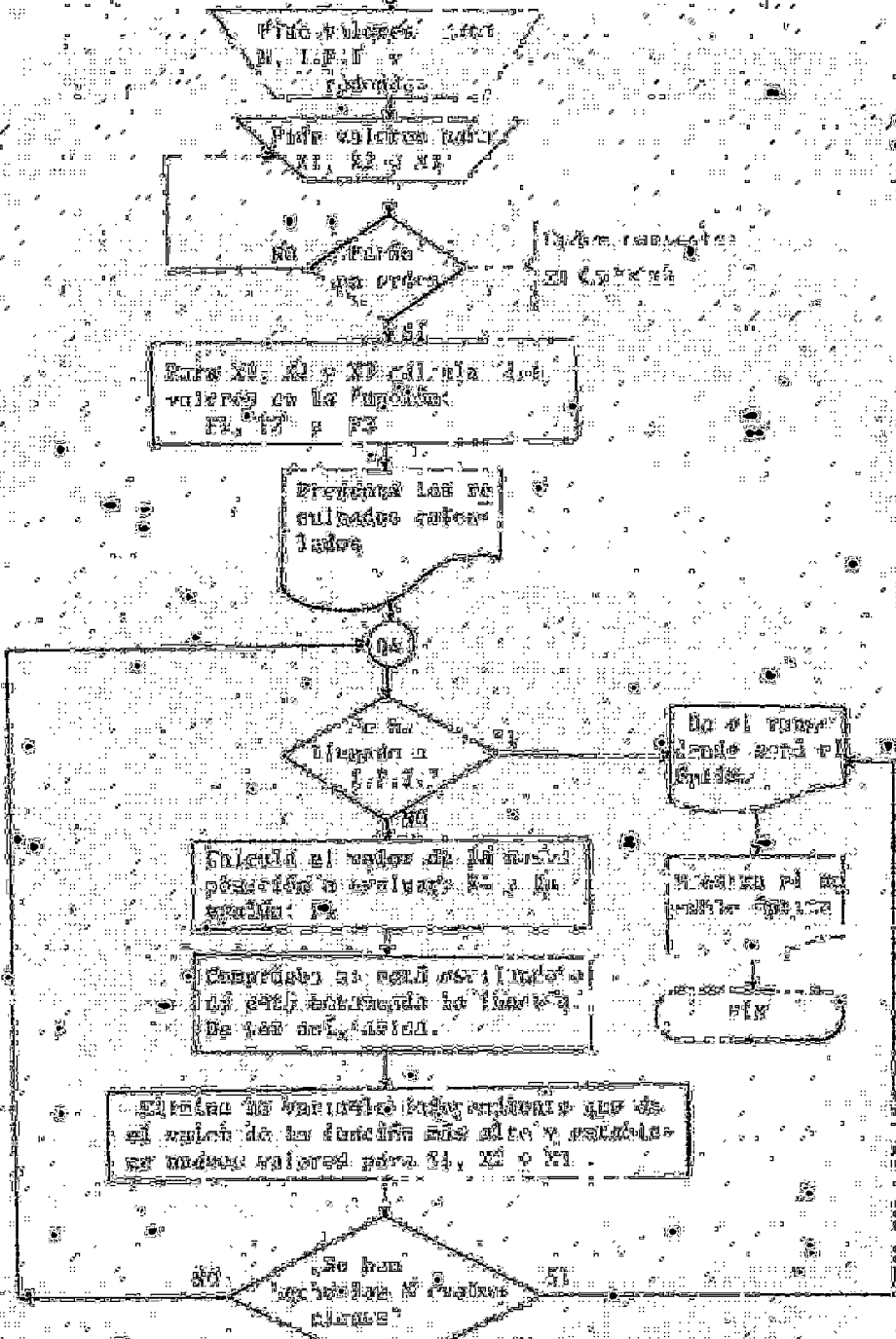
FORMULA

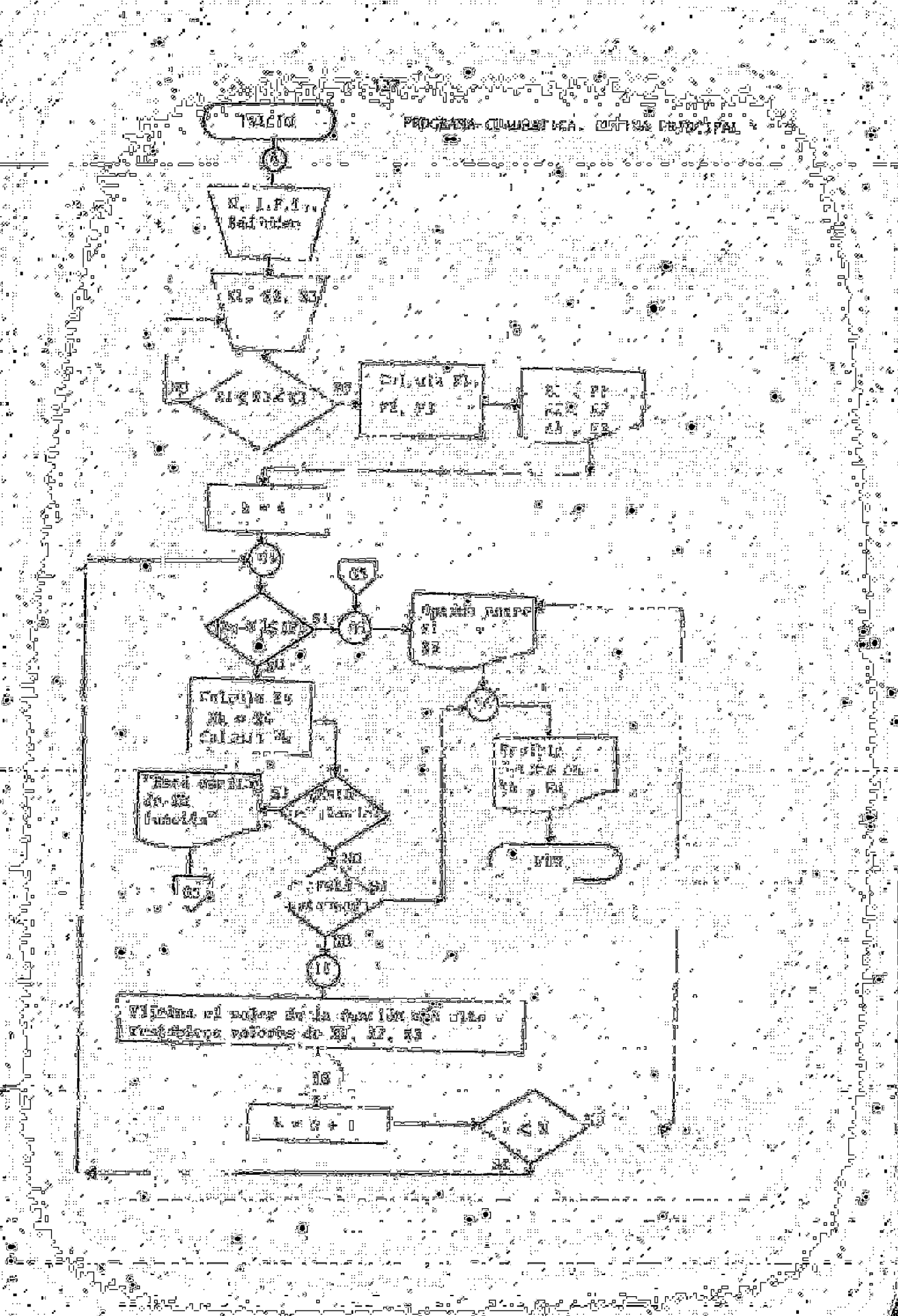
Primer

Valores de la variable dependiente en la medida que se fija

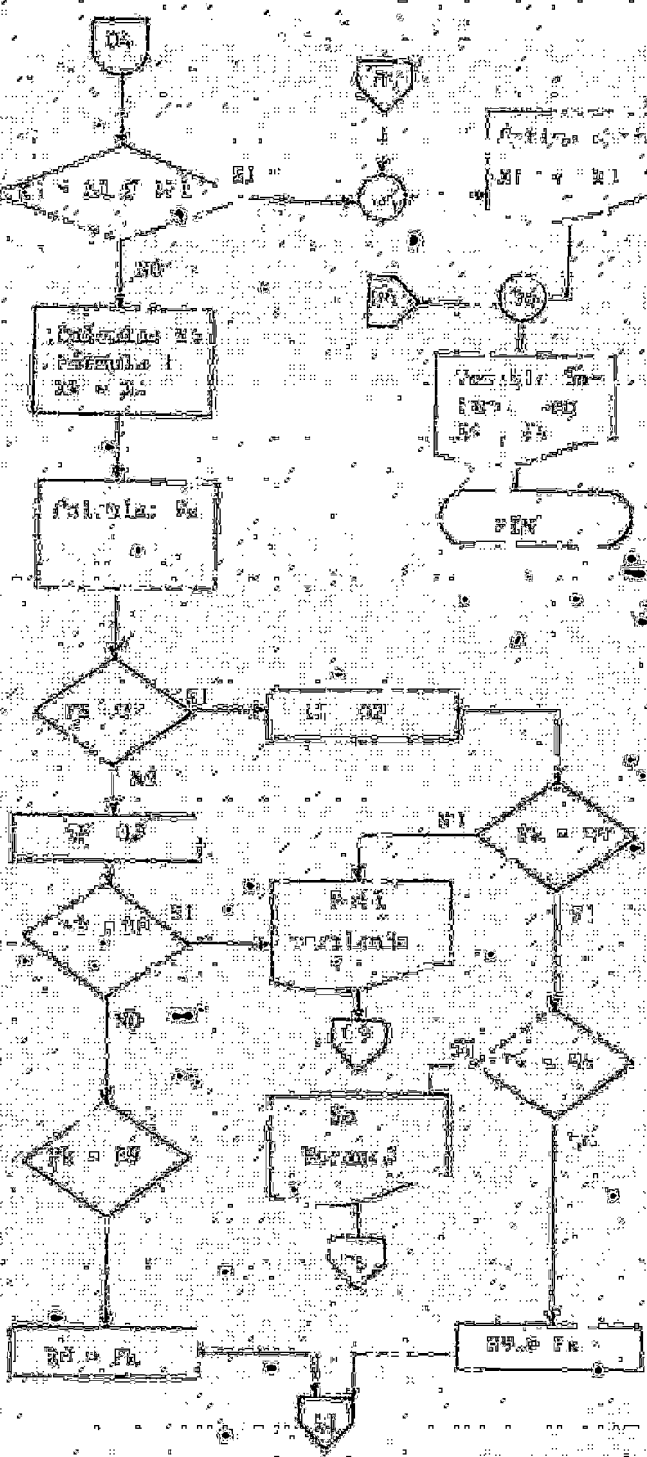
Valores de la variable dependiente en la medida que se fija

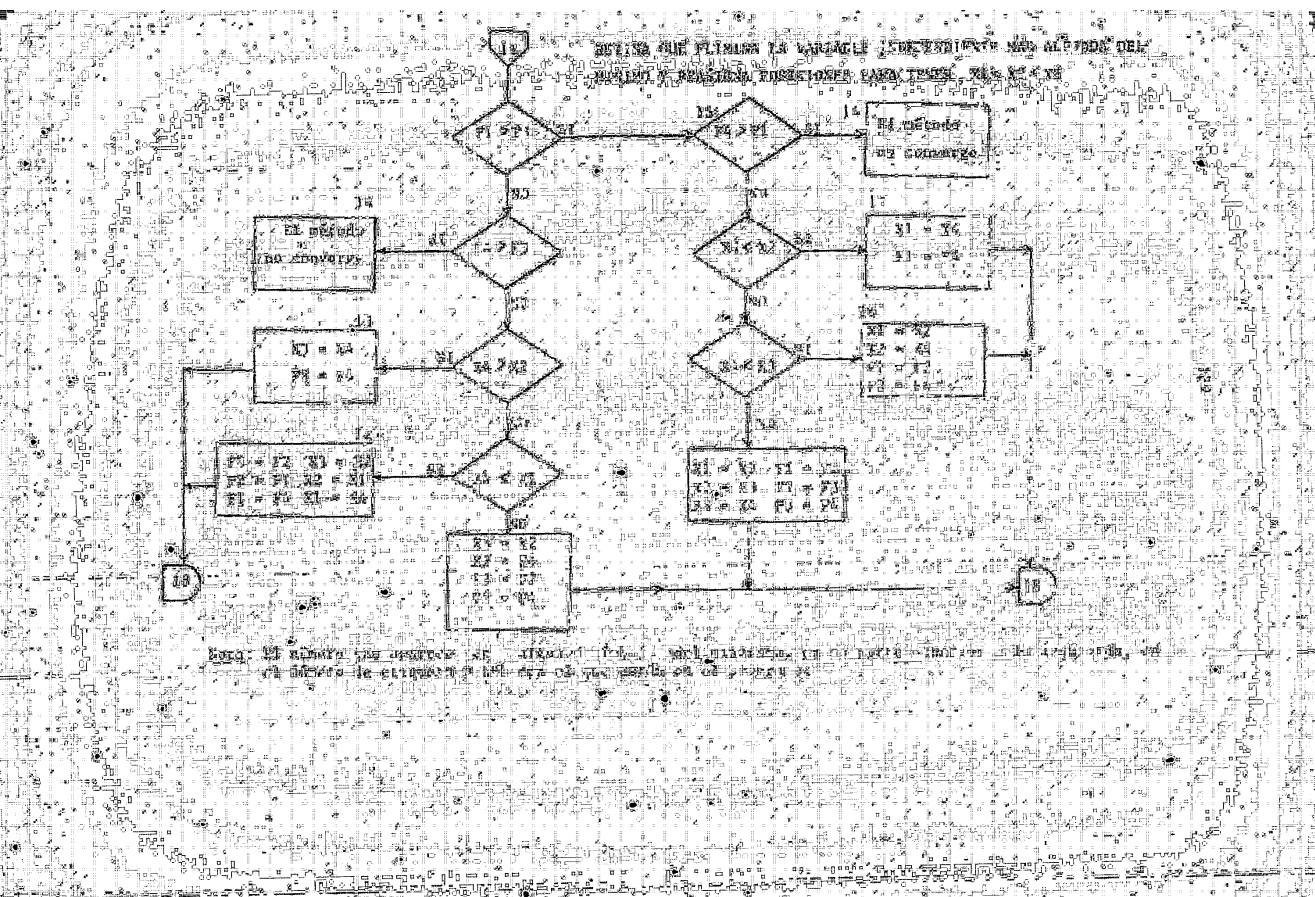
Diagrama de Flujo





NOTA DE CAMBIO DE LA POLÍTICA DE ESTADO





ESTRUCTURA DE LOS VARIOS TIPOS DE FUNCIONES

1. ESTRUCTURA DE LAS FUNCIONES SIMPLES

Las estructuras de las funciones simples se basan en la ejecución de una sola operación. Algunas de las operaciones más comunes que se realizan en la programación son el cálculo de la función f(x) para el valor x. Esas operaciones se realizan dentro de la estructura del tipo de función simple.

2. ESTRUCTURA DE LAS FUNCIONES COMPLEJAS

Las estructuras de las funciones complejas se basan en la ejecución de una o más operaciones. Una operación es un procedimiento que se ejecuta en un orden específico. La ejecución de una operación se realiza dentro de la estructura del tipo de función compleja.

3. ESTRUCTURA DE LAS FUNCIONES CON RETORNO DE VALORES

Este tipo de estructura de función se basa en la ejecución de una o más operaciones que devuelven un resultado. El resultado es el valor que se obtiene al ejecutar la operación. Los resultados se devuelven en forma de variables de salida. Estas variables de salida se utilizan para el manejo de datos y para el control de la ejecución de la función.

En este tipo de estructura de función, el resultado se devuelve en forma de variable de salida. La variable de salida se utiliza para el manejo de datos y para el control de la ejecución de la función.

En caso de no darse un valor a L , la máquina calculará el valor

de $L = 100$ en la integración.

$L = 100 - 10000$

6. El programa requiere que el vector ϕ contenga más de 10000 puntos para que el resultado sea válido.

7. La máquina calculará el valor estimado de los puntos adicionales.

8. Si el resultado es menor que el resultado calculado por el usuario, se obtendrá:

que es "incorrecto".

9. El valor calculado es el resultado de la integración.

Algunas de las razones que pueden dar como resultado una respuesta incorrecta son:

expresadas.

Algunas de las razones que pueden dar como resultado una respuesta incorrecta son:

expresadas.

Si bien de no introducir ningún valor para el parámetro L , la máquina dará como resultado el valor de ϕ para redondear al menor entero menor que el resultado de la integración.

La máquina pregunta si los tres valores en los que se pide calcular la función.

La máquina pregunta si los tres valores en los que se pide calcular la función.

Nota: Los errores a los que se refiere en la tabla de errores

de la tabla 2.4. Es importante señalar que los errores de los datos de la tabla 2.4. se refieren a los errores de los datos de la muestra que se obtienen. Los errores de los datos de la muestra que se obtienen. Los errores de los datos de la muestra que se obtienen. Los errores de los datos de la muestra que se obtienen.

Por lo que al introducir el dato nuevo en \bar{x}_N se verá que se introduce un dato, dependiendo de la probabilidad.

Si el promedio es menor que el promedio de los datos.

Si el promedio es mayor que el promedio de los datos.

Si el promedio es menor que el promedio de los datos.

Si el promedio es mayor que el promedio de los datos.

Si el promedio es menor que el promedio de los datos.

Si el promedio es mayor que el promedio de los datos.

Si la memoria no contiene ya que el orden buscando en la memoria una
determinada dirección, que sea menor que F_1 y que F_2 .

Con estas últimas condiciones el ordenador se detiene y termina el programa.

Al finalizar su ejecución:

Se cumplen las condiciones I o II el programa sigue así:

OPTIMO ENTRE

M

N

P

Q

R

S

T

U

V

W

X

Y

Z

A

B

C

D

E

F

G

H

I

J

K

L

M

N

O

P

Q

R

S

T

U

V

W

X

Y

Z

A

B

C

D

E

F

G

H

I

J

K

L

M

N

O

P

Q

R

S

T

U

V

W

X

Y

Z

A

B

C

D

E

F

G

H

I

J

K

L

M

N

O

P

Q

R

S

T

U

V

W

X

Y

Z

OPTIMO ENTRE

M

N

P

R

S

T

U

V

W

X

Y

Z

A

B

C

D

E

F

G

H

I

J

K

L

M

N

O

P

Q

R

S

T

U

V

W

X

Y

Z

A

B

C

D

E

F

G

H

I

J

K

L

M

N

O

P

Q

R

S

T

U

V

W

X

Y

Z

OPTIMO ENTRE

M

N

P

R

S

T

U

V

W

X

Y

Z

A

B

C

D

E

F

G

H

I

J

K

L

M

N

O

P

Q

R

S

T

U

V

W

X

Y

Z

A

B

C

D

E

F

G

H

I

J

K

L

M

N

O

P

Q

R

S

T

U

V

W

X

Y

Z

OPTIMO ENTRE

M

N

P

R

S

T

U

V

W

X

Y

Z

A

B

C

D

E

F

G

H

I

J

K

L

M

N

O

P

Q

R

S

T

U

V

W

X

Y

Z

A

B

C

D

E

F

G

H

I

J

K

L

M

N

O

P

Q

R

S

T

U

V

W

X

Y

Z

OPTIMO ENTRE

M

N

P

R

S

T

U

V

W

X

Y

Z

A

B

C

D

E

F

G

H

I

J

K

L

M

N

O

P

Q

R

S

T

U

V

W

X

Y

Z

A

B

C

D

E

F

G

H

I

J

K

L

M

N

O

P

Q

R

S

T

U

V

W

X

Y

Z

August 10, 1968 - Q3 46 September

ANSWERED BY THE CHIEF OF STAFF, U.S. AIR FORCE

卷之三十一

5. *Trichomyces* is a genus of the Lecanorales.

1.2.7 Descripción del sistema basado en el Z80

16.

a. Programa para el Z80 para leer los datos.

b. Programa para el Z80 para calcular el resultado de la suma de los datos.

c. Pregunta tres veces valores, los cuales se leen en X1, X2 y X3.

d. En cada iteración, calcula la suma actualizada en X1, X2 y X3 y visualiza los valores. Asigna el valor de X1 a X2 y X2 a X3. Repetir hasta el contador.

04. Visualizar los flujos si se lo pide. Revisa si ya se llega al fin.

05. Calcula M con la fórmula $M = T \times \text{calcular } M$. Visualiza cada una.

06. Reviso si se lleva un número grande en cuenta los dígitos que se lleva hoy se visualizan.

07. Resumo camionero para el Z80.

10. Funciones de impresión de numero entero.

11. Funciones de impresión de numero decimal.

12. Visualizar el resultado de convertir a 16 bits el programa.

13. Funciones de impresión de numero decimal.

14. Imprime los subtítulos de visualización de diferentes valores.

15. Funciones de impresión de numero decimal.

16. Imprime el resultado de multiplicar M1 y M2 que se pasa de 16 bits.

05. Visualiza en cada bucle se encuentra el bucle.

06. Visualiza el posible decimal y su valor en la función.

- 9. Subrutina de integración y tabulación del resultado. Se pide:
 - a) Algoritmo para calcularlo y se devuelva el resultado.
- 10. Avise que se obtiene y se guarda el resultado.
- 11. Tabulación de valores de $F(x)$.
- 12. Subrutina de visualización del valor de x_0 .
- 13. Subrutina de visualización del punto de $F(x_0)$.
- 14. Subrutina de cálculo de la función a optimizar.

~~CONFIDENTIAL~~ ~~ALL INFORMATION CONTAINED~~

DEFENSE COMINT

REF ID:

REF ID: A1

REF ID: A2

REF ID: A3

REF ID: A4

REF ID: A5

REF ID: A6

REF ID: A7

REF ID: A8

REF ID: A9

REF ID: A10

REF ID: A11

REF ID: A12

REF ID: A13

REF ID: A14

REF ID: A15

REF ID: A16

REF ID: A17

REF ID: A18

REF ID: A19

REF ID: A20

REF ID: A21

REF ID: A22

REF ID: A23

REF ID: A24

REF ID: A25

REF ID: A26

REF ID: A27

REF ID: A28

REF ID: A29

REF ID: A30

REF ID: A31

REF ID: A32

REF ID: A33

REF ID: A34

REF ID: A35

REF ID: A36

REF ID: A37

REF ID: A38

REF ID: A39

REF ID: A40

REF ID: A41

REF ID: A42

REF ID: A43

REF ID: A44

REF ID: A45

REF ID: A46

REF ID: A47

REF ID: A48

REF ID: A49

REF ID: A50

REF ID: A51

REF ID: A52

REF ID: A53

REF ID: A54

REF ID: A55

REF ID: A56

REF ID: A57

REF ID: A58

REF ID: A59

REF ID: A60

REF ID: A61

REF ID: A62

REF ID: A63

REF ID: A64

REF ID: A65

REF ID: A66

REF ID: A67

REF ID: A68

REF ID: A69

REF ID: A70

REF ID: A71

REF ID: A72

REF ID: A73

REF ID: A74

REF ID: A75

REF ID: A76

REF ID: A77

REF ID: A78

REF ID: A79

REF ID: A80

REF ID: A81

REF ID: A82

REF ID: A83

REF ID: A84

REF ID: A85

REF ID: A86

REF ID: A87

REF ID: A88

REF ID: A89

REF ID: A90

REF ID: A91

REF ID: A92

REF ID: A93

REF ID: A94

REF ID: A95

REF ID: A96

REF ID: A97

REF ID: A98

REF ID: A99

REF ID: A100

REF ID: A101

REF ID: A102

REF ID: A103

REF ID: A104

REF ID: A105

REF ID: A106

REF ID: A107

REF ID: A108

REF ID: A109

REF ID: A110

REF ID: A111

REF ID: A112

REF ID: A113

REF ID: A114

REF ID: A115

REF ID: A116

REF ID: A117

REF ID: A118

REF ID: A119

REF ID: A120

REF ID: A121

REF ID: A122

REF ID: A123

REF ID: A124

REF ID: A125

REF ID: A126

REF ID: A127

REF ID: A128

REF ID: A129

REF ID: A130

REF ID: A131

REF ID: A132

REF ID: A133

REF ID: A134

REF ID: A135

REF ID: A136

REF ID: A137

REF ID: A138

REF ID: A139

REF ID: A140

REF ID: A141

REF ID: A142

REF ID: A143

REF ID: A144

REF ID: A145

REF ID: A146

REF ID: A147

REF ID: A148

REF ID: A149

REF ID: A150

REF ID: A151

REF ID: A152

REF ID: A153

REF ID: A154

REF ID: A155

REF ID: A156

REF ID: A157

REF ID: A158

REF ID: A159

REF ID: A160

REF ID: A161

REF ID: A162

REF ID: A163

REF ID: A164

REF ID: A165

REF ID: A166

REF ID: A167

REF ID: A168

REF ID: A169

REF ID: A170

REF ID: A171

REF ID: A172

REF ID: A173

REF ID: A174

REF ID: A175

REF ID: A176

REF ID: A177

REF ID: A178

REF ID: A179

REF ID: A180

REF ID: A181

REF ID: A182

REF ID: A183

REF ID: A184

REF ID: A185

REF ID: A186

REF ID: A187

REF ID: A188

REF ID: A189

REF ID: A190

REF ID: A191

REF ID: A192

REF ID: A193

REF ID: A194

REF ID: A195

REF ID: A196

REF ID: A197

REF ID: A198

REF ID: A199

REF ID: A200

REF ID: A201

REF ID: A202

REF ID: A203

REF ID: A204

REF ID: A205

REF ID: A206

REF ID: A207

REF ID: A208

REF ID: A209

REF ID: A210

REF ID: A211

REF ID: A212

REF ID: A213

REF ID: A214

REF ID: A215

REF ID: A216

REF ID: A217

REF ID: A218

REF ID: A219

REF ID: A220

REF ID: A221

REF ID: A222

REF ID: A223

REF ID: A224

REF ID: A225

REF ID: A226

REF ID: A227

REF ID: A228

REF ID: A229

REF ID: A230

REF ID: A231

REF ID: A232

REF ID: A233

REF ID: A234

REF ID: A235

REF ID: A236

REF ID: A237

REF ID: A238

REF ID: A239

REF ID: A240

REF ID: A241

REF ID: A242

REF ID: A243

REF ID: A244

REF ID: A245

REF ID: A246

REF ID: A247

REF ID: A248

REF ID: A249

REF ID: A250

REF ID: A251

REF ID: A252

REF ID: A253

REF ID: A254

REF ID: A255

REF ID: A256

REF ID: A257

REF ID: A258

REF ID: A259

REF ID: A260

REF ID: A261

REF ID: A262

REF ID: A263

REF ID: A264

REF ID: A265

REF ID: A266

REF ID: A267

REF ID: A268

REF ID: A269

REF ID: A270

REF ID: A271

REF ID: A272

REF ID: A273

REF ID: A274

REF ID: A275

REF ID: A276

REF ID: A277

REF ID: A278

REF ID: A279

REF ID: A280

REF ID: A281

REF ID: A282

REF ID: A283

REF ID: A284

REF ID: A285

REF ID: A286

REF ID: A287

REF ID: A288

REF ID: A289

REF ID: A290

REF ID: A291

REF ID: A292

REF ID: A293

REF ID: A294

REF ID: A295

REF ID: A296

REF ID: A297

SEL 18 SW 31 SEL 19
SW 24

2851EL 15
151 13 SW 24

2851EL 21
DEEP * DEEP SHOT
VIEW PSC 010 01
SEL 18 SW 24 SW 21
SEL 19 SW 24 SW 21
CPL 001 X 001
CF 21

2851EL 26
010 * POSTURE DATA
VIEW PSC 010 01
SEL 18 SW 24 SW 21
SEL 19 SW 24 SW 21

2851EL 31
FCI 05 SF 21 OF 01
CF 02 DE 00 RIN 010 01

2851EL 08
DEEP TEST OSCILLOSCOPE
EXCEPT 010 05

2851EL 18
DEEP * SE ESTIMATED
VIEW PSC 010 01

2851EL 23
SEL 01 SEL 05 - 005
100 X CF 00 010 01
SEL 18

2851EL 27
X SEL 18 SEL 05 010
SEL 01 PSC 010 010
SEL 01 PSC 010 010
SEL 01 PSC 010 010

2851EL 37
X SEL 18 SEL 05 010
SEL 01 PSC 010 010
SEL 01 PSC 010 010

2851EL 41
BTB END

Comparación de resultados.

12. Se puede programar dentro del programa que se leas los valores de X_1 , X_2 y X_3 que se encuentran en el código del vector, de modo que se lea el resultado de las banderas 4, 5 y 6. Los valores de X_1 a X_3 se leen de acuerdo con la figura 13.

Figura 13. Los valores de X_1 a X_3 se leen de acuerdo con la figura 13.

13. Para ordenar el programa para se lea y se visualizan los resultados intermedios hasta comprender lo que sucede en el μ -ordenador, se que programar para el valor de $N = 1$ y leerse del μ -ordenador, la instrucción

Por la instrucción

14. Es posible, mediante los programas, ordenar a la máquina que en la función de "salidas" recibir el resultado de la integración de fuentes tanto al de fijo como al de secuencia, con lo cual se puede obtener una combinación de resultados de cálculos de soluciones regulares, siempre que las tensiones universales y unidades.

• Cuando la bandera Of se prende a 16 luces en para señalar el proximo turn
cenistro es en la cual es E.

55 of Bimbera section

The U.S. Borderland Agencies

卷之三

卷之三

As a result, the following recommendations are made:

23. El software QUADPAT 1.0 permite definir el número de evaluaciones y ampliarlas con el I.F.L. o el número de ejemplos que se desean para el procedimiento. Sin embargo, se facilita el número del procedimiento, ya que define a la máquina cuando tiene que cesar las evaluaciones. Por lo tanto es que hay que decidir si el procedimiento tiene que cesar las evaluaciones según ciertas condiciones de los criterios reales diferentes de peso. La máquina tiene los siguientes valores preestablecidos:

• 100 •

卷之三

Digitized by srujanika@gmail.com

Si el resultado no es satisfactorio, se debe volver a la página de inicio y repetir el procedimiento.

I feita a partir de uma PVA, resina polivinílica acrílica com aditivos naturais e sintéticos.

CAPÍTULO IV. APLICACIÓN DE LOS PROGRAMAS A PROBLEMAS DE INGENIERÍA CIVIL

4.1. APLICACIÓN DEL PROGRAMA "ALGORITMO GENÉTICO"

En el desarrollo de la ingeniería civil se presentan numerosos problemas que requieren la optimización de ciertas variables para lograr un resultado óptimo.

En la actualidad existen numerosos métodos para resolver estos problemas, entre los cuales se encuentran:

• MÉTODO DE LOS EXCEPTEOS
• MÉTODO DE LOS PUNTEROS
• MÉTODO DE LOS SUBEXCEPTEOS

• MÉTODO DE LOS SUBPUNTEROS
• MÉTODO DE LOS SUBSUBEXCEPTEOS

• MÉTODO DE LOS SUBSUBPUNTEROS
• MÉTODO DE LOS SUBSUBSUBEXCEPTEOS

• MÉTODO DE LOS SUBSUBSUBPUNTEROS
• MÉTODO DE LOS SUBSUBSUBSUBEXCEPTEOS

• MÉTODO DE LOS SUBSUBSUBSUBPUNTEROS
• MÉTODO DE LOS SUBSUBSUBSUBSUBEXCEPTEOS

• MÉTODO DE LOS SUBSUBSUBSUBSUBPUNTEROS
• MÉTODO DE LOS SUBSUBSUBSUBSUBSUBEXCEPTEOS

• MÉTODO DE LOS SUBSUBSUBSUBSUBSUBPUNTEROS
• MÉTODO DE LOS SUBSUBSUBSUBSUBSUBSUBEXCEPTEOS

• MÉTODO DE LOS SUBSUBSUBSUBSUBSUBSUBPUNTEROS
• MÉTODO DE LOS SUBSUBSUBSUBSUBSUBSUBSUBEXCEPTEOS

• MÉTODO DE LOS SUBSUBSUBSUBSUBSUBSUBSUBPUNTEROS
• MÉTODO DE LOS SUBSUBSUBSUBSUBSUBSUBSUBSUBEXCEPTEOS

• MÉTODO DE LOS SUBSUBSUBSUBSUBSUBSUBSUBSUBPUNTEROS
• MÉTODO DE LOS SUBSUBSUBSUBSUBSUBSUBSUBSUBSUBEXCEPTEOS

• MÉTODO DE LOS SUBSUBSUBSUBSUBSUBSUBSUBSUBSUBPUNTEROS
• MÉTODO DE LOS SUBSUBSUBSUBSUBSUBSUBSUBSUBSUBSUBEXCEPTEOS

• MÉTODO DE LOS SUBSUBSUBSUBSUBSUBSUBSUBSUBSUBSUBPUNTEROS
• MÉTODO DE LOS SUBSUBSUBSUBSUBSUBSUBSUBSUBSUBSUBSUBEXCEPTEOS

• MÉTODO DE LOS SUBSUBSUBSUBSUBSUBSUBSUBSUBSUBSUBSUBPUNTEROS
• MÉTODO DE LOS SUBSUBSUBSUBSUBSUBSUBSUBSUBSUBSUBSUBSUBEXCEPTEOS

• MÉTODO DE LOS SUBSUBSUBSUBSUBSUBSUBSUBSUBSUBSUBSUBSUBPUNTEROS
• MÉTODO DE LOS SUBSUBSUBSUBSUBSUBSUBSUBSUBSUBSUBSUBSUBSUBEXCEPTEOS

• MÉTODO DE LOS SUBSUBSUBSUBSUBSUBSUBSUBSUBSUBSUBSUBSUBSUBPUNTEROS
• MÉTODO DE LOS SUBSUBSUBSUBSUBSUBSUBSUBSUBSUBSUBSUBSUBSUBSUBEXCEPTEOS

• MÉTODO DE LOS SUBSUBSUBSUBSUBSUBSUBSUBSUBSUBSUBSUBSUBSUBSUBPUNTEROS
• MÉTODO DE LOS SUBSUBSUBSUBSUBSUBSUBSUBSUBSUBSUBSUBSUBSUBSUBSUBEXCEPTEOS

• MÉTODO DE LOS SUBSUBSUBSUBSUBSUBSUBSUBSUBSUBSUBSUBSUBSUBSUBSUBPUNTEROS
• MÉTODO DE LOS SUBSUBSUBSUBSUBSUBSUBSUBSUBSUBSUBSUBSUBSUBSUBSUBSUBEXCEPTEOS

• MÉTODO DE LOS SUBSUBSUBSUBSUBSUBSUBSUBSUBSUBSUBSUBSUBSUBSUBSUBSUBPUNTEROS
• MÉTODO DE LOS SUBSUBSUBSUBSUBSUBSUBSUBSUBSUBSUBSUBSUBSUBSUBSUBSUBSUBEXCEPTEOS

• MÉTODO DE LOS SUBSUBSUBSUBSUBSUBSUBSUBSUBSUBSUBSUBSUBSUBSUBSUBSUBSUBPUNTEROS
• MÉTODO DE LOS SUBSUBSUBSUBSUBSUBSUBSUBSUBSUBSUBSUBSUBSUBSUBSUBSUBSUBSUBEXCEPTEOS

~~El resultado de este trabajo~~

~~100% de acierto~~

~~10 Años~~

~~El resultado es muy bueno ya que el 100% tiene la misma respuesta~~

~~entre sus 100% de acierto se incluyen los errores de los que no se solvió~~

~~en la media 5~~

~~200% entre 100%~~

Los resultados en las siguientes bases

~~100% de acierto~~

~~100% de acierto~~

En tales fechas para tales bases

Los resultados tienen comparación entre los de las otras 2.000 y del trabajo

base

SEGUIMIENTO DEL PROCESO DE INGRESO DE DATOS Y RESULTADOS OBTENIDOS CON EL

TOJA S'IMPRENTA.

Distribución de resultados clínicos del libro de crónicas y del protocolo TEP

para los siguientes ejemplos:

	TOTAL	TIPO	VALOR	UNIDAD
ABS.	1000		0.030	
VOL. MONEDA	1000			
ENTALGIA	1000			
V. IEL	1000			
X. P.DOBENZ.	1000			
CADER HUMEDO	1000			
ENALGIA	1000		0.01	
GEL C. COQUET. DO	1000		0.015	

FIG. 2. APLICACION DEL PROGRAMA "HUMIDITY" EN TIPIED 2

Para el aire que entra a un baño, sus temperaturas de bulbo seco y de rocio son, respectivamente, 150°F y 40°F , determinando entonces, el volumen-humedo, el valor húmedo y la humedad relativa.

SOLUCION:

En el punto de rocio la humedad absoluta y relativa es de 1604. Se introducen los datos por la tecla C, t_s y humedad relativa.

150 F enter 0.011

X ABS. = 0.011

VOL. HUMEDO = 13.5

ENTALPIA = 16.69

1604 RELATIVA

150.0 ABS. E

13.5 VOL. HUMEDO

16.69 ENTALPIA

150.0 T_s

13.5 V_h

16.69 E

Los resultados fueron comparados con el sistema TGA en la tabla.

Comparación de resultados obtenidos por el sistema MC3 con el sistema TGA para el polímero 241

Tensión de vapor	170	170
Temperatura de agitação	50	50
Y Residual	0.01	0.01
Y Perceptual	5.9	5.9
Y Rel.	5.9	5.9
Vol. Hidrocarb.	13.65	13.65
Entalpia	40.73	40.73
Celos Nómicos	5.245	5.245

IX. IMPLEMENTACION DEL PROGRAMA INVESTIGACIONES

Se tienen que establecer los tipos de seguimiento para las investigaciones de acuerdo con la necesidad de cada caso. Por lo tanto, se establece la siguiente clasificación:

En todos los casos se establece un tipo de seguimiento que es el tipo de seguimiento que se sigue en la mayor parte de los casos.

Clasificación

Clase	Nº de Casos	Tipo de Seguimiento	Porcentaje
1	10	Seguimiento continuo	100%
2	30	Seguimiento parcial	30%
3	50	Seguimiento parcial	50%
4	120	Seguimiento parcial	120%
5	700	Seguimiento parcial	700%
6	1000	Seguimiento parcial	1000%

Almacenamiento

Los datos se almacenan en un sistema de bases de datos centralizado.

Consultas

Consultas

Siguiendo las instrucciones del programa, se realizan las consultas de los diferentes tipos de investigaciones.

DISPLAY	DATOS	TELÉ
1	1	1
2	2	2
3	3	3
4	4	4
5	5	5
6	6	6
7	7	7
8	8	8
9	9	9
10	10	10
11	11	11
12	12	12
13	13	13
14	14	14
15	15	15
16	16	16
17	17	17
18	18	18
19	19	19
20	20	20
21	21	21
22	22	22
23	23	23
24	24	24
25	25	25
26	26	26
27	27	27
28	28	28
29	29	29
30	30	30
31	31	31
32	32	32
33	33	33
34	34	34
35	35	35
36	36	36
37	37	37
38	38	38
39	39	39
40	40	40
41	41	41
42	42	42
43	43	43
44	44	44
45	45	45
46	46	46
47	47	47
48	48	48
49	49	49
50	50	50
51	51	51
52	52	52
53	53	53
54	54	54
55	55	55
56	56	56
57	57	57
58	58	58
59	59	59
60	60	60
61	61	61
62	62	62
63	63	63
64	64	64
65	65	65
66	66	66
67	67	67
68	68	68
69	69	69
70	70	70
71	71	71
72	72	72
73	73	73
74	74	74
75	75	75
76	76	76
77	77	77
78	78	78
79	79	79
80	80	80
81	81	81
82	82	82
83	83	83
84	84	84
85	85	85
86	86	86
87	87	87
88	88	88
89	89	89
90	90	90
91	91	91
92	92	92
93	93	93
94	94	94
95	95	95
96	96	96
97	97	97
98	98	98
99	99	99
100	100	100

el resultado de la operación se obtiene en el registro de resultados.

Algunas operaciones permiten que el resultado sea dividido entre el resultado de una operación anterior. Deberá dar un nombre para que el resultado de la operación anterior sea dividido entre el resultado de la operación actual.

OPERACIONES

Existen la tabla A y la tabla B. La tabla A expresa la operación deseada mientras que en la tabla B se almacena la operación deseada. Los resultados correspondientes al programa.

OPERACIONES

ADICION - RESTA

Si se ingresan los valores como se señala en la figura, se tendrá en cuenta la operación y la conversión de los datos se puede dirigirlos a la tabla de operaciones.

MULTIPLICACION - DIVISION

Si se ingresan los valores como se señala en la figura, se tendrá en cuenta la operación y la conversión de los datos se puede dirigirlos a la tabla de operaciones. Si se ingresa el resultado de la multiplicación mostrando el valor del producto dividido por el resultado de la multiplicación. Cuando hayas resultado dividir los datos, la división se realizara de acuerdo con la operación deseada. Para esto es necesario que el divisor sea menor que el dividendo. Si no es así, se debe dividir el dividendo entre el divisor y el resultado se obtendrá en el resultado de la operación.

EXPONENCIAL - RADICAL

Si se ingresan los valores como se señala en la figura, se tendrá en cuenta la operación deseada. Para esto es necesario que el exponente sea menor que el resultado de la operación deseada. Si no es así, se debe dividir el resultado de la operación deseada entre el exponente y el resultado se obtendrá en el resultado de la operación.

EXP	1536	114	10.37	1000	100
LO	1525	1140	1037	1145	10
23	1525	1140	1037	1145	10

Del análisis de los resultados obtenidos a través de la calculadora, resulta comprobarse que el orden de la reacción es 2.

Con el procedimiento igual al

$$1.60 \times 10^{-5}$$

SEGUIMIENTO DEL PROYECTO DE IMPRESIÓN DE PÁGINA Y ESTIMACIÓN DE REACTIVOS POR MEDIO DE UNA IMPRESORA.

DEL IMPRESOR

100%

LÁMINA

Ver el ejemplo 2.3 del texto 1.1. Esta es otra formulación que se realizó con el programa RKF45 y se muestra en pantalla.

Smith, J.M. Chemical Engineering Equations Handbook.

4.4. APLICACIÓN DEL PROGRAMA TECNIFOR

Como en el ejemplo anterior, de la tabla 10.1 del apartado

TABLA 10.2

	DISPLA	TECN
1000	0.212	0.000
2000	0.000	0.000
3000	0.000	0.000
4000	0.000	0.000

Al activar el teclado se verá lo siguiente:

DISPLAY	PRO	TECN
0.00	0.00	0.00
0.00	0.00	0.00
0.00	0.00	0.00
0.00	0.00	0.00
0.00	0.00	0.00
0.00	0.00	0.00
0.00	0.00	0.00
0.00	0.00	0.00
0.00	0.00	0.00

A continuación se verán los datos que aparecerán presentados por los teclados, es decir, suma de los datos de las tres fases (el producto), una vez que se han introducido los datos para la medida:

DISPLA	PRO	TECN
--------	-----	------

0.000 0.312 0.000

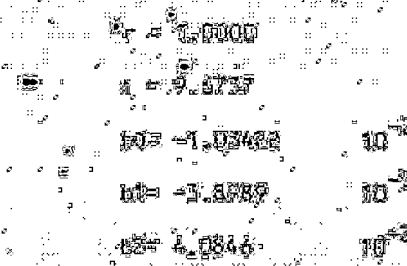
En la pantalla aparece el número 0.312 de estos sumandos al programarlos, y así en la primera medida se procede hasta el final de las otras sumas de datos que se presentan en la tabla 10.2.

Para revisar los valores se presentan a continuación los resultados del diseño:

$$V = 15.500 \text{ mAh de la batería}$$

$$R = 0.07 \Omega \text{ La carga } [B]$$

Al principio la tarta se establece los niveles de las concentraciones de los 4 iones y los perfiles más cercanos son los siguientes en el punto 0 de



Al final del cronograma programado se observa tales niveles concentracionales que reaccionan a un tiempo de 10 horas dando una diferencia en cada uno de los 4 iones de 0.0785 gramos.



Es decir que a los 100 segundos se obtiene la diferencia de 0.0785 gramos de la tarta (ver figura).

Para comprobar tanto el efecto de los óxidos y sales que se presentan se compara la tarta B.

En efecto se observa que el resultado es similar al que se obtuvo en la figura, con la sola diferencia de que la diferencia de tiempo.

Finalmente se observa el efecto de los iones más electronegativos del agua.

$\text{r} = 0.9937$

$\text{r} = 0.9621$

La máquina se detiene y muestra los valores de:

$r = 1.38 \times 10^{-3}$

$\text{r} = 0.9915$

$\text{r} = 0.9615$

Dado que los dos reactivos estaban en proporción estquímica se tiene:

$r = 1.38 \times 10^{-3}$ $[Y] = 1.91$

$\text{r} = 0.9915$

$\text{r} = 1.91$

$\text{r} = 0.9615$

$\text{r} = 1.91$

$\text{r} = 0.9915$

COMPARACION DE LOS VALORES OBTENIDOS CON IRRAY-1 Y IRRAY-2

de IRRAY-1 tienen los siguientes:

$$r = 0.38 \times 10^{-3} - 171.92$$

de IRRAY-2 tenemos:

$$r = 0.38 \times 10^{-3} - 171.92$$

Sustituyendo valores se obtiene la siguiente tabla:

[T]	I-1	I-2	50%
0.00	1.35	1.36	1.36
0.02	1.37	1.38	1.38
0.05	1.32	1.31	1.31
0.08	1.30	1.29	1.29
0.10	1.22	1.24	1.24

dónde la velocidad de rotación es igual a $r = 10^{-3}$.

171.92

Los valores de r calculados con ambos sistemas difieren en magnitud, lo cual no pueden considerarse resultados exactos. Los diferenciales que se encuentran entre los resultados de los dos programas son tan numerosos que resultan insignificantes. Por esto hace muy difícil la realización de los cuestionarios para hacer en todo sentido. Teniendo esto en cuenta, se puede considerar que los programas IRRAY-1 y IRRAY-2 son prácticamente idénticos en su resultado.

ANEXO 12 AL PROGRAMA DE TECNOLOGÍAS

La reacción que se observó es la siguiente: en el momento en que se introduce el polímero en el reactor, se observa que las bases no se ingieren porque el polímero las retiene. Estas bases permanecen en el reactor sin mezclar la noche y al día más tarde las disgregan las impurezas del TPER-3.

La reacción establecida es: $H_2 + Br \rightarrow HBr$

Se han hecho algunas pruebas de H₂Br. Siendo por ejemplo las medidas de velocidad alcanzada el método termodinámico usado en TPER-3, usando los datos presentados en el trabajo de J. del Leoncio.

Del análisis efectuado no se obtuvo ninguna resultante que pudiera indicar que el organo flujo sea correcto y, según la corrección de Leoncio, "la reacción no es elemental, ya que si puede representarse satisfactoriamente por una o más ecuaciones, éstas deben ser más complejas". Por lo tanto, suponiendo que el HBr interviene en la síntesis de la quarcosa utilizan los valores de velocidad inicial en las unidas de medida que están en la tabla que se da del trabajo.

Se tomaron los siguientes datos de velocidad inicial:

	THERMISTOR	1000	1000	1000
C. 2200				
V. 2000				
B. 6500	0.000			
B. 6500	0.000			
B. 5600	0.000			
B. 5600	0.000			
B. 5600	0.000			
B. 5600	0.000			
0.5103	0.000			
0.1625	0.000			
				1.257

Al ser una reacción elemental, el programa IRREV-2 no puede ser utilizado en todo su capacidad, sólo se utilizan la rutina "B" para ingreso de datos, y la rutina "C" para el cálculo de la constante de velocidad y órdenes de reacción, que servirán para el cálculo por el método de mínimos cuadrados.

Para poder ingresar los valores de velocidad inicial es necesario tomar los logaritmos, ya que si la velocidad de reacción puede expresarse como:

$$v = k[A]^n$$

entonces:

$$\log v = \log k + n \log [A] + \log A^2$$

que es una ecuación de la forma:

$$Y = b_0 + b_1 X + b_2 X^2$$

Y al ejecutar la rutina que está bajo la etiqueta L61 se calcularán los valores de los coeficientes b_0 , b_1 y b_2 .

Tomando logaritmos de los valores de la tabla IV-2 y obteniendo la tabla

IV-3-2

tabla IV-3-2

- Log $v_{(t=0)}$

- Log $[A]_0$

- Log A^2

6.1128
6.1450
6.1768
6.2088
6.2408
6.2728
6.3048
6.3368
6.3688

6.4008
6.4328
6.4648
6.4968
6.5288
6.5608
6.5928
6.6248
6.6568

6.6888
6.7208
6.7528
6.7848
6.8168
6.8488
6.8808
6.9128
6.9448

se obtendrán los datos de la siguiente forma:

Unas 10 enteros log M₂ enteros log D₂ en forma de flecha.

La calculadora muestra el número de constantes en cada fila que se multiplican entre sí
dejando por medio de la iguald.

A continuación se presenta el resultado de trazar el gráfico a la calculadora
con ayuda de una memoria.

Para comprobar si los datos han sido almacenados correctamente, la subrutina `LOGC` en el stack les asigna el

$$T = \log (M_2)$$

$$T = \log (M_1)$$

$$Y = 0$$

$$X = \log (-M_3)$$

$$T = \log M_4$$

$$T = 0.000$$

$$T = -10000$$

Para pedir el cálculo de M_1 , M_2 y M_3 se oprime las teclas `1`

`1` `1` `1`

`1` `1` `1`

`DE` `1` `1` `1`

se piden los valores de M_1 y M_2 son

`1` `3` `0` `0` `0`

`0` `0` `0`

`0` `0` `0`

`0` `0` `0`

`0` `0` `0`

`0` `0` `0`

`0` `0` `0`

`0` `0` `0`

`0` `0` `0`

que son los mismos valores encontrados por Lovettive

IV.2. APLICACIÓN DE LOS MÉTODOS DE OPTIMIZACIÓN PLEINACCI Y SUBANITOS EN LA PLATA

MISMA FUNCIÓN.

Problema: Un operador de cultivo efectúa una siembra en una finca de una extensión de 300.000 ha. La tasa de siembra es de 100 ha por día. Si la cosecha es de 1500 kg por hectárea, el costo de siembra es de 1000 pesetas por hectárea y los precios de los resultados están relacionados con el número de cultivos en el siguiente modo:

Datos: El valor del resultado se incrementa de 1000 pesetas cada año, es decir, se aumenta el valor por cultivo cada año en 1000 pesetas. El número de efectos.

El operador trabaja todo año con ello. El "costo" sólo aumentará cada año que se genere algo en la finca, es decir, el costo de generación es de 500 pesetas por efecto en el primer año de trabajo. Los costos de operación son de 500000000 pesetas al año, y se asumen que el valor neto de la cosecha es menor en la mitad, es decir, el valor neto es de 750000000 pesetas.

Todos los datos anteriores se han tomado de la finca, y se han tomado para el año anterior al que se aplica el efecto.

PROBLEMA

1. DATOS

2. DATOS DE INGRESOS

3. DATOS DE EXPENDICIÓN

4. DATOS DE PRODUCCIÓN

5. DATOS DE EXPOSICIÓN

6. DATOS DE PROTECCIÓN

7. DATOS DE PRODUCCIÓN

8. DATOS DE EXPENDICIÓN

9. DATOS DE PROTECCIÓN

10. DATOS DE PRODUCCIÓN

11. DATOS DE EXPENDICIÓN

12. DATOS DE PROTECCIÓN

RESOLUCIÓN DEL PROBLEMA

1. DATOS

2. DATOS DE INGRESOS

3. DATOS DE EXPENDICIÓN

4. DATOS DE PRODUCCIÓN

5. DATOS DE EXPOSICIÓN

6. DATOS DE PROTECCIÓN

7. DATOS DE PRODUCCIÓN

8. DATOS DE EXPENDICIÓN

9. DATOS DE PROTECCIÓN

10. DATOS DE PRODUCCIÓN

11. DATOS DE EXPENDICIÓN

12. DATOS DE PROTECCIÓN

三

Amherst College Library 1915-1930

新 92.160 140

Para particular el vapor necesita:

Welding = 6 min + 45 sec per sq in

卷之三十一

25. विद्युत् विद्युत् विद्युत्

卷之三

卷之三

Café Chiquito

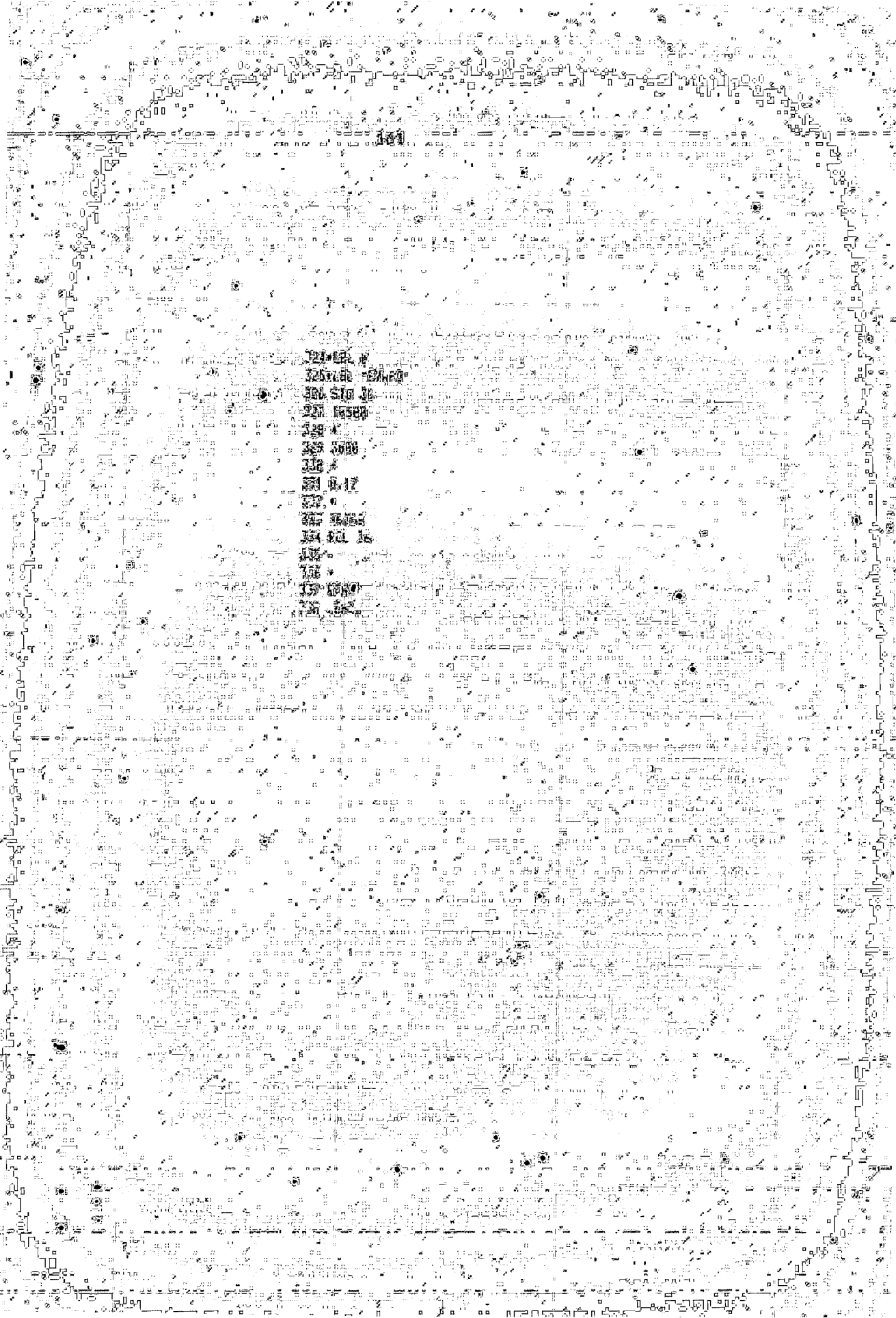
卷之四

10. The following table shows the number of hours worked by each employee in a company.

1. *Memorandum* dated 27th October 1943, from Mr. S. H. Dyer, M.A., F.R.S., Director of the Royal Society's Department of Scientific Information.

De tal manera que el equilibrio total resulta en sumatoria del flujo de partículas y papeles que se intercambian.

Bono La Et faire au lit



IV. 5.3 - Resultados obtenidos por el método de Fumagalli

El programa se procesó con éxito. Puedes cerrar la aplicación.

un intervalo final, por tanto, a la mitad del tiempo original de los pasos.

Long N. date for release

2000-08-22 08:59:59 SAST

2000-08-22 08:59:59 SAST

2000-08-22 08:59:59 SAST

Lo que indica que son 7 dígitos y el séptimo es el punto decimal.

3.2.2. Resultados obtenidos por el método de optimización "Cuadrática"

```
NEW CHANGES  
ITERATION 1  
X1= 1.228866625 0.04  
X2= 0.000000000 0.04  
X3= 0.000000000 0.04  
X4= 25.888016000 0.04  
X5= 53.688888888 0.04  
X6= 1.688888888 0.04  
X7= 59.765538688 0.04  
X8= 28.688888888 0.04  
F1= 415.848.49889 0.04  
F2= 53.688888888 0.04  
F3= 51.695.38808 0.04  
F4= 28.27699972 0.04  
F5= 50.695.78868 0.04  
F6= -150.2158626 0.04  
F7= -358.688.5408 0.04  
F8= -1087.4116225 0.04  
F9= 1.549.951.129 0.04
```

EL METODO NO CONVERGE.

El programa se interrumpe por si sola y abre cat

"El método no converge"

Se probó con otros valores iniciales (X1, X2, X3), el programa se detiene
avisando que el método no converge.

```
NEW CHANGES  
ITERATION 1  
X1= 1.228866625 0.04  
X2= 0.000000000 0.04  
X3= 0.000000000 0.04  
X4= 25.888016000 0.04  
X5= 53.688888888 0.04  
X6= 1.688888888 0.04  
X7= 59.765538688 0.04  
X8= 28.688888888 0.04  
F1= 415.848.49889 0.04  
F2= 53.688888888 0.04  
F3= 51.695.38808 0.04  
F4= 28.27699972 0.04  
F5= 50.695.78868 0.04  
F6= -150.2158626 0.04  
F7= -358.688.5408 0.04  
F8= -1087.4116225 0.04  
F9= 1.549.951.129 0.04
```

EL METODO NO CONVERGE

IV.7 APLICACION DE LOS MÉTODOS DE DETERMINACIÓN "CLASICA" Y "SECCIÓN-DORADA"

Se desea encontrar el binario de la función:

$$Y = f(x) = x^2 + x$$

Mediante:

- a) Método de Sección Dorada
- b) Método de Cuadráticos

Hacer una comparación entre estos métodos y el valor obtenido analíticamente.

Se desea obtener una precisión de ± 0.1 .

IV.7.1 Resultados obtenidos por el método de Sección Dorada.

1. Se introduce el programa "DORADA".
2. Bajo la etiqueta LBL E se introduce en la memoria la función:

```
LBL E
ENTER XEQ E
XEQ E
ENTER XEQ E
XEQ E
ENTER XEQ E
XEQ E
```

3. Se activa el programa "SEG.DORADA" y se ingresan los valores salientes. La máquina propone entonces los resultados (en los siguientes páginas).

IV.7.2 Resultados obtenidos por el método de Cuadráticos.

1. Se introduce el comando "QUADRAT".
2. Bajo la etiqueta LBL E se programa la función con las búsquedas impuestas que en el caso de DORADA.
3. Se activa el programa "SEG.CUADRAT" se ingresan los valores con teclado por la máquina y se esperan los resultados. El resultado de este modo con ayuda de la impresora se encuentra en la siguiente página.

PERIODICA

CLASIFICACION

1. F.I.
2. F.II.
3. F.III.
4. F.IV.
5. F.V.
6. F.VI.
7. F.VII.
8. F.VIII.
9. F.IX.
10. F.X.
11. F.XI.
12. F.XII.
13. F.XIII.
14. F.XIV.
15. F.XV.
16. F.XVI.
17. F.XVII.
18. F.XVIII.
19. F.XIX.
20. F.XX.
21. F.XXI.
22. F.XXII.
23. F.XXIII.
24. F.XXIV.
25. F.XXV.
26. F.XXVI.
27. F.XXVII.
28. F.XXVIII.
29. F.XXIX.
30. F.XX.

PARA ESTACION DOBADA DE INJETORES

Linha Infraestrutura - 2000

Linha Energia - 500

Correspondencia

Para el Señor del Trabajo

El Gobierno de la República de Chile, en su carácter de autoridad competente para la administración de justicia, ha establecido la Oficina de Investigación de la Conducta de los Oficiales de la PDI.

En virtud de lo establecido en la Constitución Política de la República, el Presidente de la República es el jefe supremo de la PDI.

La Oficina de Investigación de la Conducta de los Oficiales de la PDI, tiene como finalidad velar por la integridad moral y profesional de los Oficiales de la PDI.

Esta Oficina fue creada con el fin de garantizar la eficiencia y la integridad moral y profesional de los Oficiales de la PDI.

La Oficina de Investigación de la Conducta de los Oficiales de la PDI, tiene como finalidad velar por la integridad moral y profesional de los Oficiales de la PDI.

La Oficina de Investigación de la Conducta de los Oficiales de la PDI, tiene como finalidad velar por la integridad moral y profesional de los Oficiales de la PDI.

El Presidente de la República, designó al Oficial de la PDI, como Director de la Oficina de Investigación de la Conducta de los Oficiales de la PDI.

La Oficina de Investigación de la Conducta de los Oficiales de la PDI, tiene como finalidad velar por la integridad moral y profesional de los Oficiales de la PDI.

La Oficina de Investigación de la Conducta de los Oficiales de la PDI, tiene como finalidad velar por la integridad moral y profesional de los Oficiales de la PDI.

La Oficina de Investigación de la Conducta de los Oficiales de la PDI, tiene como finalidad velar por la integridad moral y profesional de los Oficiales de la PDI.

La Oficina de Investigación de la Conducta de los Oficiales de la PDI, tiene como finalidad velar por la integridad moral y profesional de los Oficiales de la PDI.

La Oficina de Investigación de la Conducta de los Oficiales de la PDI, tiene como finalidad velar por la integridad moral y profesional de los Oficiales de la PDI.

La Oficina de Investigación de la Conducta de los Oficiales de la PDI, tiene como finalidad velar por la integridad moral y profesional de los Oficiales de la PDI.

La Oficina de Investigación de la Conducta de los Oficiales de la PDI, tiene como finalidad velar por la integridad moral y profesional de los Oficiales de la PDI.

La Oficina de Investigación de la Conducta de los Oficiales de la PDI, tiene como finalidad velar por la integridad moral y profesional de los Oficiales de la PDI.

La Oficina de Investigación de la Conducta de los Oficiales de la PDI, tiene como finalidad velar por la integridad moral y profesional de los Oficiales de la PDI.

La Oficina de Investigación de la Conducta de los Oficiales de la PDI, tiene como finalidad velar por la integridad moral y profesional de los Oficiales de la PDI.

La Oficina de Investigación de la Conducta de los Oficiales de la PDI, tiene como finalidad velar por la integridad moral y profesional de los Oficiales de la PDI.

La Oficina de Investigación de la Conducta de los Oficiales de la PDI, tiene como finalidad velar por la integridad moral y profesional de los Oficiales de la PDI.

La Oficina de Investigación de la Conducta de los Oficiales de la PDI, tiene como finalidad velar por la integridad moral y profesional de los Oficiales de la PDI.

La Oficina de Investigación de la Conducta de los Oficiales de la PDI, tiene como finalidad velar por la integridad moral y profesional de los Oficiales de la PDI.

La Oficina de Investigación de la Conducta de los Oficiales de la PDI, tiene como finalidad velar por la integridad moral y profesional de los Oficiales de la PDI.

La Oficina de Investigación de la Conducta de los Oficiales de la PDI, tiene como finalidad velar por la integridad moral y profesional de los Oficiales de la PDI.

La Oficina de Investigación de la Conducta de los Oficiales de la PDI, tiene como finalidad velar por la integridad moral y profesional de los Oficiales de la PDI.

JURIES

2001ST

ROUTE 585
H-2 520
H-1 526
H-1 526
H-1 400

3.3. APLICACION DEL PROGRAMA BURST-XMTH

El sistema cilíndrico de un proyectil que en el fondo es de 10 cm de diámetro y se divide en 5 cm de grueso, la velocidad de escape es de 14 km/s y el tiempo total del tránsito es de

Datos:

$$D = 30 \text{ cm}$$

$$d = 10 \text{ cm}$$

$$v_e = 32.5 \text{ km/s}$$

$$C = 10^4$$



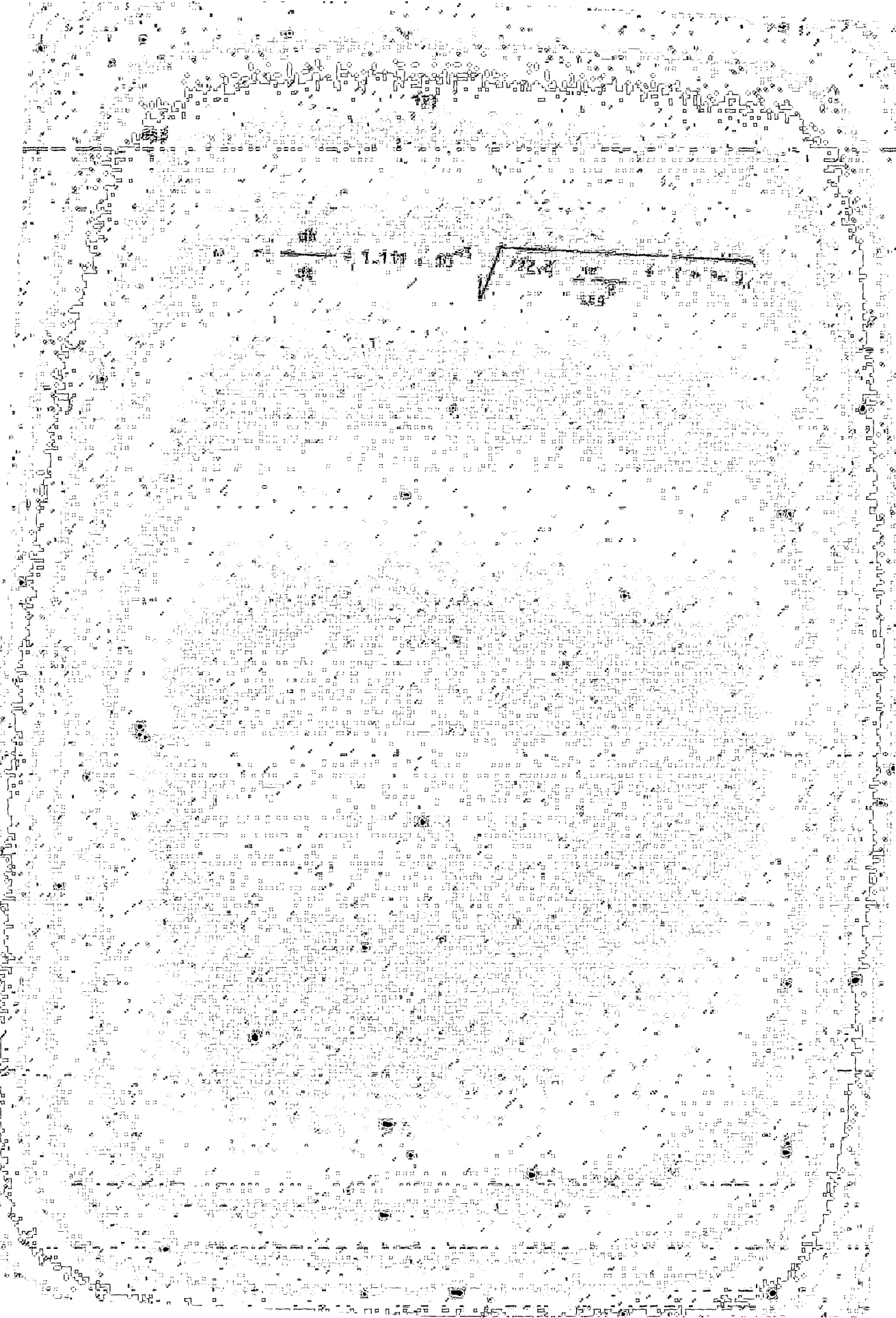
En este apartado se detallan las características principales del tránsito: velocidad, densidad, la forma y tipo del proyectil. En este apartado de la simulación se considera que igual a 10 se que la velocidad inicial es constante de acuerdo con el resultado obtenido con el software.

Comparación entre el resultado obtenido con la solución analítica



SOLUCION.

La ecuación diferencial para el problema para el sistema cilíndrico es la siguiente:



ESTA SITUACION SE PROGRAMO EN LA MEMORIA PARA LOS CASOS "TANQUE", DIFERENTES A
CONTINUACION:

AVANTAGE

02.BIN

0.75%

0.9%

0.95%

0.98%

0.99%

0.995%

0.998%

0.999%

0.9995%

0.9998%

0.9999%

0.99995%

0.99998%

0.99999%

0.999995%

0.999998%

0.999999%

0.9999995%

0.9999998%

0.9999999%

0.99999995%

0.99999998%

0.99999999%

0.999999995%

0.999999998%

0.999999999%

0.9999999995%

0.9999999998%

0.9999999999%

0.99999999995%

0.99999999998%

0.99999999999%

0.999999999995%

0.999999999998%

0.999999999999%

0.9999999999995%

0.9999999999998%

0.9999999999999%

0.99999999999995%

0.99999999999998%

0.99999999999999%

0.999999999999995%

0.999999999999998%

0.999999999999999%

0.9999999999999995%

0.9999999999999998%

0.9999999999999999%

0.99999999999999995%

0.99999999999999998%

0.99999999999999999%

0.999999999999999995%

0.999999999999999998%

0.999999999999999999%

Continuacion:

La primera instrucción ROM es para obtener la variable denominada C1 que viene en el stack \rightarrow , ya que la variable denominada C1 viene en el stack.

La última instrucción ROM es el cálculo de éste.

Los resultados se muestran en las siguientes secciones.

La ecuación para resuelto por el método analítico es:

$$\text{M.C. } 110.954 = 140.44 + 10.954 \quad \text{IV.B.1}$$

El programa para obtener resultados de esta ecuación es el siguiente bajo la dirección de "TANQUE".

Los resultados de la ecuación IV.B.1 se encuentran siguientes en los siguientes:

AVANTAGE	II	13.64	III
0.2	11.2	13.64	11.2
0.25	11.25	13.64	11.25

Aunque $b = q$ en $C = 110.954$.

RESULTADOS

MÉTODO ANALÍTICO

INGRESO DE DATOS

RESULTADOS

121. 36.71878
122. 21.42152
123. 16.15555
124. 33.92455
125. 55.74367
126. 50.31157
127. 41.20144
128. 59.258646
129. 35.225657
130. 34.29175
131. 24.155551
132. 52.954148
133. 19.270553
134. 16.837982
135. 13.893756
136. 10.448596
137. 8.101221
138. 6.152712
139. 4.361395
140. 2.953426
141. 1.3656683
142. 8.838238
143. 6.1266604
144. 8.0.0.0.0.0.
145. 0.0.0.0.0.0.
146. 0.0.0.0.0.0.
147. 0.0.0.0.0.0.
148. 0.0.0.0.0.0.
149. 0.0.0.0.0.0.
150. 0.0.0.0.0.0.
151. 0.0.0.0.0.0.
152. 0.0.0.0.0.0.
153. 0.0.0.0.0.0.
154. 0.0.0.0.0.0.
155. 0.0.0.0.0.0.
156. 0.0.0.0.0.0.
157. 0.0.0.0.0.0.
158. 0.0.0.0.0.0.
159. 0.0.0.0.0.0.
160. 0.0.0.0.0.0.
161. 0.0.0.0.0.0.
162. 0.0.0.0.0.0.
163. 0.0.0.0.0.0.
164. 0.0.0.0.0.0.
165. 0.0.0.0.0.0.
166. 0.0.0.0.0.0.
167. 0.0.0.0.0.0.
168. 0.0.0.0.0.0.
169. 0.0.0.0.0.0.
170. 0.0.0.0.0.0.
171. 0.0.0.0.0.0.
172. 0.0.0.0.0.0.
173. 0.0.0.0.0.0.
174. 0.0.0.0.0.0.
175. 0.0.0.0.0.0.
176. 0.0.0.0.0.0.
177. 0.0.0.0.0.0.
178. 0.0.0.0.0.0.
179. 0.0.0.0.0.0.
180. 0.0.0.0.0.0.
181. 0.0.0.0.0.0.
182. 0.0.0.0.0.0.
183. 0.0.0.0.0.0.
184. 0.0.0.0.0.0.
185. 0.0.0.0.0.0.
186. 0.0.0.0.0.0.
187. 0.0.0.0.0.0.
188. 0.0.0.0.0.0.
189. 0.0.0.0.0.0.
190. 0.0.0.0.0.0.

L100.00-1002

BETOND KNOUSE-KUNTE

GEN K 12 25

COM 25

100.000000

solo ocurre cuando el resultado anterior es menor que el actual.

Así como estos cambios no responden a un factor de control, tienen la

consiguiente aumento en el tiempo de respuesta.

Por otro lado, si los incrementos son grandes, el algoritmo adquiere

los mismos valores constantes pero en forma más rápida. En este caso,

segundo, el programa se detiene en torno a 0.07 segundos.

CONCLUSIONES

En conclusión, el desarrollo de la actividad física en los niños y niñas de la escuela primaria es un factor muy importante para la salud y bienestar de estos niños.

a) Los objetivos

El desarrollo de la actividad física en los niños y niñas de la escuela primaria es un factor muy importante para la salud y bienestar de estos niños. Los objetivos del desarrollo de la actividad física en los niños y niñas de la escuela primaria son:

- Fomentar la salud y bienestar de los niños y niñas de la escuela primaria.
- Desarrollar las habilidades motoras y cognitivas de los niños y niñas de la escuela primaria.
- Fomentar la participación activa de los niños y niñas de la escuela primaria en las actividades deportivas y recreativas.
- Promover la salud y bienestar de los niños y niñas de la escuela primaria a través de la realización de actividades deportivas y recreativas.

b) En el diseño

Algunos principios facilitan la optimización de los objetivos. Estos principios son que el diseño de los objetivos se basa en la experiencia de los niños y niñas de la escuela primaria y se adapta a su edad y desarrollo. Los objetivos deben ser claros, específicos y alcanzables. Los objetivos deben ser motivantes y fáciles de cumplir.

c) En la planificación

La planificación debe seguirse para garantizar que los objetivos de la actividad física sean logrados. Los objetivos deben ser claros, específicos y alcanzables. Los objetivos deben ser motivantes y fáciles de cumplir. Los objetivos deben ser alcanzados dentro del tiempo establecido.

Así, un diseño que lleva en cuenta las necesidades y deseos de los niños y niñas de la escuela primaria, así como sus intereses y habilidades, es más probable que sea efectivo. Los objetivos deben ser claros, específicos y alcanzables. Los objetivos deben ser motivantes y fáciles de cumplir.

Finalmente, es necesario tener en cuenta que el desarrollo de la actividad física en los niños y niñas de la escuela primaria es un factor muy importante para la salud y bienestar de estos niños y niñas. Los objetivos de este curso, el diseño de las actividades deportivas y las habilidades que los niños y niñas desarrollan en las actividades deportivas, deben ser adaptados a las necesidades y deseos de los niños y niñas de la escuela primaria.

APENDICE I

DIRECCIONES DE TIPO DE DATOS DE BIGDATA

Esta herramienta de visualización va a dar la

• visualización del grafo que

• desarrollo del programa.

• ejecución del programa.

• documentación del proyecto.

• búsqueda de errores en el programa (seguridad).

El programa fue escrito para un ordenador de tipo PC con sistema operativo Mac

forma de operación. Dentro de cada figura se indican las acciones a realizar.

Las líneas de conexión y flechas son las relaciones entre los nodos
diseñados.

Para evitar confusiones, este trabajo tiene una lista detallada.

Para los programas en lenguaje C véase el apartado "Programas". Para los
X3.5-1968 que se presentan pueden ser utilizados X3.2-2010 y en la norma
del CICB de la IEC.

En lo que sigue se presentan los tipos de datos más utilizados.

El primero es básicamente un tipo de dato de tipo estructura. Es una
linea de código de tipo struct que incluye dentro de ella variables. Los tipos de
dato generalmente se detallan en las secciones respectivas. Los tipos de
dato de tipo deben ser claros, ya que forman estructuras. Si se requiere
aportar más información al tipo principal o tienen que accederse al tipo dentro
de él, es necesario declararlos en un formato. Preferiblemente
se debe nombrar el tipo de datos de tipo al nombre de la variable en la

línea o tipo de datos que contiene el tipo de dato correctamente. Los

Algunas de las necesidades más comunes de los sistemas de control son:
- Funcionamiento de bucle.

Debe notarse que se divide el bucle en dos tipos:
- El problema, así como el punto de salida y punto de entrada.
- Los más que otros sistemas. Los sistemas de flujo pueden ser más simples,
pero lo que deben ser mucho más complicados.

ABREVIATURAS

Calc. Calcular

For.

Formula

Int.

Label o etiqueta

RUT

rutina

SBR

Subrutina

APÉNDICE E. ESTÁNDAR DEL DIAGRAMA DE FLUJO



ESTÁNDAR DE FLUJO

Diagrama de flujo en el que se muestra la forma de la caja.



Ejemplo de un procedimiento en el que se muestra la forma de la caja.



Diagrama de flujo en el que se muestra la forma de la caja.



Diagrama de flujo en el que se muestra la forma de la caja.



Diagrama de flujo en el que se muestra la forma de la caja.



Diagrama de flujo en el que se muestra la forma de la caja.



Diagrama de flujo en el que se muestra la forma de la caja.

APÉNDICE 3

EXPLICACIÓN DEL LENGUAJE DE LA RP-MIC

Para indicar un operando se usa un "M'P" (Máscara de Punto) que es una máscara binaria que indica los bits que se van a leer o escribir.

Para finalizar dentro del programa:

END - Salir de una Lema o Bucle

LBL - Etiqueta de la Lema o Bucle

Para finalizar un programa:

END

Terminar dentro de un programa:

STOP - Detener el programa hasta no ordenarle la reanudación con la tecla R/S

RTN - Permitir el regreso al bucle en una subrutina o la ejecución de otra rutina.

Para visualizar cuando un programa está detenido:

VIEW - Permitir ver un registro o más.

PSC - Visualizar partes de las variables y sus tipos.

PROMPT - Se solicita al programador introducir un parámetro.

Transférrencia de control:

Introducción de:

GTO - Transférrencia a una subrutina.

GTD - Programar una salida de datos.

GTR - Transférrencia a una rutina subrutina.

Comandos de formateo

Los comandos de formateo son los que se utilizan para preparar un dispositivo de almacenamiento para su uso en el sistema. Los más comunes son:

- **FORMAT**: Sirve para formatear el dispositivo.
- **FORMAT /F**: Sirve para formatear el dispositivo y borrar todos los datos.

Sustitución

Los comandos de sustitución sirven para sustituir la información de una posición de la memoria por otra. Los más comunes son:

- **MOV**: Sirve para mover la información de una posición a otra.
- **MOV /P**: Sirve para mover la información de una posición a otra y preservar la original.

Reservados en ejecución

BSHELL: Se lleva a cabo de una manera muy sencilla en el monitor.

Asociación de memoria

SIZE: Es el comando que sirve para ver el tamaño de los registros o tipos de memoria que tiene el sistema. Ejemplo: **SIZE D** en DOS.

Almacenar en memoria

STO: Es el comando que sirve para guardar en memoria el resultado de una operación.

Uso de memoria

REL: Es el comando que sirve para liberar la memoria utilizada al finalizada de la ejecución de un programa.

Para liberar la memoria se usa la sintaxis que muestra el siguiente uso de estos:

REG CANT

Automáticamente el sistema asigna los UEL de los registros a través de la función **REG** a la memoria "C" a las respectivas tablas. Así, cuando se quiere escribir la función "C", se dice, hasta con programar lo siguiente:

En las instrucciones de la memoria se especifican los siguientes tipos de datos:

Entrada de datos se realiza con el teclado del terminal que se recomienda para las teclas que permiten la ejecución directa de los comandos.

La ejecución puede realizarse en el modo de terminal.

APÉNDICE 4. PROGRAMAS DE CALCULADORA PROGRAMABLES PARA INGENIEROS QUÍMICOS

(Traducción del artículo de John R. Sanger publicado en la revista "Chemical Engineering", Marzo 1980)

TÍTULO

AUTOR

CALL

REFERENCIA

REFINACION DE PETROLEO

Reservorios programables de ingeniería en los circuitos programables. Programación y desarrollo.

Robert P. Hirsch

AP-3787

1979

1. Distilación binaria

2. Flash de multicomponentes

Calculadora flash en corriente con una calculadora programable.

Robert S. Sander

AP-6717

1979

Circuitos de vaporización flash para la refinación de platas faciles.

Robert P. Hirsch

AP-3788

1979

como el vapor fluye V-t. Calculadora programable de vapor fluye V-t.

J. L. Doherty

AP-3789

1979

Programa de calculadora para el vapor fluye V-t.

Stephen J. Pacholski

AP-3790

1979

Puede mejorarse la selección de los programas de calculadoras de vapor

Stephen J. Pacholski

AP-3791

1979

programas de destilación por etapas en la que facilita el diseño.

James V. Nalek

AP-3792

1979

Programa simplificado para destilación de multicomponentes.

John W. Kline

AP-3793

1979

La calculadora facilita cálculos de flujo.

Charles F. Verha

AP-3794

1979

Rápida solución en calculadoras ASYMPTOTIC a los problemas de cálculo de probabilidad.

John R. Sanger

AP-3795

1979

1. Cálculo de la probabilidad de la probabilidad.

John R. Sanger

AP-3796

1979

2. Cálculo de la probabilidad de la probabilidad.

John R. Sanger

AP-3797

1979

3. Cálculo de la probabilidad de la probabilidad.

John R. Sanger

AP-3798

1979

4. Cálculo de la probabilidad de la probabilidad.

John R. Sanger

AP-3799

1979

5. Cálculo de la probabilidad de la probabilidad.

John R. Sanger

AP-3800

1979

6. Cálculo de la probabilidad de la probabilidad.

John R. Sanger

AP-3801

1979

7. Cálculo de la probabilidad de la probabilidad.

John R. Sanger

AP-3802

1979

8. Cálculo de la probabilidad de la probabilidad.

John R. Sanger

AP-3803

1979

9. Cálculo de la probabilidad de la probabilidad.

John R. Sanger

AP-3804

1979

10. Cálculo de la probabilidad de la probabilidad.

John R. Sanger

AP-3805

1979

11. Cálculo de la probabilidad de la probabilidad.

John R. Sanger

AP-3806

1979

12. Cálculo de la probabilidad de la probabilidad.

John R. Sanger

AP-3807

1979

13. Cálculo de la probabilidad de la probabilidad.

John R. Sanger

AP-3808

1979

14. Cálculo de la probabilidad de la probabilidad.

John R. Sanger

AP-3809

1979

15. Cálculo de la probabilidad de la probabilidad.

John R. Sanger

AP-3810

1979

16. Cálculo de la probabilidad de la probabilidad.

John R. Sanger

AP-3811

1979

17. Cálculo de la probabilidad de la probabilidad.

John R. Sanger

AP-3812

1979

18. Cálculo de la probabilidad de la probabilidad.

John R. Sanger

AP-3813

1979

19. Cálculo de la probabilidad de la probabilidad.

John R. Sanger

AP-3814

1979

20. Cálculo de la probabilidad de la probabilidad.

John R. Sanger

AP-3815

1979

tráculos se desplazan alrededor de una tubería. Van H. Tamm HE-67793 201 May 14, 1974, p. 13
Programa de calculadora para encontrar el factor de fricción de petróleo sobre función de temperaturas.

DISENO DE TUBERIAS Y USO

Programa de calculadora para utilizar en la ecuación de extensión de tuberías. Gideon M. Barnes HE-67793 201 May 14, 1974, p. 13
Programa para calculadora de mano para tasa de flujo más frecuentemente usadas: ecuación de Hazen-Williams-Hazen. R.F. Parker HE-67793 201 May 7, 1974, p. 13
Calculadoras programables para gran cálculo de líneas de gas. Estimando efecto de productos en tuberías. G. L. Marlow HE-67793 201 May 7, 1974, p. 13
Problemas de flujos de fluidos en tuberías. D.B. Pritchard HE-67793 201 May 7, 1974, p. 13
Programa de mano para la resistencia de las tuberías. R. E. Fink HE-67793 201 May 7, 1974, p. 13
Ecuación de Hazen-Williams. C. S. King HE-67793 201 May 7, 1974, p. 13
Programa para resolver resistencia de flujo en líneas enterradas. R. E. Ferguson HE-67793 201 May 7, 1974, p. 13
Programa que soluciona la densidad de gas - Entrada y salida. R. E. Ferguson HE-67793 201 May 7, 1974, p. 13
La calculadora puede facilitar el análisis de datos de punto de arrastre en tuberías paralelas. Análisis del golpe de arrastre en líneas rectas. Niles L. Price HE-67793 201 May 7, 1974, p. 13
para C.P. Parte II.

Programa que Calcula cinco variables en un gasolinero. Robert A. Moore 10-6733 11-15-70

Programa de calculadora que usa una ecuación para simular el flujo de gas en líneas de gas. Robert D. Jantz 11-68759 11-20-70, 11-30-70, 12-20-70

ASTRONOMIA

Programa de calculadora que analiza muestras de estrellas. R. L. Hartke 10-6733 11-15-70

Programa que calcula transferencia de calor en paredes compuestas. Calvin P. Brumley 11-68759 11-15-70

Calculando pérdida o ganancia de calor en una tubería cerrada. Frank S. Schaefer 10-6733 11-15-70

Pérdida de calor a través de lamas atípicas. J. G. Clepper 11-68759 11-15-70, 11-20-70, 12-10-70

de vapor.

COBERTURA

Nuevo programa que scruta la población en unidades de bordes. Kirk Remm 10-6733 11-15-70

Nuevo programa para información. Kirk Remm 10-6733 11-15-70

Calcula rápidas probabilidades de éxitos para M. Wayne Shippell 11-68759 11-15-70

fugas.

Calcula para su aplicación en la población de Kirk Remm, probabilidad de éxitos y errores.

SANIDAD, MEDIO AMBIENTE Y SEGURIDAD PÚBLICA

Estimula intervalos para población tipo. Frank L. Kirby 10-6733 11-15-70

Programa de calculadora para estimar el efecto de los intervalos en cálculos anteriores. Frank L. Kirby 10-6733 11-15-70

Previendo cultivos en suelos prioritarios. Paul J. Klemme 10-6733 11-15-70

Seguridad relativa de datos privados. Jim Stoenig 10-6733 11-15-70

Aproximación para medida para existencia de masas móviles de agua.

La C.P. es la proporción proporcional y el práctil los diferenciales entre los caídos.

1. TLV para mezclas-reacciones artificiales

2. TLV para mezclas-reacciones artificiales fuente líquida

3. Exposición de tiempo proporcional ponderado

4. Exposición de tiempo promedio ponderado en una prueba de respuesta

5. Cálculo de tiempos de derrito

6. Calculando la desintegración de radioisótopos.

7. Convertiendo los tiempos de radioisótopos de hora-a-hora en segundos a segundos $\times 10^{-6}$ de grados de sonido ponderado

8. Contaminación y resistencia aislante de la protección del sonido

9. Sumatoria exponencial

10. Cálculo de gráfica P

11. Cálculo de gráfica S

12. Análisis parámetrico

13. Experimentos en laboratorio de trabajo

14. Comprobación de un control integrador si el aviso se mantiene al gabinete de laboratorio.

Estimando los parámetros de transferencia de M. A. Brinkman

Gráfico

1. Número complejo

2. Método de linearización

Análisis parámetrico con C.P.

Bernard M. Lester

Resumen problema transferencia de M. A. Brinkman

Modelo para el flujo de agua de descarga lejana. A. Chacon

para análisis material

W. J. H. Veldman

TUBERIAS

Solucionando problemas de régimen constante C.P. Gilbert F. Bremner 10-66-97

Versatil programa de cálculos para análisis, diseño y diseño de tuberías

Versión IV de Generador de expresiones	Bartoló C. Smith	71-58733	Proposición: Programa; Vol. A4, Capítulo 3, pp. 201-206
Diagrama y diseño de cojinetes soldados de resina. John Stropich	J. Stropich	71-58733	Tutor: Prof. Dr. J. G. S. R. P., 44-83
Efecto de vapor en tuberías de acero.	J. E. Bascom and N.L. Murray	68-47451	
Estimación de gastos de tasa de inflación económica usando L.P.P.	Paul Noblesky	71-58733	4 rep. Prof. Dr. J. G. S. R. P., 44-83
P.C. reduciendo el tiempo en el análisis de tuberías.	M. F. Rosenthal y G. Plautnik	HP-57197	71-58733
Dada de atención a través de edificios.	William Rapaport	60-58733 y 61-58733	Programa: Prof. Dr. J. G. S. R. P., 44-83
Cálculo de presión en tuberías.	Kishan Bagchi	68-57193 y 71-58733	Programa: Prof. Dr. J. G. S. R. P., 44-83
Analiza el rendimiento que obtiene para las H. Brattain y coautores.	H. Brattain	48-58733	71-58733
Normaliza programar para cálculos de polímeros de la base James M. Mayring.	10-58733	71-58733	71-58733
Programa que encuentra cordas de madera e ira Barry L. Ruth.	B. L. Ruth	71-58733	71-58733
Vida de tuberías y tubos.			71-58733
Cálculo asistido que resuelve problemas de fluido en tubos.	F. J. W. Wynn	70-58733	71-58733
Pérdida en caída de fricción en tuberías.	Robert Burney	71-58733	71-58733
Programa que calcula caída de presión para los W. D. H. Hartwell y otros.	W. D. H. Hartwell	71-58733	71-58733
Cálculo de la vibración de la corriente en tubos.	R. Brachury	71-58733	71-58733
Equaciones que calculan el resultado del agua "C. C. tipo parafrest" en el agua.			71-58733
Programa que resuelve ecuaciones para malla en la parte de Mochlin.	71-58733		71-58733

Análisis de estabilidad de rotación por los Alfredo Bautista
CPA

Programa que evalúa el tiempo de rotación y la Paul Mandell
función de rotación múltiples para fluidos y gases.

Resuelve problemas de flujo de líquidos en la Theodore Strobel
CPA

Calculando caídas de presión para las fases M. Myra Shachell T-58/59

Cálculo de fuerzas para ramales de tubería Alfredo Bautista T-58/59

Programa que predice caídas de presión entre J. Luis R. Jimenez T-58/59

flujos de vapor.

Estableciendo relaciones para negarce de líquidos M. Maxine Shachell T-58/59

de condensados.

ENERGÍA

Estimando costos de cincuenta de generación nuclear usando una CPA

Usando una CPA para estimar precios energéticos

Estimando el valor de los costos de generación J. Luis R. Jimenez T-58/59

de una CPA.

OPERACIONES Y MANTENIMIENTO

Detectando colisiones en fuentes parciales W. Alan Smith T-58/59

Programa que calcula colisiones en componentes W. Alan Smith T-58/59

y establecer límites

Una mejor manera para detectar interferencias J. Franklin and G. L. Hinde T-58/59

ECONOMIA FINANZAS

Máximo combustible es el horizonte de análisis.

Desarrollando análisis de costos, obtener para diferentes alternativas de desarrollo terrestres.

Ahorro de agua en líneas de transmisión de hidroeléctrica.

Economía del caleamiento de agua de alimentación a un calentador.

Calculando eficiencia y rendimiento del factor trabajo.

PI de t, qué esclafar el análisis financiero de proyectos.

Programa de C.I.P. para fórmulas trivariadas, usando proyección de descuento de flujo en base con escalación de precios y costos.

Conversión trivariadas históricas, S. Jayaraman estadísticas, el método organizado de trabajo es más fácil.

Programa para calcular las posiciones de efectivo. El Dr. R. Rao.

Programa de cálculo para que encuentre los precios y la tasa de retorno del efectivo de inversión.

Programa de cálculo para que encuentre los precios y la tasa de retorno del efectivo de inversión de precios de precios.

INSTRUMENTACION Y CONTROL DE PROCESOS

Programa para calcular el tubo de orificios para William H. Mink. TI-5500. Peso. Volumen. Densidad. Resistencia de gas.

Programa de la TI-55 para la realización de tablas de Franklin. TI-5500. Densidad. Fuerza. Volumen. Temperatura.

Cálculo de flujo de gas de edificio para Charles Emily Freeman. TI-5500.

Programa que establece el tamaño del distrito en Punto Franklin. TI-5500. La postura superior de los planos.

Programa que calcula presión de fluido sobre un filo de viento. TI-5500. Dados de orificio.

Cálculos automáticos de establecimiento hidráulico. TI-5500. Volumen. Densidad. Resistencia de gas.

INGENIERIA DE EQUIPO

Programa de cálculo que resuelve el problema de eficiencia de cigarras. TI-5500. Dados de precio.

Entresacar perfil de una valija de computadora. TI-5500.

Programa de cálculo para diseño de trampas. TI-5500. Volumen. Altura. Dados de diseño de trampas.

P.C. que facilita el diseño de partes de tercielos. William H. Mink. TI-5500.

Programa que presenta flujos de gases. William H. Mink. TI-5500. Dados de velocidad de flujo directo.

Cálculo rápido del peso. William H. Mink. TI-5500. Dados de peso.

Cálculos para analizar el funcionamiento de una bomba. TI-5500. Dados de temperatura.

Cálculo de la razón de evaporación entre agua y aceite. William H. Mink. TI-5500.

Catálogo de Corrección

Programa de procesos de absorción en canales

Henry K. S. Tan 16-47737

Diagrama de torres espaciadas

Programas de calculadoras que facilitan el

calculo de curvas de rendimiento

Calculando la distribución de áreas para

horas para asesores de líquidos

Calculando la fórmula de corrección

Calculos para canales de expansión

Calculos para desarrollo de recuperación

Diagrama para condensadores de vapor

Diagrama para C.R. para resolver problemas de

la ley de los

Una nueva curva de rendimiento en tuberías

blíster de calor ya editada

Requerimientos de poter para las instalaciones

en función de la velocidad

Calculando el LHS corregida en tubos de

blísteres en tubo y corriente

Programa que calcula la eficiencia térmica

Curvas y recuperabilidad de máscaras

Diagrama para recuperación de máscaras de máscara

para máscaras

Programa que calcula temperaturas de

refrigeración en máscaras

Capítulo IV Xerxes

Henry K. S. Tan 16-47737

Diagrama de torres espaciadas

Programas de calculadoras que facilitan el

calculo de curvas de rendimiento

Calculando la distribución de áreas para

horas para asesores de líquidos

Calculando la fórmula de corrección

Calculos para canales de expansión

Calculos para desarrollo de recuperación

Diagrama para condensadores de vapor

Diagrama para C.R. para resolver problemas de

la ley de los

Una nueva curva de rendimiento en tuberías

blíster de calor ya editada

Requerimientos de poter para las instalaciones

en función de la velocidad

Calculando el LHS corregida en tubos de

blísteres en tubo y corriente

Programa que calcula la eficiencia térmica

Curvas y recuperabilidad de máscaras

Diagrama para recuperación de máscaras de máscara

para máscaras

Programa que calcula temperaturas de

refrigeración en máscaras

Capítulo V Xerxes

Henry K. S. Tan 16-47737

Diagrama de torres espaciadas

Programas de calculadoras que facilitan el

calculo de curvas de rendimiento

Calculando la distribución de áreas para

horas para asesores de líquidos

Calculando la fórmula de corrección

Calculos para canales de expansión

Calculos para desarrollo de recuperación

Diagrama para condensadores de vapor

Diagrama para C.R. para resolver problemas de

la ley de los

Una nueva curva de rendimiento en tuberías

blíster de calor ya editada

Requerimientos de poter para las instalaciones

en función de la velocidad

Calculando el LHS corregida en tubos de

blísteres en tubo y corriente

Programa que calcula la eficiencia térmica

Curvas y recuperabilidad de máscaras

Diagrama para recuperación de máscaras de máscara

para máscaras

Programa que calcula temperaturas de

refrigeración en máscaras

101

Resolviendo circuitos de redes variables de
trama durante el ciclo de procesos SABT

Mauricio Morel

PROBLEMAS FÍSICOS/TEÓRICOS

Cálculo de vaporizadores con una C.P.

Resuelto Exemplar 46-1777

Tasa negra para corrientes de pulso

A. M. Molina

Calculando número de efectos doble

J. J. Gómez

Cálculo de temperatura e intensidad de disper-

S. Ingemarsson

sación para vapor saturado

J. J. Gómez

Propiedades termodinámicas de gases y hielo

J. J. Gómez

Predicción de volúmenes para líquidos p-23

J. J. Gómez

Precisión en termosísis

B. R. Bratt

Gravedad redonda para una certeza del 99%

J. J. Gómez

Útiles

J. J. Gómez

Cálculo del número de efectos

J. J. Gómez

Análisis de caída del caudal permanente

J. J. Gómez

rango durante operación de óxido 1980

J. J. Gómez

Predicción de volúmenes de mezcla de hidrógeno

J. J. Gómez

natural

J. J. Gómez

Calculadora de reacciones

J. E. Barnett

Prenda los volúmenes de los gases

J. J. Gómez

Estimando los puntos de ebullición de los hidrocarburos

J. J. Gómez

separados

J. J. Gómez

- Propiedades desconocidas en reacciones de hidrógeno. Tr. Mr. Mentus. T-25333
- Predicción de propiedades de hidrógeno y oxígeno. James H. Weber. T-16375
Analista de calor en punto particular. P. J. Staggs Jr. T-25334
- Reacción de calor en punto particular. James H. Weber. T-25335
- Estudio flash (gas). S. J. Denehy. T-25336
- Comisión de licencia por la Escuela de Física. Philip Morris. T-25337
- Recopilación de calor en intercambiadores a contracorriente. J. M. White. T-25338
- Variación porcentual. J. D. McRae.
- Valores "estándares" y tablas de conversiones para valores de "rectificante". Alice Marion Stevens. T-25339
- Predicción presiones de vapor vs. densidad. James H. Weber. T-25340
- Propiedades del cloro metano. Parte I. S. J. Denehy. T-25341
- Efectos de las sales de cloruro de aluminio. John W. Glass. T-25342
- Propiedades del azufre hidratado. John W. Johnson. T-25343
- Sistematización del presente de operaciones. George E. Johnson. T-25344
- Prácticas en la obtención de vapor en la atmósfera. J. H. Weber. T-25345
- B.I. Resaltar estructuras de gas. William G. Smith. T-25346

Salidas, ecuaciones para variaciones en estadio	J. M. Moller	11-3879
Propiedades termodinámicas en las órbitas celestes 19. Ríos J., Marquardt, W.H., Kestner, D.E., pp. 230-239		11-3918
Liberación de óxido de nitrógeno en la atmósfera terrestre	R. H. Stolarski	11-3879
Computadora orientada		11-3879
Cantidad de material propagador en el sistema de líquidos de combustible	J. Moller	11-3879
Propiedades físicas del gas hidrógeno en el sistema de combustible	J. Moller	11-3879
Propiedades... Una corrección	W. H. Olm	11-3879
Periodo creciente, propiedades de combustible	J. M. Moller	11-3879
Balance de fibra de fibra	R. H. Stolarski	11-3879
Balance de densidad de fibra en sangre y en una fibra	R. H. Stolarski	11-3879
Calculando propiedades de agente anti-adiabáticas	R. H. Stolarski	11-3879
Balance del material entre la atmósfera terrestre	R. H. Stolarski	11-3879
Propiedades termodinámicas para gases, plasmas y mezclas binarias	R. H. Stolarski	11-3879
Programa que calcula propiedades termodinámicas de gases	R. H. Stolarski	11-3879
Viscosidad de Brookfield	R. H. Stolarski	11-3879
Densidad y viscosidad de carbón	J. M. Moller	11-3879
Propiedades termodinámicas básicas para gases y mezclas	J. M. Moller	11-3879

Programa que predice resultados de procesos termodinámicos. Jacob Eiblitz TI-5838 PI-76

Sistema en fase sólida. V.I. Ansel'm TI-5754 Hydrogenation Processes, 2nd Ed., 1957, pp. 113-114

Diagrama de retención de tintas. J.M. Bach TI-5823 Proprietary, Vol. 1, Part 1, pp. 172-173

Programa para conductividades térmicas de mezclas de gases y líquidos. James H. Miller TI-5818

Programa que recupera la ecuación de Diederichsen. J.M. Bach TI-5737 Hydrogenation Processes, 2nd Ed., pp. 113-114

Programa corto para destilación de polímeros. Mark Taylor TI-5850 Chem. Eng., Vol. 30, No. 12, 1957, p. 52

Programa para conductividades térmicas entre sólido y líquido. James H. Miller TI-5839 Rev. Per. Pol. Ed. Engl. 1, 1951, p. 13

Programa que facilita las ecuaciones de gases y líquidos empacados. Arthur D. Little HI-5742 Chem. Eng. Vol. 30, No. 12, 1957, p. 12-13

Programa para cálculo de compresión en gases. Harold J.P. Rogers TI-5833 Chem. Eng. Revs. Vol. 30, No. 12, 1957, p. 12-13

Cálculo de viscosidad por viscometría. G. Stumpf TI-5838 Hydrocarbons, Vol. 1, 1951, p. 11-12

Recalibración basadas en apuntes bibliográficos. Robert H. Miller HI-5757 Rev. Per. Pol. Ed. Engl. 1, 1951, p. 13

Cálculo de los factores de parámetros en líquidos en su calentamiento. J.H. Miller HI-5745 Rev. Per. Pol. Ed. Engl. 1, 1951, p. 13

Programa que recupera balances de energía en sistemas de corrientes de aire. Harold H. Miller TI-5837 Rev. Per. Pol. Ed. Engl. 1, 1951, p. 13

R.C. que simplifica relación de datos para cálculo de gases. Walter Karrer TI-5839 Rev. Per. Pol. Ed. Engl. 1, 1951, p. 13

Programa variables no condicionales de gases. James H. Miller TI-5838 Rev. Per. Pol. Ed. Engl. 1, 1951, p. 13

Programa para coexistencia de difusión en sólido y líquido. James H. Miller TI-5837 Proprietary, Vol. 1, Part 1, pp. 172-173

1) Programas para el cálculo de resistencias de tubos por la aproximación Williams y Hulin-Sobestier-Giddings y la corrección de los coeficientes.

2) Programas para cálculo de coeficientes de fusión para elegir condiciones sustanciales para:

Tuberías de presión de vapor saturado para las siguientes:

Programa que realiza cálculos de seguimiento de presión vapor líquor

CONTROL DE LA CORROSIÓN

Computadora precisa supervisión de tuberías.

-E. P. en actividades relacionadas con las causas de corrosión (líneas de tuberías de alta presión).

Determinación de la presión segura de operación para una tubería de gas sometida a alta presión.

-Desarrollo de dimensiones máximas de diámetro que permiten el uso de MDP sujetos a una tubería.

-Cálculo de la intercepción del revestimiento de protección catódica.

-Cálculos y almacenamiento de resultados de intercepción de la red de trabajo.

-Comentarios sobre las propiedades y las pruebas de la RP-SAC.

-Cálculos determinados para la revisión técnica de concreto en superficies.

VIBRACIONES

Cálculo de presión y tracción de vibraciones.

Brinell K. Nutter 10-67/91 Boston, Massachusetts, USA, 178, April 1973

Richard L. Soffelt 07-67/91 Boston, Massachusetts, USA, 178, April 1973

Richard L. Soffelt 07-67/91 Boston, Massachusetts, USA, 178, April 1973

Richard L. Soffelt 07-67/91 Boston, Massachusetts, USA, 178, April 1973

Richard L. Soffelt 07-67/91 Boston, Massachusetts, USA, 178, April 1973

Richard L. Soffelt 07-67/91 Boston, Massachusetts, USA, 178, April 1973

Richard L. Soffelt 07-67/91 Boston, Massachusetts, USA, 178, April 1973

Richard L. Soffelt 07-67/91 Boston, Massachusetts, USA, 178, April 1973

Richard L. Soffelt 07-67/91 Boston, Massachusetts, USA, 178, April 1973

Richard L. Soffelt 07-67/91 Boston, Massachusetts, USA, 178, April 1973

Richard L. Soffelt 07-67/91 Boston, Massachusetts, USA, 178, April 1973

Richard L. Soffelt 07-67/91 Boston, Massachusetts, USA, 178, April 1973

Richard L. Soffelt 07-67/91 Boston, Massachusetts, USA, 178, April 1973

Richard L. Soffelt 07-67/91 Boston, Massachusetts, USA, 178, April 1973

Richard L. Soffelt 07-67/91 Boston, Massachusetts, USA, 178, April 1973

Richard L. Soffelt 07-67/91 Boston, Massachusetts, USA, 178, April 1973

Richard L. Soffelt 07-67/91 Boston, Massachusetts, USA, 178, April 1973

Richard L. Soffelt 07-67/91 Boston, Massachusetts, USA, 178, April 1973

Richard L. Soffelt 07-67/91 Boston, Massachusetts, USA, 178, April 1973

Richard L. Soffelt 07-67/91 Boston, Massachusetts, USA, 178, April 1973

Richard L. Soffelt 07-67/91 Boston, Massachusetts, USA, 178, April 1973

Richard L. Soffelt 07-67/91 Boston, Massachusetts, USA, 178, April 1973

Programa que establece el límite para una
varia de control para líquidos

José F. Montes - HE-67/07

APLICACIONES ESTADÍSTICAS

Práctico de cálculo estadístico de los sucesos
de una C.P.R.

Fogónamiento ... Corrección J. M. Martínez - HE-67/07

Programa de cálculo para correlación de
dados Multif. Parte I

Programa de cálculo para prever la
mitad de líneas Multif. Parte II

Correlación cuando una variable dependiente
seas variables independientes

Parte III

Práctico de cálculo para un problema
de tres Variables-Parte IV

Práctico de cálculo para un problema de
seguir bandas - William Smith
parte V

Correlacionando la presión experimental - José A. Jiménez - HE-67/07
parte VI

Programa que correlaciona datos

P.C. para presentar datos en forma
nómica

Análisis del método Varianas directo P.C. - Angel L. Martínez - HE-67/07
parte VII para los 3, 4, 5 y 6
HE-67/07 genera una muestra para
el análisis

Calculo estadístico de un número

Datos relativos y proporciones

Ajustados surgen con la 5-12

J. M. Martínez - HE-67/07

Intervales de confianza para medias muestrales. Harry A. Lewis, Jr., 1973, pp. 1-10. Programa TI-59 para calcular el intervalo de confianza de la media.

Programa TI-59 para calcular el error estándar de los líneales. Robert C. Atwell, Jr., 1973, pp. 1-10.

MATEMÁTICAS

Matriz de cálculos para la matriz inversa. Harry F. Deist, Jr., 1973, pp. 1-10.

Programa TI-59 para calcular implicaciones en el dominio del tiempo. Harry F. Deist, Jr., 1973, pp. 1-10.

El factor de la C.P. HP-59, Parte I. Robert C. Atwell, Jr., Servicio de la C.P. HP-59, pp. 1-10.

El factor de la C.P. HP-59, Parte II: nuevo y más breve procedimiento. Programa de la C.P. HP-59.

TI-59 resuelve ecuaciones ordinarias por trámite. Harry Willis, Jr., 1973, pp. 1-10.

Autocalificación extensiva con la TI-59. William P. Hammon, Jr., 1973, pp. 1-10.

Resolución de sistemas optimizadores con la TI-59, Parte I. Harry Willis, Jr., 1973, pp. 1-10.

Resolución de sistemas optimizadores con la TI-59, Parte II. Harry Willis, Jr., 1973, pp. 1-10.

TI-59 resuelve ecuaciones diferenciales ordinarias. Harry Willis, Jr., 1973, pp. 1-10.

Resolución de ecuaciones diferenciales. Harry Willis, Jr., 1973, pp. 1-10.

Correlación de punto para enteros en E.P.P. Harry Willis, Jr., 1973, pp. 1-10.

Resolución de ecuaciones (II). Robert B. Jackson, Jr., 1973, pp. 1-10.

Resolución de ecuaciones (III). Robert B. Jackson, Jr., 1973, pp. 1-10.

Resolución de ecuaciones (IV). Robert B. Jackson, Jr., 1973, pp. 1-10.

Resolución de ecuaciones (V). Robert B. Jackson, Jr., 1973, pp. 1-10.

Resolución de ecuaciones (VI). Robert B. Jackson, Jr., 1973, pp. 1-10.

Resolución de ecuaciones (VII). Robert B. Jackson, Jr., 1973, pp. 1-10.

Resolución de ecuaciones (VIII). Robert B. Jackson, Jr., 1973, pp. 1-10.

Resolución de ecuaciones (IX). Robert B. Jackson, Jr., 1973, pp. 1-10.

Resolución de ecuaciones (X). Robert B. Jackson, Jr., 1973, pp. 1-10.

Resolución de ecuaciones (XI). Robert B. Jackson, Jr., 1973, pp. 1-10.

Resolución de ecuaciones (XII). Robert B. Jackson, Jr., 1973, pp. 1-10.

Resolución de ecuaciones (XIII). Robert B. Jackson, Jr., 1973, pp. 1-10.

Resolución de ecuaciones (XIV). Robert B. Jackson, Jr., 1973, pp. 1-10.

Resolución de ecuaciones (XV). Robert B. Jackson, Jr., 1973, pp. 1-10.

Resolución de ecuaciones (XVI). Robert B. Jackson, Jr., 1973, pp. 1-10.

Uso de intervalo de confianza para "Mickey MC" un análisis de duración de tiempo

Programa que resuelve para veces utilizadas Donald W. Lissner TI-59

Sistema en palacio ingenieros para la TI-59 una
política definitiva complicada

Diagonalización de matrices con la C.P.

Metodo de los mínimos cuadrados para la estimación

Factorización de polinomios con pasos de los B. Nuevos
ciclos completas configuradas por el número de

Basistey

QUÍMICA CLÍNICA Y LABORATORIA

Evaluación de calcoladora por estímulos químicos Diferenciales
das para la constante de actividad de metales

claves de primer orden

Evaluación de calcoladora para análisis químicos Diferenciales
das de 6 para reacciones de seguimiento

Evaluación de calcoladora por estímulos químicos del X-100 para configuraciones
per orden

Instrumentos de análisis químicos para la c-
uardia de Arsenito usando C.P.

Algoritmos de evaluación clínica para inferir
que el X de Arsenito = E. A. AH + 45 y
para interpolación trúnica para el cálculo de
velocidad

Programa para procesar datos de actividad Marcello Puccini
con una C.P.

Análisis de datos de actividad eléctrica F. Gómez-García TI-59
tita con una C.P.

Evaluación de procedimientos estandarizados K. M. Follett
siglo XXI una C.P.

Un sistema de identificación de líquenes
sencillo y portátil para los fascinados

A. Bryant Miller & Robert A. Scott

NP-37/97 Sept. 1987, 52 pp.

Programa para una calculadora de costo
de bajo costo aplicado a la evaluación

Bernhard Schwirz & Wolfgang Fischer

NP-37/97 Sept. 1987, 31 pp.

Programa para un análisis arqueológico basado en la

proporción de isotópicos

NP-37/97 Sept. 1987, 31 pp.

Dos programas sencillos para el análisis de
cierre de fosfatos de óxido en el análisis

arqueológico (GLISA) para una C.P.P.

NP-37/97 Sept. 1987, 31 pp.

Programa para el procesamiento de datos
en línea para un experimento de cierre de

proporción de isotópicos

NP-37/97 Sept. 1987, 31 pp.

Un algoritmo para el análisis de la muestra
de pruebas TGA

J. P. House Jr. & J. W. Johnson

NP-37/97 Sept. 1987, 31 pp.

Programas para otras calculadoras

Georgina Hallas & Michael H. Hartnett

NP-37/97 Sept. 1987, 31 pp.

SALUD, MEDIO AMBIENTE Y SALUD PÚBLICA

William Wheeler

NP-37/97 Sept. 1987, 31 pp.

Calculadora sencilla en análisis de
tuberías

William Wheeler

NP-37/97 Sept. 1987, 31 pp.

Programando rápidamente en calculadoras de
oficinas (fórmulas de hipoteniaturas)

William Wheeler

NP-37/97 Sept. 1987, 31 pp.

Reflexión profunda en desarrollo de usuarios
nueva calculadora

William Wheeler

NP-37/97 Sept. 1987, 31 pp.

Analizador de disertación de grano "Birch"

William Wheeler

NP-37/97 Sept. 1987, 31 pp.

Por favor no reprogramar la función normal
millones

Michael H. Hartnett

NP-37/97 Sept. 1987, 31 pp.

Calculadora sencilla para calcular adiciones
con una C.P.P.

William Wheeler

NP-37/97 Sept. 1987, 31 pp.

Un sistema para calcular el volumen
de tanques rectangulares y trapezoidales

William Wheeler

NP-37/97 Sept. 1987, 31 pp.

Un sistema para calcular el volumen
de tanques circulares

William Wheeler

NP-37/97 Sept. 1987, 31 pp.

Un sistema para calcular el volumen
de tanques cilíndricos

William Wheeler

NP-37/97 Sept. 1987, 31 pp.

Un sistema para calcular el volumen
de tanques cilíndricos

William Wheeler

NP-37/97 Sept. 1987, 31 pp.

Un sistema para calcular el volumen
de tanques cilíndricos

William Wheeler

NP-37/97 Sept. 1987, 31 pp.

Un sistema para calcular el volumen
de tanques cilíndricos

William Wheeler

NP-37/97 Sept. 1987, 31 pp.

Un sistema para calcular el volumen
de tanques cilíndricos

William Wheeler

NP-37/97 Sept. 1987, 31 pp.

Un sistema para calcular el volumen
de tanques cilíndricos

William Wheeler

NP-37/97 Sept. 1987, 31 pp.

Un sistema para calcular el volumen
de tanques cilíndricos

William Wheeler

NP-37/97 Sept. 1987, 31 pp.

Un sistema para calcular el volumen
de tanques cilíndricos

William Wheeler

NP-37/97 Sept. 1987, 31 pp.

Un sistema para calcular el volumen
de tanques cilíndricos

William Wheeler

NP-37/97 Sept. 1987, 31 pp.

Un sistema para calcular el volumen
de tanques cilíndricos

William Wheeler

NP-37/97 Sept. 1987, 31 pp.

Un sistema para calcular el volumen
de tanques cilíndricos

William Wheeler

NP-37/97 Sept. 1987, 31 pp.

Un sistema para calcular el volumen
de tanques cilíndricos

William Wheeler

NP-37/97 Sept. 1987, 31 pp.

Un sistema para calcular el volumen
de tanques cilíndricos

William Wheeler

NP-37/97 Sept. 1987, 31 pp.

Un sistema para calcular el volumen
de tanques cilíndricos

William Wheeler

NP-37/97 Sept. 1987, 31 pp.

Un sistema para calcular el volumen
de tanques cilíndricos

William Wheeler

NP-37/97 Sept. 1987, 31 pp.

Un sistema para calcular el volumen
de tanques cilíndricos

William Wheeler

NP-37/97 Sept. 1987, 31 pp.

Un sistema para calcular el volumen
de tanques cilíndricos

William Wheeler

NP-37/97 Sept. 1987, 31 pp.

Un sistema para calcular el volumen
de tanques cilíndricos

William Wheeler

NP-37/97 Sept. 1987, 31 pp.

Un sistema para calcular el volumen
de tanques cilíndricos

William Wheeler

NP-37/97 Sept. 1987, 31 pp.

Un sistema para calcular el volumen
de tanques cilíndricos

William Wheeler

NP-37/97 Sept. 1987, 31 pp.

Un sistema para calcular el volumen
de tanques cilíndricos

William Wheeler

NP-37/97 Sept. 1987, 31 pp.

Un sistema para calcular el volumen
de tanques cilíndricos

William Wheeler

NP-37/97 Sept. 1987, 31 pp.

Un sistema para calcular el volumen
de tanques cilíndricos

William Wheeler

NP-37/97 Sept. 1987, 31 pp.

Un sistema para calcular el volumen
de tanques cilíndricos

William Wheeler

NP-37/97 Sept. 1987, 31 pp.

Un sistema para calcular el volumen
de tanques cilíndricos

William Wheeler

NP-37/97 Sept. 1987, 31 pp.

Un sistema para calcular el volumen
de tanques cilíndricos

William Wheeler

NP-37/97 Sept. 1987, 31 pp.

Programas para el diseño de drenaje Edward C. Metz 58-32 Water Resources Bull., Vol. 16, No. 1, Jan. 1980, pp. 27-32
Método de procedimientos de datos fáciles. Xiang Dong 58-33 Water Resources Bull., Vol. 16, No. 1, Jan. 1980, pp. 33-37
en el análisis de calidad de drenaje.

Resuelva la fórmula Francis Metz F. Taitum 58-34 Water Resources Bull., Vol. 16, No. 1, Jan. 1980, pp. 33-37

Perfiles de flujo en canales transversales R. J. V. Miller 58-35 Water Resources Bull., Vol. 16, No. 1, Jan. 1980, pp. 33-37

Diseño de flote en canales abiertos Michael Molley 58-36 Water Resources Bull., Vol. 16, No. 1, Jan. 1980, pp. 33-37

La ecuación de Manning revisada Guillermo J. Mato 58-37 Water Resources Bull., Vol. 16, No. 1, Jan. 1980, pp. 33-37

P.C.P. para localización del punto crítico en un sistema de alcantarillado Wayne Watanabe 58-38 Water Resources Bull., Vol. 16, No. 1, Jan. 1980, pp. 33-37

Problemas típicos de turbulencia en tubos Francisco J. Martínez para calcular parámetros de cogidas y arrastres 58-39 Water Resources Bull., Vol. 16, No. 1, Jan. 1980, pp. 33-37

Programas para el diseño de tuberías Franklin Nield 58-40 Water Resources Bull., Vol. 16, No. 1, Jan. 1980, pp. 33-37

1. Diseño de tuberías de drenaje
2. Análisis de drenaje subterráneo
3. Diseño de drenajes cubiertos
4. Diseño de canales abiertos y cierre de datos
5. Diseño de caudal estacionario
6. Análisis de redes de tuberías
7. Flujos pelotizado de drenajes

Programa de establecimiento facilita el manejo de agua R. D. Jennings 58-41 Water Resources Bull., Vol. 16, No. 1, Jan. 1980, pp. 33-37

Programa para corriente Alberto Aguirre 58-42 Water Resources Bull., Vol. 16, No. 1, Jan. 1980, pp. 33-37

P.C.P. para análisis de red de drenaje Francisco J. Martínez para el manejo de drenaje agrícola 58-43 Water Resources Bull., Vol. 16, No. 1, Jan. 1980, pp. 33-37
usando la localización de los nodos de la ecuación de Thorleifsson

APLICACIONES ESTADISTICAS

El año experimento en la UNIZO (Universidad de Zaragoza) un taller y administracion de recursos.

Programa de desviación estandar zettling de los recursos Richard Nelson. 4P-23. Zaragoza, 1970. 12 p. 12 x 18 cm.

Determinando la signif. frenica de una P. con 5000 observaciones usando una C.P. William R. Mendenhall. 4P-25. Zaragoza, 1970. 12 p. 12 x 18 cm.

Utilizando una calculadora programada Michael J. Hirschman. 4P-26. Zaragoza, 1970. 12 p. 12 x 18 cm.

Analisis de votos por computadora en una calculadora de mano. Ewald Ingram. 4P-27. Zaragoza, 1970. 12 p. 12 x 18 cm.

Analizando modelos de votos Michael J. Hirschman. 4P-28. Zaragoza, 1970. 12 p. 12 x 18 cm.

Programa de análisis de distribución para una calculadora SP-56 T. McKean. 4P-29. Zaragoza, 1970. 12 p. 12 x 18 cm.

Rapido y eficiente algoritmo de Welch Howell M. Cleary. 4P-30. Zaragoza, 1970. 12 p. 12 x 18 cm.

P.C.P. para el cálculo de funciones superadas de datos con precisión variable. A. Prent. 4P-31. Zaragoza, 1970. 12 p. 12 x 18 cm.

P.C.P. Estadística "V" de Welch Warren M. Young. 4P-32. Zaragoza, 1970. 12 p. 12 x 18 cm.

Diagramas de vida. George A. Vitenski. 4P-33. Zaragoza, 1970. 12 p. 12 x 18 cm.

Analisis de propuestas en su politica. Joseph R. Schmid. 4P-34. Zaragoza, 1970. 12 p. 12 x 18 cm.

MATEMATICAS

Análisis y sintesis de Fourier con una calculadora de digital. Rudolf Jo Schmidt. 4P-35. Zaragoza, 1970. 12 p. 12 x 18 cm.

Programar en la SP-56 para un jarrón de la Universidad de Zaragoza un algoritmo de cálculo de la integral definida.

Rápido algoritmo que transforma números de decimal a binario. Allen L. House. 4P-36. Zaragoza, 1970. 12 p. 12 x 18 cm.

Programando una calculadora para calcular funciones trigonométricas. Norio K. Minabe. 4P-37. Zaragoza, 12 p. 12 x 18 cm.

Programa que calcula el efecto de variaciones en
SR-52 para las ecuaciones de rutas de traba.
Se agrega la posibilidad de calcular el determinante cuando
se agrega el determinante constante.
Programa de la SR-52 simplifica la conversión de una
fracción a decimal.

de segundo grado

Solución alternativa en unidades inglesas.

La SR-52 da la ejecución directa de la
programa correspondiente a la regla de Simpson o
de Cotes en un C.P. de menor
tamaño de memoria que la regla de
Grange para la SR-52.

Calculando los errores de los cálculos.

Programa de la HP-42 para soluciones numéricas de
ecuaciones diferenciales de primer orden.

Análisis de frecuencias para una T.R.

Números primos entre HP-10C.

PROPIEDADES QUÍMICO/FÍSICAS

Cálculos de disponibilidad de fluyos entre una
salida y una entrada.

Cálculos de disponibilidad de formación.

Un programa para fluidos compresibles.

Álculos de disponibilidad fluyos con una entrada
estática de vapor.

Cálculo de concentración de gas y vapor en
el agua de una caldera, una programable.

F.J. Phillips 40-53
Chris McNease 35-52
Electronics, 1971, 15, 10, 122, p. 123.
SR-52 Electrónica 1971, 15, 10, 122, p. 123.

Mark J. Murphy 40-51
Electronics, 1971, 15, 10, 122, p. 123.
S. V. Vaidya 40-52
Electronics, 1971, 15, 10, 122, p. 123.
S. Vaidya 40-52
Electronics, 1971, 15, 10, 122, p. 123.

Alberto Gómez 40-53
Electronics, 1971, 15, 10, 122, p. 123.

J. Audrea Tolosa 40-54
Electronics, 1971, 15, 10, 122, p. 123.

Alberto Gómez 40-54
Electronics, 1971, 15, 10, 122, p. 123.

Alberto Gómez 40-55
Electronics, 1971, 15, 10, 122, p. 123.

Alberto Gómez 40-56
Electronics, 1971, 15, 10, 122, p. 123.

Joseph P. Kotick 40-57
Electronics, 1971, 15, 10, 122, p. 123.

Joseph P. Kotick 40-58
Electronics, 1971, 15, 10, 122, p. 123.

Joseph P. Kotick 40-59
Electronics, 1971, 15, 10, 122, p. 123.

Joseph P. Kotick 40-60
Electronics, 1971, 15, 10, 122, p. 123.

Joseph P. Kotick 40-61
Electronics, 1971, 15, 10, 122, p. 123.

Determinación de las óptimas en una planta de gas
de hidrógeno. J. M. Sánchez, H.P.-23, 1971.

Más de vaporización y condensación. J. M. Sánchez, H.P.-23, 1971.

Óptimo de la función I para una calificación de R. Im. H.P.-23, 1971.

Bisalito. J. M. Sánchez, H.P.-23, 1971.

Calor de vaporización del agua. J. M. Sánchez, H.P.-23, 1971.

Calculadora HP-65. J. M. Sánchez, H.P.-23, 1971.

Otra cantidad de material instigada en el inicio de licor de grano. J. M. Sánchez, H.P.-23, 1971.

GOBIERNO

Determine las curvas para la cabecera de los sig. sistemas con una C.P. J. M. Sánchez, H.P.-23, 1971.

INGENIERÍA DE EQUIPO

Maximizando economía en un evaporador por efecto múltiple. J. M. Sánchez, H.P.-23, 1971.

Gradiente del ahorro de interés de un banco de capital con sumas sucesivas. J. M. Sánchez, H.P.-23, 1971.

Capas Programadas intercaladas de calor. Mejora al programa anterior. J. M. Sánchez, H.P.-23, 1971.

Más sobre el cálculo de factores y para dimensiones. J. M. Sánchez, H.P.-23, 1971.

Resistencia al calor y resistencia térmica entre flujo paralelo y adaptación. J. M. Sánchez, H.P.-23, 1971.

QUÍMICA CLÍNICA Y DE LABORATORIO

Cálculo molecular para el rosmarino en agua. J. M. Sánchez, H.P.-23, 1971.

La composición elemental vegetal. J. M. Sánchez, H.P.-23, 1971.

Caracterización de agua. J. M. Sánchez, H.P.-23, 1971.

Medidas sencillas para el cálculo de fósforo. J. M. Sánchez, H.P.-23, 1971.

Medida de equilibrio en una reacción sencilla en medios de granjeo de cargas iguales. J. M. Sánchez, H.P.-23, 1971.

1. Un cuadrante de velocidad-escalas

2. Un cuadrante de dirección-escalas

Uso de P.C.P. en el programamiento de circuito del Sist. H. Buchanan MP-35 análisis de amplitudidad

Calculo riguroso y rápido de la función de - Peter M. Rosen L. MP-35 de S.C. G., S.L. N. de E. 1960. Grado general de modulación en una calculadora Univas I. Mitch de bolígrafo

Comprobaciones rítmicas y digitales en una calculadora A.I. Mitch de bolígrafo

El uso de P.C.P. para el cálculo del inversor - H.W. Winkler del R.E.R. München, Ale. 1960. D. 1960. Cálculo de gama

MANTENIMIENTO Y OPERACIÓN

Inventario optimizado para una S.P. - W.H. Hartkopf, Berlín 1960. Téc. 1960. MP-35. Algunos datos sobre una nueva de operación - W.H. Hartkopf, Berlín 1960. Téc. 1960. MP-35. Versión una C.P.

Programación de MP-35 para controladores de sat. - J. Borek. MP-35. 1960. Téc. 1960. Problema de realización

MANUFACTURA

Control de eficiencia de unión por los de la Oficina Hartkopf L. MP-35. Téc. 1960. MP-35. Razón de dosel-señal

C.P. significan el balanceo de campo rotatorio - W.H. Hartkopf, Berlín 1960. Téc. 1960. MP-35. Téc. 1960

Importante advertencias de robótica - H.W. Winkler del R.E.R. München, Ale. 1960. D. 1960. Cálculo de gama

Control de retroalimentación de batería - W.H. Hartkopf, MP-35. 1960. Téc. 1960. MP-35. Téc. 1960

TUBERIAS

Para que resuelva problemas de límite de flujo de fluido - F. Capillo. 1960. Téc. 1960. MP-35. Téc. 1960

Usando la P.C.P. para problemas de flujo de fluido - S.L. Hartkopf. 1960. Téc. 1960. MP-35. Téc. 1960

Analizando flujo de fluido con una P.C.P. - D.G. G. M. Aronowitz. 1960. Téc. 1960. MP-35. Téc. 1960

Movido la Ti-SF para calcular el factor de número de Froude. 71-77

Friction

Para una emulsión a flujo de área efectiva. Uri Goldberg MP-13772

Se suele encontrar caída de presión en función de presión y longitud de tubo.

Las imágenes del flujo se ven en la parte de abajo.

INSTRUMENTACION Y CONTROL DE PROCESOS

Resuelto: círculos de tamaño de válvulas en función de la altura en minutos.

1. Círculo de tamaño-pas. (scfh)

2. Círculo de nivel de sumido-válvulas B2

standar (P1002 3,6)

Da de una C.P. para determinar las dimensiones de la válvula.

Dimensiones de la válvula en función de la altura en minutos.

Resolviendo problemas de instrumentación con una C.P.

1. Determinando tamaño de válvula de control.

2. Determinando tamaños de válvulas.

ECONOMIA FINANCIAS

Programa para reforma de finca de costa Rica. Costos de 1978.

Costo de la tierra en una inversión.

Modelo simple para determinar la viabilidad económica de procesos agrícolas.

de costos.

ASILVAMIENTO

Algoritmo para determinar:

1. Resistencia de la tubería dependiendo de la velocidad.

2. Tamaño del apartado.

PROGRAMAS PARA CALCULAR CORRIENTES EN CIRCUITOS CON TEMPS DE
INGENIERIA ALTAICA PUBLICADOS EN LA REVISTA "THEATRE ENGINEERING"
APARECIDOS Y/O POSTERIORIDAS A LA RETIRADA DEL PRESENTE.

1982

Programa que calcula corriente en circuitos para el año setenta Nov 24, 97

Corrección

Nov 17, 5

Carta de respuesta a la anterior

Nov 18, 5

Estimando flujo de calor para absorción de hidrógeno

Nov 18, 5

Regresión en líneas de gas L.P.

Nov 21, 5

Estimando coeficientes de flujo de calor para hidrógeno

Nov 21, 5

Regresión polinomial en líneas C.P.

Nov 21, 5

Estima longitudes de líneas estructurales de circuitos de tuberías. Nov 1, 87

Programa que predice rendimiento de presión de flujo de gas a través de un medidor de orificio

Nov 22, 49

Toma de referencia de corriente de líneas de suministro

Nov 22, 49

1983

Evaluación del efecto de presión por la sonda de densidad. Nov 10, 91

Diseño de calculadora para cálculos de moléculas

Nov 10, 91

Muestras confidenciales de análisis en fase líquida

Nov 3, 87

BIBLIOGRAPHIA

DOVERIDGE, GORDON

Optimization: Theory and Practice

McGRAW-HILL, Nueva York, 1970

DUKE, CARMAN E. ET AL.

Applied Numerical Methods

John Wiley & Sons, Nueva York, 1969

COMPUTATION I. Curso Basado en Matemáticas. Unidad 5.

The Open University, McGraw-Hill, Mexico, 1971

FARINA, MARIO V.

Programas de Flujo

Méjico, D. F., 1973

KREYSZIG, ERWIN

Introducción a la Estadística Matemática. Principios y Métodos

Méjico, Litmus, 1971

KUNG, SHAN T.

Computer Applications of Numerical Methods

Massachusetts, Addison-Wesley Publishing Co., 1972

LEVENSFELD, SETHA

Introducción a las Reacciones Químicas

Barcelona, Ruyer, 1978

LUTHI, RODOLFO, ANTONIO OLIVERA Y FERNANDO SCHETTY

Métodos Numéricos

Méjico, Litmus, 1971

MURRAY, MICHAEL L. & JULIAN T. SMITH

Unit Operations of Chemical Engineering. 3rd ed.

Nueva York, McGraw Hill, 1973.

MURAZEN, DAVID J.

Programación Fortran IV

Méjico, Limusa, 1975.

PERRY, ROBERT H. & GILL H. CHILTON.

Chemical Engineers' Handbook. 14th ed.

Nueva York, McGraw Hill, 1973.

SMITH, J. M.

Chemical Engineering kinetics. 2nd ed.

Nueva York, McGraw Hill, 1960.

TREVOR, ROBERT E.

Mass Transfer Operations. 2nd ed.

Nueva York, McGraw Hill, 1968.

Aportes personales de la materia de programación basados en Cálculo UNAM.

Morales, Alejandro, Raúlres, Brilok.

Aportes personales de la materia de computación universitaria. Facultad de Química, UNAM, D.F.

Cárdenas Moreno, Padilla.

INVESTIGACIONES PERIODICAS

1. Goldfarb, Stewart y Steve Goldfarb. Miles Sounding for Chemical Engineers.
y David P. Blomfield. Interplay of Hydrogen and Methane.

EN CHEMICAL ENGINEERING, Mayo 21, 1982.

pp. 106-115.

2. INVESTIGACIONES Y CIENCIA.

Edición en Español de Investigaciones

Americas. Número 14, Noviembre 1977.

Alcance dedicada a Microbiología.

Microorganismos.

Reed, P.M. et al.

Vapor Pressure in Chemical Engineers

1976, Noviembre 22, 1976.

Russell, Richard A.

"Investigate your proficiency in writing -"

"Summer Programs" in Chemical Engineers

EN CHEMICAL ENGINEERING, Mayo 20, 1977. p. 111-115.

Stephen R. Hall.

"How to write executive reports" in

Chemical Engineering, Mayo 20, 1977. p. 111-115.

121-123.

S. Welk, William Consultant.

Correlation of dependence variables with

two independent variables in Chemical

Engineering, Septiembre 10, 1979, p. 131-

135.

7. Colección de Chemical Engineering 1974-1982

8. Colección de Hydrocarbon Processing 1974-1982